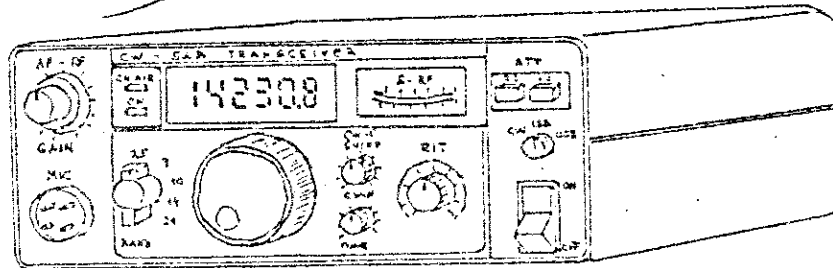
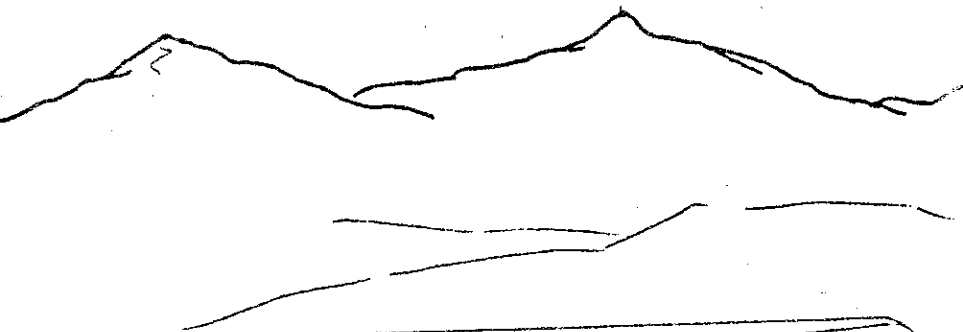
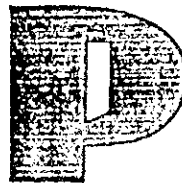
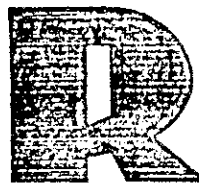


Sborník



březen

1993

Zdroje pro napájení komunikačních zařízení

Petr Říha OK 1 WDS

Problematika zdrojů pro napájení komunikačních zařízení byla a je velmi často diskutovanou problematikou na stěnkách odborných časopisů. V tomto příspěvku bych chtěl upozornit na některé ze zášed, které je nutné striktně dodržet. Obrázky doplňující text jsou kresleny tak, jak musí být zapojeny propojující vodiče.

1./ Jednoduchý zdroj pro zařízení s příkonem do 3W.. obr.1.

Tento stabilizovaný napájecí zdroj je určen pro zařízení R2FH /příkon max 2,4 W/ nebo podobné zařízení. Při řešení tohoto zdroje jsem vycázel z toho, že napájecí napětí pro toto zařízení může kolísat od cca 11 - 12V. Napájecí proud kolísá při příjmu a vysílání od 50mA do 220 mA, při čemž poměr doby příjem - vysílání je 4:1. Jedná se o parametrický stabilizátor se zenerovou diodou KZ 707 / KZ 708/. Síťový transformátor 12V /0,7A a celovlnný usměrňovač s vyhlezovacím kondenzátorem napájí přes omezovací odpory zenerovou diodu KZ 707. Tato stabilizační dioda nám zaručuje, že napájecí napětí nepřekročí její stabilizační napětí /10,6-13,2V /. Z uvedených tolerancí stabilizovaného napětí je zřejmé, že je nutné tuto diodu vybrat tak, aby jmenovité napětí bylo v rozmezí 11-12V.

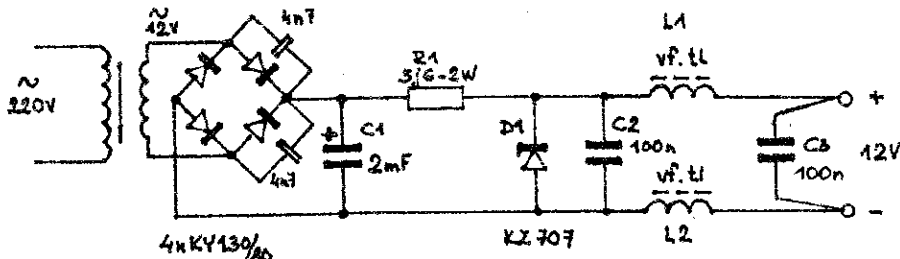
Diodu musíme umístit na dostatečně dimenzované chladicí žebro. Tento fakt vyplývá z toho, že při vstupním stejnosměrném napětí 15V a odběru proudu 50mA /příjem/ je výkonová ztráta cca 5-W. Při vysílání se tato ztráta sníží na 3,5 -3,8 W. Výstupní filtr C1, L1, L2, C2 odfiltruje dostatečně zbytkovou vf složku z napájeného zařízení.

2./ Jednoduchý zdroj pro mobil provoz 3W.

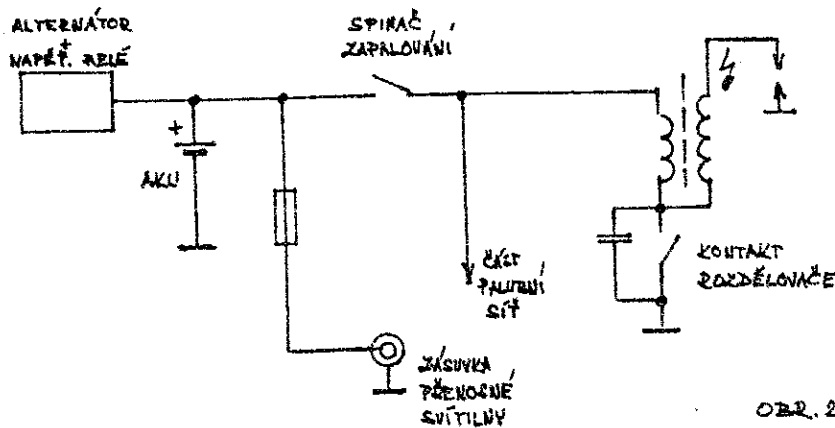
Tento stabilizovaný zdroj opět využívá parametrický stabilizátor se Zenerovou diodou KZ 707 jako zdroj uvedený v odst.1. Při konstrukci tohoto zdroje je však nutné brát ohled na tyto skutečnosti:

- a/ Napájecí napětí zdroje kolísá v rozmezí 11,6 - 14,6V.
- b/ Napájecí napětí má rušivou složku ze zapalovací a dobjecí soustavy.

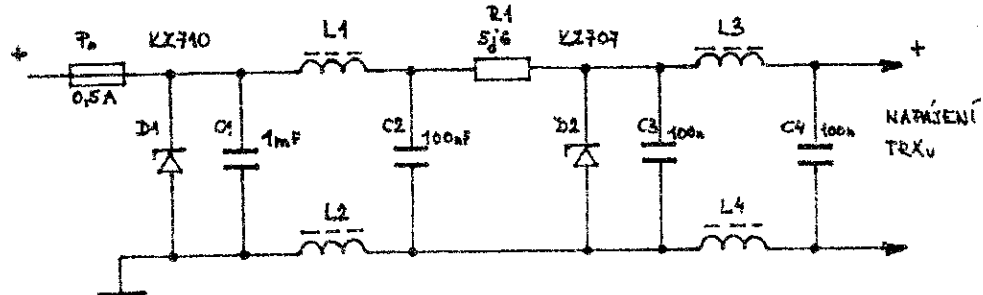
- c/ Při vypnutí zapalování automobilu jsou na napájecí síti automobilu špičkové napětí řádu stovek voltů.



OBR. 1



OBR. 2



A17

První dvě skutečnosti jsou celkem dosiaťečně známé. Zmíním se proto podrobněji o případu uvedeném pod bodem c. Na obrázku 2 je obecné zapojení části rozvodu el. energie v automobilu. Zpravidla jsou přenosné zařízení napájená ze zásuvky pro přenosnou svítidlu. Pokud je motor automobilu v klidu je napájecí napětí pro TRX 12V bez jakéhokoli vf rušení. Po nasteriování motoru se na palubním napájecím rozvodu projeví vf rušení z regulátoru napětí alternátora /dynamy/ a jednak rušení ze zapalovací soustavy. Toto rušení se dle celkem dobré eliminovat odrušovacím CIC filtrem. Částečným odrušovacím filtrem je i připojený akumulátor.

Co se však stane při vypnutí zapalování? Od zapalovací soustavy se odpojí akumulátor a VN energie z odpojené zapalovací soustavy se částečně kapacitně přenáší přes soustavu vodičů kabelového svazku do napájení TRXu. Něřením tohoto zbytkového napětí osciloskopem BM 340 u automobilu Škoda 1000MB byla naměřena VF složka o špičkovém napětí 250 - 400V. Je evidentní, že tato špičková napětí zničí /pokud není zajištěna ochrana zařízení/ bezpečně jakýkoliv integrovaný obvod v zařízení.

Schema jednoduchého stabilizátoru je na obr. 3.

Oproti předchozímu stabilizátoru se liší soustavou vstupního odrušovacího filtru a zařazenou Zenerovou diodou D1 přímo na vstupu filtru. Tato Z. dioda / Uz- 18V/ má za úkol odstranit kladná i záporná vf špičkové napětí ze zapalovací soustavy. Jedinou nevhodou tohoto stabilizátoru je snížení výstupního napětí dané úbytkem na rezistoru R 1 vlivem protékajícího proudu při stojícím motoru /výst. napětí je při proudu 0,2 A cca 11V .

3./ Zdroj pro zařízení s příkonem 10W.

Dokonalejším typem výkonového stabilizátoru je integrovaný stabilizátor typu MA 78xx. Tento stabilizátor se vyrábí pro pevně nastavené výstupní napětí 5 - 24V. Modifikací základního zapojení lze však pevně nastavené napětí změnit. Výhodou tohoto stabilizátoru je kompaktnost a interní tepelná ochrana proti přetížení. Zapojení stabilizátoru je na obr. 4, zde je použit stabilizátor MA 7812 pro výstupní napětí 12V a proud do 1A. Protože lineární elektronický stabilizátor se chová jako řiditelný odpór, je nutné počítat s minimálním rozdílem vstupního a výstupního napětí, které u těchto stabilizátorů je min. 2V. Z tohoto požadavku vyplývá minimální vstupní napětí 14,5V. /Tolerance výst. napětí se může lišit u jednotlivých kusů od 11,5 - 12,5 V /.

Pro oživování amstérských tranzistorových zařízení potřebujeme zdroj stabilizovaného regulovaného výstupního napětí a co je neméně důležité, dokonale regulovatelnou proudovou ochranu. Zpravidla se při oživování zařízení vyskytne závada, způsobená špatným zapojením, zkratem, vadnou součástí nebo neopatrným zacházením. Při použití dostatečně dimenzovaného zdroje pro napájení zkoušeného zařízení může dojít ke zničení některého integrovaného obvodu, tranzistoru nebo dokonce k přerušení tenkého plošného spoje na desce.

Zapojení stabilizovaného regulovatelného zdroje je na obr.6. Jedná se o standardní zapojení integrovaného stabilizátoru MAA723 doplněným výkonovým stupněm. Regulace proudového omezení je však řešena pomocným napětím ze separátního zdroje./D9/ Ve standardním zapojení je MAA723 využíván k proudové limitaci úbytku napětí na rezistoru R 10. Jejmile tento úbytek napětí dosáhne velikosti 0,65 V / II 1 - pin 101/ dochází k omezování výstupního proudu. S použitým snímacím rezistorem R 10 /0,1 ohm/ by tedy docházelo k proudovému omezení při proudu 6,5A. Pokud bychom požadovali proudové omezení při nižším proudu, museli bychom rezistor R 10 zvětšit, případně použít výkonového potenciometru. Stejného efektu lze dosáhnout sečtením úbytku napětí na rezistoru R 10 s přiloženým napětím z pomocného zdroje, kde se čítacími rezistory jsou R4 a R5.

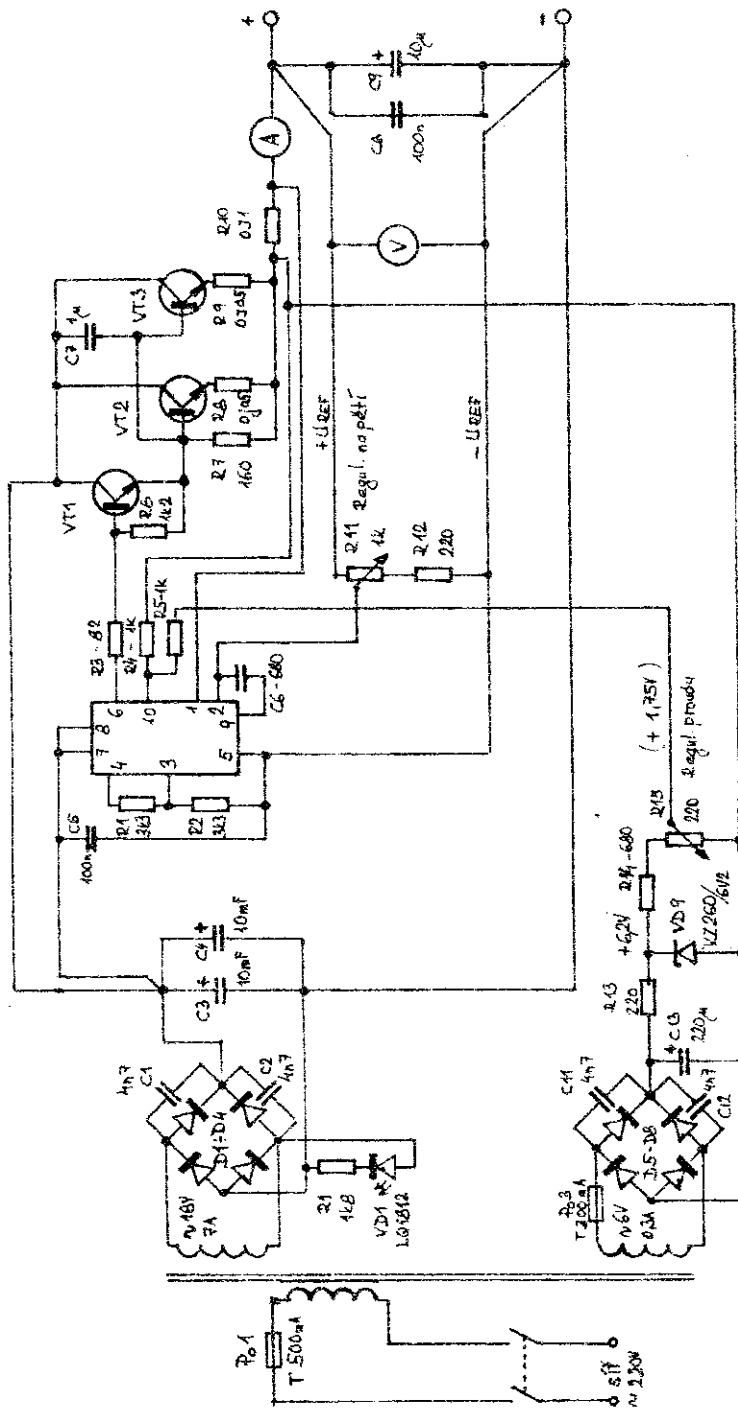
Pro názorný příklad uvedeme, že při proudu 0,5A je úbytek napětí na rezistoru R 10 50mV. Vhodnou velikostí napětí z pomocného stabilizovaného zdroje přivedeného přes sčítací rezistor R5 dosáhneme limitačního napětí 0,65V a nastavění omezení proudu na hodnotě 0,5A. Z uvedeného příkladu vyplývá, že rozsah proudového omezení se řídí velikostí napětí pomocného zdroje na sčítacím rezistoru R5. Je samozřejmé, že maximální proud zdroje nemůže být větší než 6,5A./nulové napětí pomocného zdroje/. Při provozu tohoto zdroje je nastavení limitačního proudu velice jednoduché. Při jakémkoli výstupním napětí na okamžik zkratujeme výstupní svorky zdroje a potenciometrem regulece proudu nastavíme požadovaný proud / např. 50mA/. Odstraníme zkrat výstupních svorek a zdroj připojíme ke zkoušenému zařízení. Při odběru proudu do 50mA je výstupní napětí konstantní, při větším odběru výstupní napětí prudce klesá. Tím je zkoušené zařízení dokonale chráněno.

Několik poznámek k zapojení stabilizovaného zdroje:

Hlavní sekundární vinutí musí mít minimální napětí 18V a musí být dimenzováno pro proud 7A pro zadání výstupní parametry stabilizátoru. Pokud bude sek. napětí vyšší, dostaneme i vyšší napětí

KA 233 KDS 04 VD 504

MAA 723



Obr. 6

AK

na výstupu stabilizátoru. Pro větší výstupní proudy je semozřejmě nutné zvětšit počet regul. tranzistorů /KD 501-3/ a proudsek. využití. Na pomocný usměrňovač nejsou kladený zvláštní požadavky. Důležité je, aby na jeho výstupu /potenciometr reg. proudu/ bylo napětí cca 2V. Aby nedocházelo k vf kmitům a aby byl stabilizátor skutečně stabilizovaným zdrojem je nutno zapojit výkonové části tak, jak je zakresleno na schématu. Totéž platí o referenčních vodičích +Uref a -Uref. Kondenzátor C5 nutno umístit co nejbliže k integrovanému stabilizátoru MAA723. Kondenzátory C8 a C9 umístit přímo na výstupní svorky zdroje. Výkonová ztráta regulačních tranzistorů je v nejnepříznivějším případě / Uvst 20V, Uvýst 4V / Ptot = 20-4/5 = 8W a tomu musí odpovídat velikost chladiče. Diody D1-D4 musíme umístit také na dostatečně dimenzované chladicí žebro.

Zdroje pro nabíjení NiCd akumulátorů...

Nejprve několik slov ke konstrukci alkalických akumulátorů. Elektrolytem u těchto akumulátorů je roztok hydroxidu draselného nebo sodného. Podle složení elektrod se alkalické akumulátory dělí na nikloocelové a nikl-kadmiové. V této části se budeme zabývat pouze NiCd akumulátory.

Kladnou elektrodu tvoří vždy oxyd nikelnatý /CdO/ s příměsi šupinkového niklu nebo grafitu pro zlepšení vodivosti elektrody. Zápornou elektrodu tvoří směs kadmia, železa a oxydů železa, při čemž kadmium zlepšuje vlastnosti železa.

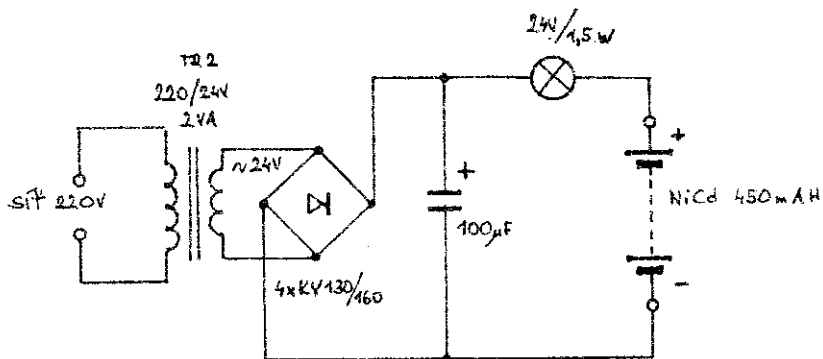
Reakce nabíjení a vybíjení u těchto akumulátorů probíhá podle rovnice $CdO + 2 NiO \rightleftharpoons Cd + Ni_2O_3$

Při nabíjení článku proudem I₄₀/t.j. 1/10 udané kapacity článku v Ah /stoupá napětí v prvních dvou třetinách na velikost 1,4-1,45V v poslední třetině se prudce zvýší na 1,7 - 1,8V. Vzhledem k většímu vnitřnímu odporu těchto akumulátorů a tím větším energetickým ztrátám oproti akumulátorům olověným, je nutné tyto akumulátory nebíjet po dobu 12-14 hodin proudem I₄₀. Ponechá-li se akumulátor po úplném nabítí v klidu, nezůstane jeho náboj beze změny, ale zmenšuje se vlastním vybíjením. Toto samovybíjení je závislé na skladovací teplotě, čistotě použitých materiálů a technologií výroby.

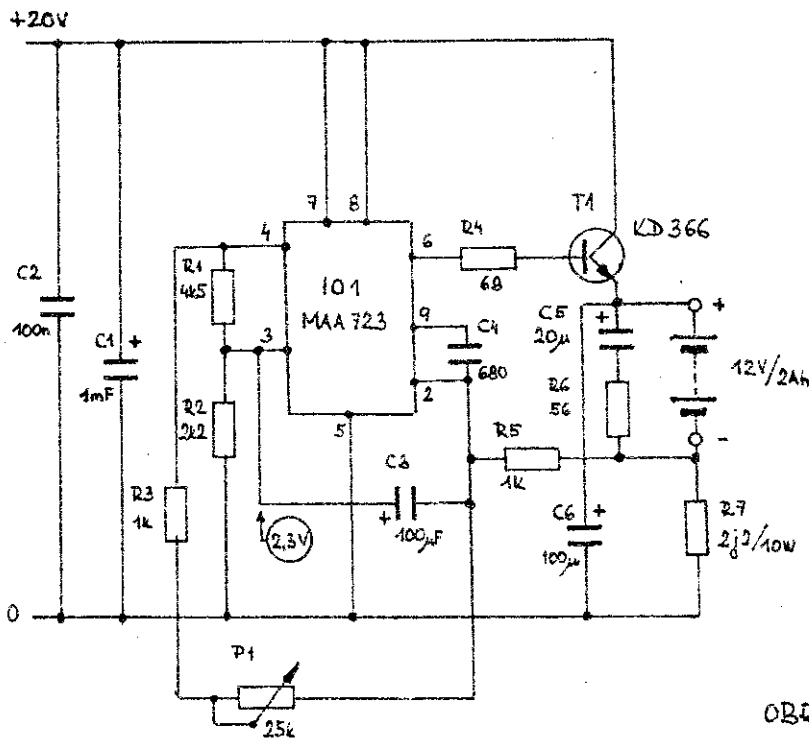
Obecně lze říci, že akumulátor ztrácí 1% původního náboje denně t.j. úplně se vybije za 3 měsíce. Platívšak, že menší akumulátory ztrácejí svůj náboj rychleji, než větší typy stejného druhu. NiCd akumulátory se vyrábějí ve dvojím provedení. Jsou to akumulátory s nezpevněnými elektrodami/ normální/ a akumulátory se zpevněnými elektrodami/sintrované/. Rozdíly v uložení mezi těmito dvěma druhy jsou v mrazové odolnosti, proudové odolnosti a samovybíjení. Sintrované akumulátory mohou i v mrazu -25°C zatěžovány/krátkodobě/ většími proudy/mají mnohem menší vnitřní odpor/, ale také nabíjeny většími proudy/ $I_{nab} = C_{10} \cdot 10 \div 15$. Naproti tomu jejich samovybíjení je přibližně trojnásobné proti normálním NiCd akumulátorům.

Důležitou veličinou je konečné vybíjecí napětí. Výrobci udávají hodnotu 0,95 - 1V a tato hodnota by neměla být překročena. Pro praktické nabíjení platí, že článek by před nabíjením měl být vybitna hodnotu 1V a poté nabíjen konstantním proudem po dobu 12-14 hod. Považuji za nutné upozornit, že články z různých výrobních šarží nemusí mít stejné elektrické vlastnosti. Pokud tedy budete používat baterii akumulátorů/zpravidla 10 pro výsledné napětí 12V / je nutno požít akumulátory jednoho výrobce a stejného data výroby. Pokud tato podmínka není splněna, může se stát, že jeden nebo více článků bude vybito hluboko pod jmenovitou hodnotu vybíjecího napětí a při opětovném nabíjení se tyto články již nepodaří plně nabít, jelikož jsou poškozeny reverzním vybíjecím proudem, t.j. při vybíjení baterie klesne napětí článku na nulu a ostetními články je tento článek dobíjen proudem s opačnou polaritou, což vede k jeho úplnému znižení. Někteří výrobci uvádějí, že článkům nevadí prodložené nabíjení normálním proudem po dobu 24 hodin. V každém případě je nutné dbát doporučení výrobce. Pro praktický provoz se osvědčuje, aby baterie akumulátorů byla dobíjena trvale proudem I_{100} , což je u většinou používaných akumulátorů 500 $\text{mA}\cdot\text{h}$ hodnota proudu 5 mA. Při nabíjení akumulátorů se nemá nabíjení přerušovat a neměl by se měnit nabíjecí proud.

Rychlé nabíjení sintrovaných akumulátorů. Jak již bylo uvedeno sintrované články mohou být nabíjeny i vybíjeny krátkodobě značně většími proudy než normální akumulátory, přičemž nedochází k jejich nadměrnému poškození. Před zrychleným nabíjením musí všecky články akumulátor úplně vybit na hodnotu 1 - 1,04V /při jmenovité zátěž/, t.j. napětí zatížené baterie musí být 10 - 10,4V.



OBR. 7



OBR. 8.

Myní připojíme nabíječ a nabijíme proudem $I_{\text{reb}} = I_{\text{m}} \cdot 10 \pm 15$ t.j. u akumulátoru 2Ah proud 2 - 3A po takovou dobu, aby akumulátoru bylo dodáno maximálně 70 - 75 % náboje. Při nabíjení kontrolujeme teplotu akumulátoru, která nesmí být větší než 40°C. Zbytek náboje potom dobijeme proudem I_{b} . Je s možné, že sintrované akumulátory lze dobíjet i normálním nabíjecím proudem.

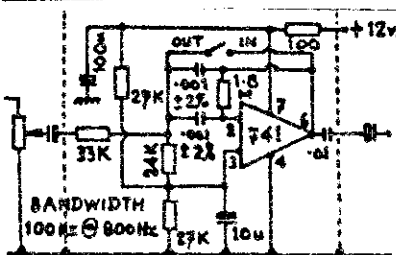
Důležité upozornění: NiCd akumulátory jsou hermeticky uzavřené, mají však bezpečnostní ventil. Při dobíjení nadměrným proudem může v akumulátoru vzniknout přetlak vlivem nadměrně se vyvíjejícího plynu a akumulátor se poškodí. Je-li bezpečnostní ventil ucpan, může dojít i k výbuchu.

6./_Jednoduchý nabíječ pro akumulátory NiCd 450._

Zapojení tohoto velejednoduchého nabíječe je na obr. 7.V tomto nabíječi je použit síťový transformátor 220 /24 V /2VA ,výrobce EP písek, který je běžně k dostání. Proudový omezovací odporník je automobilová kontrolní žárovka 24V /1,5 W. Zároveň se chová jako nelineární odpor, takže se do jisté míry celý nabíječ chová jako zdroj konstantního proudu cca 50 mA. Současně žárovka indikuje provoz nabíječe.

7./_Nabíječ pro proud 0,05 - 2A._

Tento nabíječ využívá dobrých vlastností integrovaného obvodu MAA 723 /IO 1/ ve spojení s Darlingtonovou dvojicí tranzistoru KD 366 / T 1 /. Zapojení je na obr. 8. Princip zapojení zdroje konstantního proudu spočívá v porovnávání referenčního napětí / IO 1 pin 3 / s úbytkem napětí, které vzniká průchodem nabíjecího proudu na rezistoru R 7 / IO 1 pin 2 /. Zvyšováním napětí na inverzním vstupu operačního zesilovače uvnitř obvodu IO 1 / pin 2 / se snižuje nabíjecí proud. Toto napětí je odvozeno z referenčního napětí IO 1 / pin 4 / přes rezistor R 3 a potenciometr P 1.



QRP TRANSCEIVER PRE PÁSMO 80 m

Ing.FROLA Igor OK3CUG

Zapojenie vychádza zo známeho TRX TOT 30 pre pásmo 14 MHz od Petra OK1CZ. Jadrom zariadenia je VXO. Použitý kryštál 3579 kHz je veľmi rozšírený, ale bez rezonančného obvodu v oscilátore sa veľmi neochotne rozkmitáva na základnej harmonickej. Frekvencia 3579 kHz je už dosť vysoko nad QRP kmitočtom 3560 kHz, tak som experimentoval s cievkou vo VXO. Pri rozladovaní frekvencie kryštálu kondenzátorom s kapacitou 8 - 180 pF je zmena len 600 Hz. S cievkou navinutou na feritovej činke z MF transformátorov som dosiahol zmenu až 40 kHz! To sa ale už nejedná o "čisté ladenie" frekvencie kryštálu, ale skôr sa uplatňuje sériová rezonancia Cx-Lx. Pre RX toto VXO vyhovuje, pokles výstupného napäťa z VXO je okolo 2 dB. Prakticky je možné využiť len zmenu maximálne 10 kHz, lebo pri veľkej zmene kmitočtu kryštálu utrpí stabilita výstupného signálu vysielača.

V mojom prípade v zmiešavači najlepšie vyhovela dióda GA 205, podstatným spôsobom určuje vlastnosti prijímača. Výkon vysielača je pri napájaní 12 V okolo 700 mW. Na prepínanie RX/TX je použitý 12 kolíkový ISOSTAT, posledná sekcia pri vysielaní tlmí RX a pri príjme pripína kapacitný trimer, ktorým sa nastaví maximálna citlosť RX. Trimer je zapojený priamo na horné kolíky prepínača ISOSTAT. Odpór M47, ktorým sa privádzza tón z CW monitora, je zapojený zo strany spojov. Plečný spoj je obojstranný, stranu súčiastok tvorí fólia spojená so zemou. Pre úsporu miesta nie sú použité kryty cievok, VF väzbe zabráňajú dve prepážky z pocinovaného plechu o výške cievok.

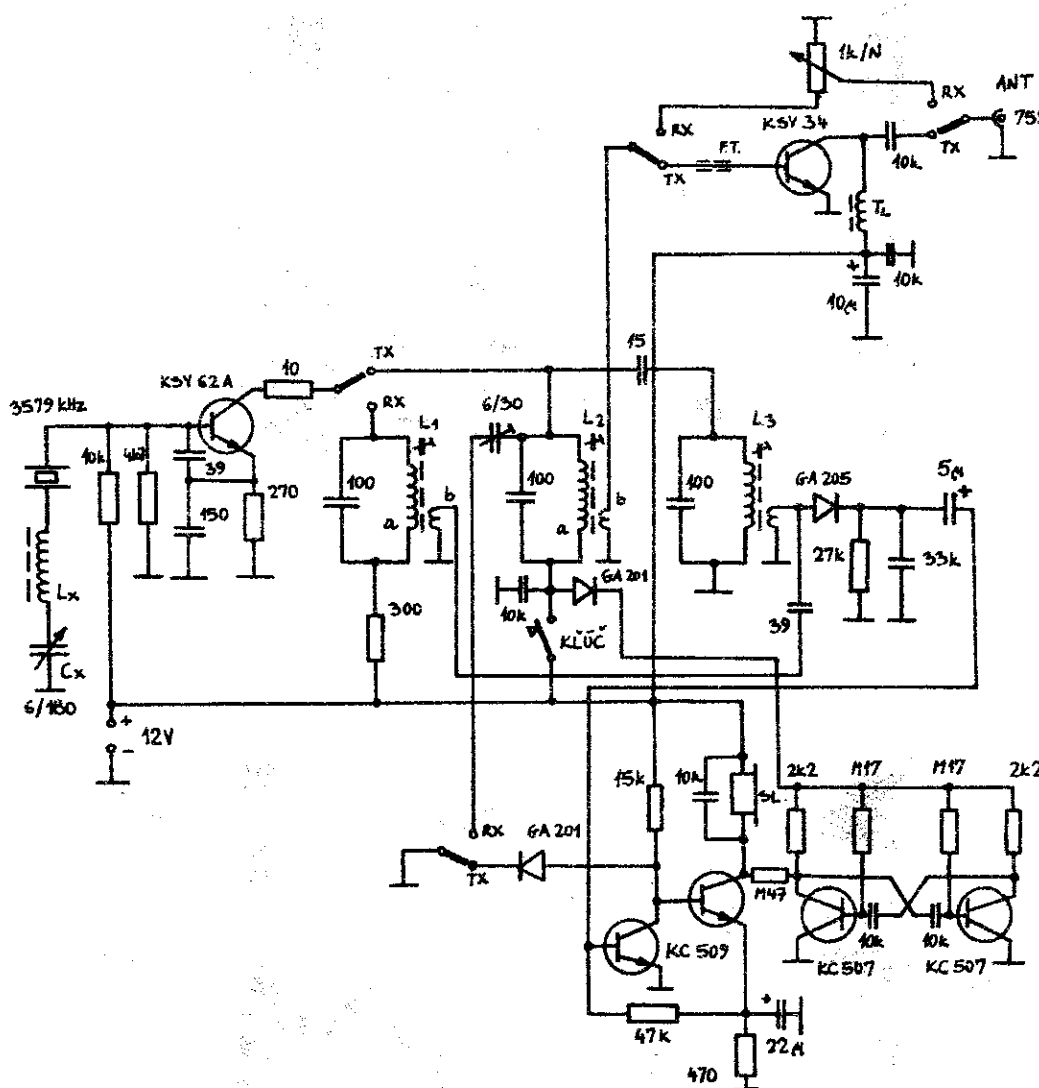
Predný a zadný panel z cuprextitu sú prispájkované priamo o plošný spoj transceivru, kryt o vnútorných rozmeroch predného a zadného panelu a dĺžke 90 mm je zospájkovaný na spodnej stene po štvornásobnom ohybe. Na kryt stačí pocinovaný plech hrúbky 0.3 mm. Pri chýbaní pomôžu dva kúsky L profilu 20x20 a zverák.

Ladiaci kondenzátor Cx pre VXO je miniatúrny o rozmeroch 20x20x12, väčší jednoducho na predný panel 35x55 mm nevôjde. Pre slúchadlá a klúč sú použité DIN konektory, anténny konektor je typu BNC. Konektor pre napájanie 12 V už nevošiel na zadný panel, preto je napájanie privedené dvojlinkou.

Všetky súčiastky tohto veľmi jednoduchého zariadenia sú bežné, TCVR vznikol vlastne z dôvodu využiť kryštál so zaujímavou frekvenciou a výsledkom je malý a kompaktný transceiver určený pre prevádzku portable.

Nedostatkom je malá selektivita prijímača a nutnosť použiť externý anténny člen na prispôsobenie antén typu LW, ktoré sú pri prevádzke portable v pásmi najpoužívanejšie.

SCHÉMA QRP TRANSEKIVEU PNE PÁSMO 80m



Lx, z. 3 - kostríčka ϕ 5 : -a: 75 záv. ϕ 0.2, vinutie má dĺžku 15 mm
+ jadro N05 -b: 12 záv. ϕ 0.3 na studenom konci La

F.T. - feritová trubička

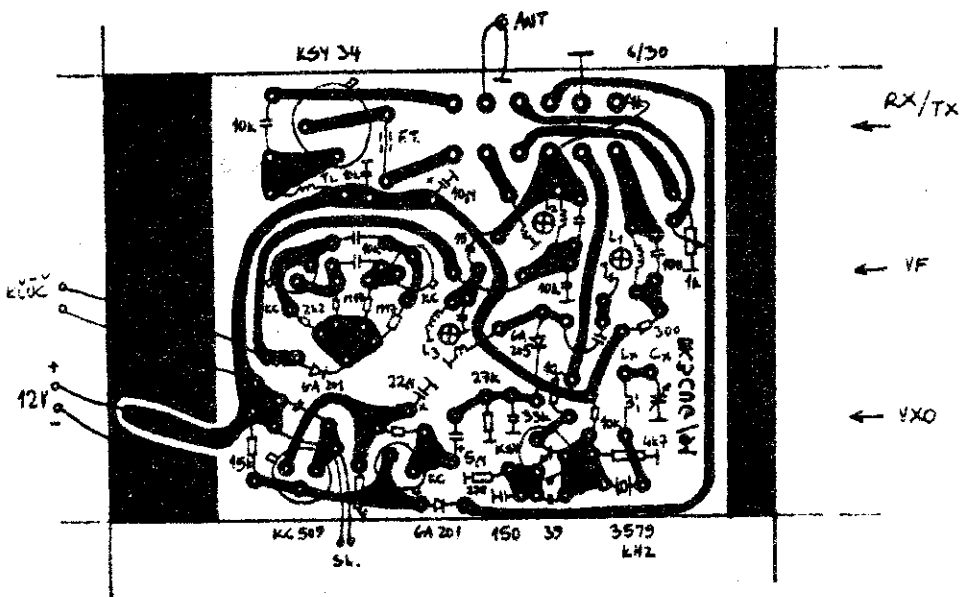
Tl - 10 záv. ϕ 0.6 CuP na toroide H20 ϕ 10

Lx - 47 záv. ϕ 0.15 CuL na Binke Ni z MF transformátorov



83

POHĽAD ZO STRANY SPOJOV, STRANU SÚČIESTOK
TIEŽ FÓLIA BEZ MOTÍVU.



Q R P P T R A N S C E I V E R

OK 1 DEC - Josef RUBES

DR OM !

Dostává se Ti do ruky zapojení CW QRPP transceiveru. Jeho elektrické zapojení klade důraz na vysokou odolnost přijímací části proti přetížení silnými signály. Při konstrukci byl respektován požadavek snadného ovládání. Na vstupu není použit VF zesilovač, ale vstupní signál přichází přes pásmovou propust na diodový směšovač UZØ7. Za směšovačem následuje vysoce odolný MF zesilovač s dvěma výkonovými fety KP903 /strmost 100 mA/V/, zapojenými do kaskády. Krystalový filtr je příčkový s pěti krystaly, šířka pásmu je 1,2 kHz. Za pozornost stojí zapojení VFO. Jsou to čtyři samostatné oscilátory ladečně čtyřnásobným ladicím kondenzátorem a přepínací přivedením napětí +9V. Oscilátor pro 3,5 MHz a pro 21 MHz je společný.

Mechanická konstrukce je z 1 mm duralového plechu a její uspořádání umožňuje snadnou přístupnost ke všem dílům TCVR i dostatečnou mechanickou pevnost.

Tento CW QRPP TCVR byl po řadu měsíců zkoušen a prokázalo se, že se hodí jak pro běžný HAM provoz, tak i pro náročný provoz při závodech. Jeho kompaktnost i malá hmotnost z něj činí dobrý přístroj i pro práci z přechodných stanovišť. Předpokladem však je splnění požadavku u QRP přístrojů zcela samozřejmého, že bude připojena kvalitní anténa, dohře přizpůsobená a na vyšších pásmech směrová otočná. Potom bude možno dobré vlastnosti tohoto TCVR plně využít.

Sluchátka by měla být nízkoohmová 4 - 8 Ohm. Klíč je z radiosoupravy RM-31, bývá ve výprodeji běžně k dostání. Má navíc výhodu, že umožňuje velmi rychlé přepojení z vysílání na příjem a naopak, což VOX vždy nesplňuje.

I když je transistor v PA značně předimenován, nedoporučuje se kličovat při odpojení antény. Může dojít ke zničení transistoru nebo ochranné diody. Při provozu je vhodné přístroj vpředu podložit. Ovládání bude pohodlnější a bude lepší chlazení VF zesilovače i transistoru PA umístěných na spodní straně šasi.

Konektory sluchátek a klíče jsou pětikolikové. Konektor napájení 12V je CINC. Anténa je připojena konektorem BNC. Pojistka pro napájení TCVR je 1,5 - 2 A.

Stupnice přístroje má rozsah 100 kHz, rozdělení je po 2 kHz, což umožnuje jemné odečítání kmotčtu. Je zabudován příposlech vysílaných signálů.

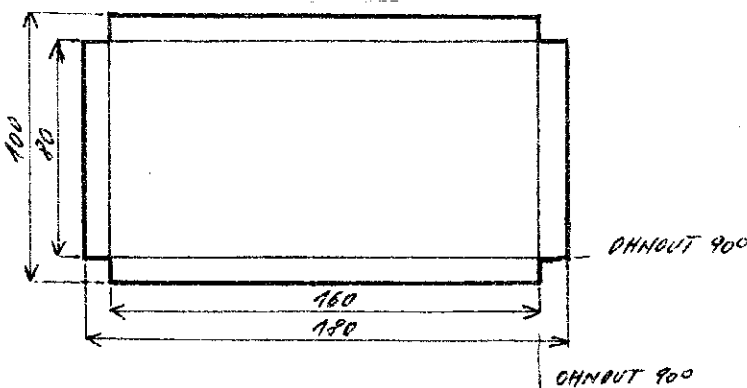
Ovládací prvky jsou tři a jsou umístěny na čelním panelu: ladění frekvence, přepínač pásem a hlasitost NF.

U přístrojů - prototypů, které byly sledovány v praktickém provozu déle než rok, se nevyskytly žádné závady ani při běžném provozu, ani při náročnějším provozu při závodech. To potvrzuje vhodnost koncepce i provedení. Proto jsem se rozhodl zveřejnit popis spolu s nákresy plošných spojů a mechanických dílů. Považuji však za nutné upozornit, že ke zhodovení je třeba určitých předchozích všeobecností a vybavení měřicími přístroji zejména multimetrem, VF voltmetrem, signálním generátorem a čítačem. Stavba tohoto přístroje se začátečníkům nedoporučuje.

Všem, kteří se dají do stavby tohoto transceiveru přejí hodně úspěchu při stavbě a hodně radosti při jeho provozování.

OK 1 DEC Josef RUBES

ČELNÍ A ZADNÍ PANEL



VSTUPNÍ PF

Cívky PF jsou navinuty na kostříčkách z radiostanice VZN. Počet závitů, paralelní a vazební kapacita je uvedena v tabulce. Po navinutí cívek a připájení paralelní kapacity se závity zafixují trolitulovým lakem. Nato cívky upevníme v hliníkovém krytu a vždy 2 kusy spolu slepíme a spojíme dle nákresu. Připojíme vazební kondenzátor, zapojíme dle nákresu cívky a předběžně doladíme feritovým jádrem na požadovaný kmitočet. Konečné doladění se provede až po zamontování do přístroje. PF jsou do TCVR přilepeny.

DVOJITÝ ČLÁNEK L1

Cívky navineme na feritové toroidy dle tabulky. Cívky na toroidech nastavíme na požadovaný kmitočet stlačováním a roztahováním závitů. Po nastavení cívky zajistíme trolitulovým lakem. Cívky a kondensátory připojíme na laminátovou podložku, kterou příchytkami připojíme do zařízení.

ZESILOVAC VFO /KSY34/

Klidový proud 30 - 40 mA je nastaven odpory v emitoru.

ZESILOVAC MF /2x KP903/

Klidový proud 40 - 60 mA je nastaven odpory v emitoru.

BFO /BC177/

Klidový proud 5 mA je nastaven odporem v emitoru.

CW OSCILATOR /BC 177/

Kroud při zaklíčování 6 - 15 mA je nastaven odporem v emitoru.

MF ZESILOVAC, P DETEKTOR /A244/

Klidový proud 11 mA.

NF ZESILOVAC /MBA 810/

Klidový proud 12 mA.

Na plošném spoji nastavujeme klidový proud postupně u jednotlivých boxů / zes.VFO, zes.MF, BFO atd./ před upevněním plošného spoje do zařízení. Stejným způsobem osadíme krystaly BFO a CW oscilátoru, čítáčem změříme kmitočet, VF voltmetrem změříme napětí. Je-li vše v pořádku, natřem plošný spoj lakem, necháme zaschnout a upevníme 4 šrouby M2x10 do kostry přístroje. Potom můžeme začít s propojováním postupně od NF zesilovače. Současně kontrolujeme, zda je všechno v pořádku.

VYSÍLACÍ ČÁST:

VSTUPNÍ ZESILOVAC /2xKT355/

Klidový proud 12 mA.

BUDIČ /KSY34/

Klidový proud nastaven odpory v emitoru na 25 - 30 mA.

PA /KT909/

Klidový proud 40 - 50 mA nastaven odporem v bázi.

TX - LINEÁRNÍ ZESILOVAC

Zhotoven na oboustranném laminátu plošného spoje. Horní strana použita pro zemění. Po celkovém posazení plošného spoje jej osadíme do boxu z pocínovaného plechu, opatřeného dvěmi příchytkami pro upevnění šroubkou M2x10. Napájení je vyvedeno průchodkovými kondenzátory. Vstup a výstup VF je vyveden průchodkami. Transistory KSY34 a KT909 jsou opatřeny chladiči. Box TX je v zařízení umístěn pod šasi.

VFO

Je na oboustranném laminátu. Horní plocha slouží jako zemnící. Na plošném spoji jsou umístěny 4 oscilátory. Cívky VFO jsou navinuty na kostičkách z radiostanice VZN a opatřené hliníkovými kryty. Výrobě cívek je nutno věnovat velikou pozornost, stejně tak i stavbě celého VFO. Cívky jsou bez doladovacích jader. Nastavení na požadovaný kmitočet je provedeno pevnými paralelními kapacitami a doladovacími kondenzátory. Přeladění pásmo /šířka 100 kHz/ se nastavuje kondenzátorem v serii s ladícím kondenzátorem. Ladící kondenzátor je z RF 11. Je upraven rozříznutím statoru, tím vznikne čtyřnásobný ladící kondenzátor. Stupnice zůstává původní /pro rozsah 24 - 28 MHz/.

Ze stupnice se opatrně odstraní číslice tak, že je odškrábneme nožem. Nová číslo: 0 až 100 naneseme propisotem. Stupnice bude mít dělení po 2 kHz.

Plošný spoj VFO je upevněn v boxu z duralového plechu čtyřmi šrouby M2x6 mm nad ladicím kondenzátorem. Vývody ladicího kondenzátoru procházejí otvory v plošném epoji. Vývody rotoru ladicího kondenzátoru jsou připájeny k zemnímu bodu plošného spoje. Nyní můžeme přistoupit k nastavování jednotlivých oscilátorů do pásmá jak bylo uvedeno dříve. Trimrem 1 kOhm v oddělovacích stupních nastavíme VF napětí 0,5 V u všech oscilátorů. Toto napětí měříme za zesilovačem VFO na měrném bodě u směšovače UZ07. Jednotlivá VFO jsou přepínána převedením napájecího napětí 8 - 9 V stabilizovaného Zenerovou diodou. Box VFO je zakrytován shora duralovým plechem upevněným čtyřmi šrouby M2x6. V krytu jsou 4 otvory Ø 8 mm pro dodání VFO do pásmá. Vlastní box VFO je k sasi upevněn 5 šrouby M2x6. VF napětí je vyvedeno koaxiálním kabelem k zesilovači VFO. K nastavení VFO je potřeba čítač a měrič VF napětí.

PŘEPÍNÁNÍ ROZSAHU

K přepínání rozsahů je použit 5 segmentový 6 polohový přepínač. První segment je použit k přepínání VFO. Dva segmenty jsou pro přepínání pásmových propustí. Další dva slouží k přepínání π článků. Mezi jednotlivými propustmi a π články je stínění z pocínovaného plechu.

PŘEPÍNÁNÍ PŘIJEM - VYSÍLÁNÍ

Při příjmu jsou relátka QN bez napětí. Při vysílání kliž uzemní relátka a tím dojde u relátek k přepnutí. Jeden relátko přepíná pásmové propusti k směšovači UZ07 při příjmu, při vysílání přepne pásmové propusti ke vstupu lineárního zesilovače TX. Druhé relátko připojí pásmové propusti k anténě a připojí k MF zesilovači napájecí napětí +12V. Při vysílání připojí relátko π článek k anténě, odpojí napájecí napětí +12V MF zesilovače a připojí napětí k blokování přijímací části.

Díl:	Hodnota:	Typ:	kč:	Díl:	Hodnota:	Typ:	kč:
<u>MF ZESILOVÁČ:</u>				<u>CW OSCILÁTOR:</u>			
I01		MEAS10	1	T1		KC509	1
C1	G5		1	D1		OA5	1
C2,3	G1		2	C1	30	Trime	1
C4,5	47U		2	C2,3	330	TC281	2
C6	10 ⁴		1	C4	M1	TK754	1
C7,8,9	M1	TK682	2	R1,2	10k	TR112	2
C10	3n3	TK724	1	X-tal			1
C11	390	TK744	1	<u>SMĚSOVÁČ:</u>			
R1	M1	TR112	1	SM1		UZ07	1
R2	56	TR112	1	<u>ZESILOVÁČ VFO:</u>			
R3	22	TR112	1	T1		KF630	1
R4	100	TR112	1	C1,2,3,4	10n	TK682	4
POT	250	TR160	1	C5	M1	TK682	1
<u>MF ZESILOVÁČ:</u>				R6	22	TK754	1
I01		A244D	1	R1	437	TR112	1
C1,2	200		2	R2	18	TR112	1
C3	2 ⁴		1	R3	56	TR112	1
C4,5,6	M1	TK682	3	R4	220	TR112	1
C7	22n	TK682	1	R5	1k5	TR112	1
R1,2	8k2	TR112	2	TL1	50uH		1
R3,4	1k8	TR112	2	TL2	0,1uH		1
TR5	Toroid	12+4z/Ø0,3	1	<u>ZESILOVÁČ MF + ODDĚLOVACÍ STUPĚN:</u>			
		H6/Ø10		T1,2		KP903	2
TR6	Toroid	15+4z/Ø0,3	1	C1,2	M1	TK682	2
		H6/Ø10		C3,4,5,6	1n	TK724	4
TR7	Hrnísek	2x110+7z	1	C7	22	TK754	1
		H22/Ø8 Ø0,1		R1	200	TR112	1
<u>AVC + BLOKOVÁNÍ RX:</u>				R2	2k2	TR112	1
C1	1M		1	R3,4	12k	TR112	2
C2	2MC		1	R5		TR112	1
C3,4	M1	TK682	2	R6		TR112	1
R1	8k2	TR112	1	TR	2otv. jádro		1
R2	12k	TR112	1		2x8z/0,3		1
R3	M1 - M22	TR112	1	TL1	200uH		1
TRIM	10k		1	TL2	50uH		1
D1,2		OA5	2	TL3	0,1uH		1
<u>BFO:</u>							
T1		KC509	1				
C1	30	trimr	1				
C2,3	330	TC281	2				
C4	M1	TK682	1				
R1,2	10k	TR112	2				
R3	1k5	TR112	1				
X-tal			1				

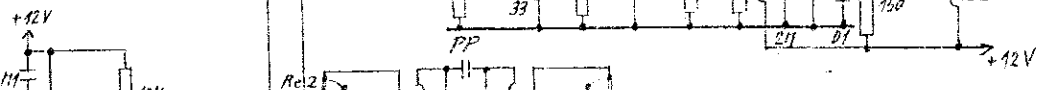
Díl:	Hodnota:	Typ:	ks:	Díl:	Hodnota:	Typ:	ks:
<u>VFO:</u>				<u>LIN. ZESTILOVAC TX:</u>			
T1-8	KF183	8		T1,2	KT355		2
Cled.	z RF11	1		T3	KSY34		1
C1-4	1-5	trimr	4	T4	KT909		1
C5-13	270		8	C1	2M2		1
C14-18	C paral.	TK754	4	C2	10M		1
/tabulka/				C3	560		1
C19-22	C ser.	TK754	4	C4,5	33	TK754	2
/tabulka/				06,7,8	6n8	TK754	3
C23-26	M1	TK682	4	C9-11	10n	TK754	3
C27-30	10n	TK682	4	C12-14	M1	TK724	3
C31	3n3	TK724	1	R1,2	470	TR112	2
R1-8	10k	TR161	8	R3	1k2	TR112	1
R9-12	100	TR161	4	R4	820	TR112	1
R13-14	470	TR161	2	R5	680	TR112	1
R15,16	560	TR161	2	R6	2k7	TR112	1
R17-20	1k	TF110	4	R7	2J7	TR112	1
TL	250 uH		1	R8	23	TR112	1
L1-4	/tabulka/	VXN	4	R9	27-47	TR112	1
				R10	150	TR153	1
				D1			1
				D2	Z-diode 18-22V		1
				TR1	2 otv. jádro 2x8z/Ø0,3		1
				TR2	2 otv. jádro +5+2z/Ø0,5		1
				TR3	2 otv. jádro 2+4z/Ø0,5		1
				TL1			1
				TL2			1

HODNOTY VFO PRO MF 8750 kHz

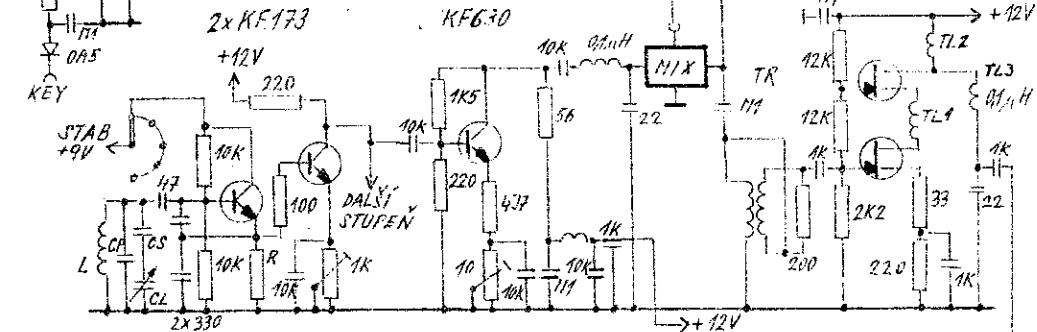
Diferenč.	L/krad	Cparalel	Cosφ	Cresiduální	f VFO	Roz. T1	Roz. T2	Primer.
3,5-3,6 2,9-2,1	18/43	730	12	27	14,250 - 12,950	680		1k
7-7,1	15/43	82	620	27	11,750 - 15,850	160	-4-	
14-14,1	8/43	85	638	33	22,750 - 22,850	470	-4-	
28-28,1	9/43	80	27	33	19,210 - 19,150	470	-4-	

OK1DEC

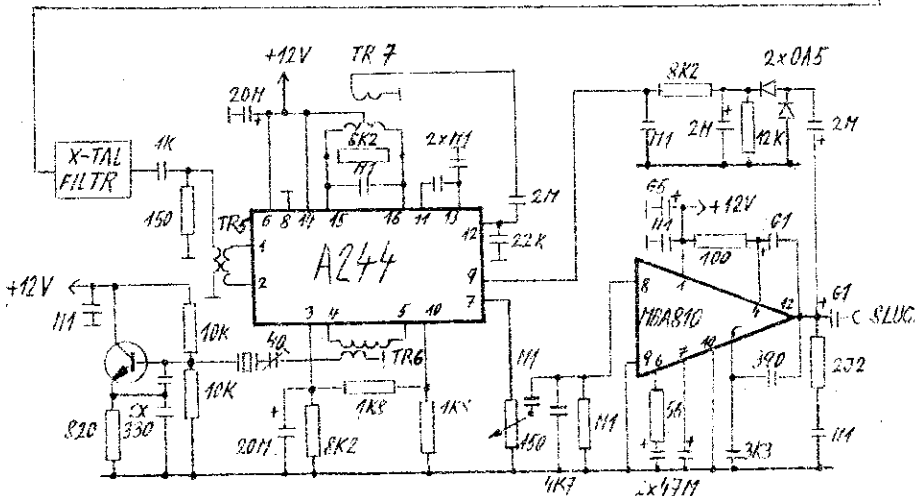
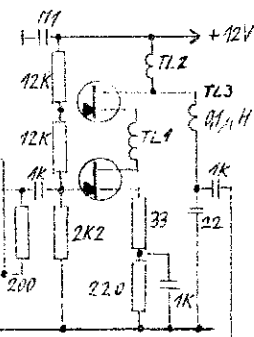
KC509

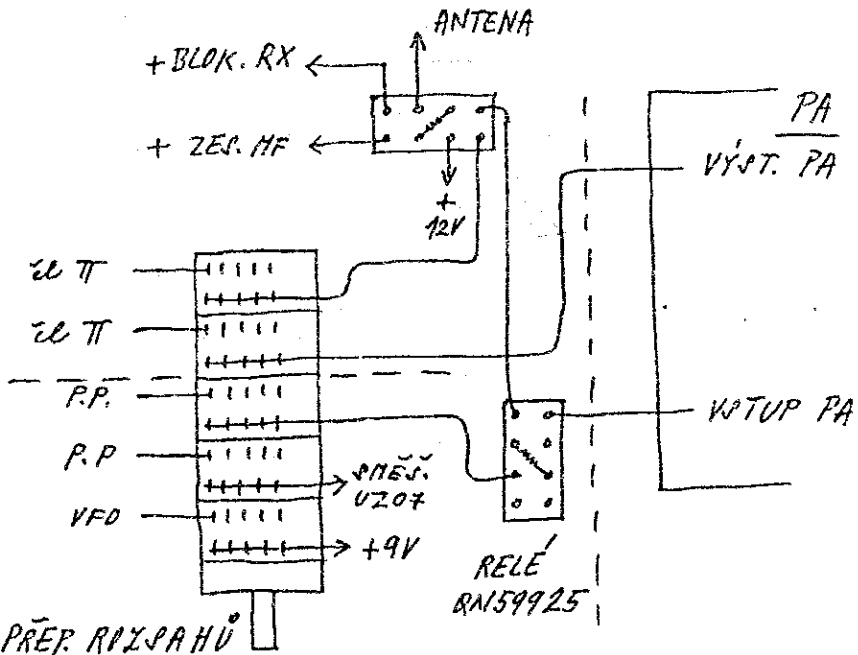


KEY

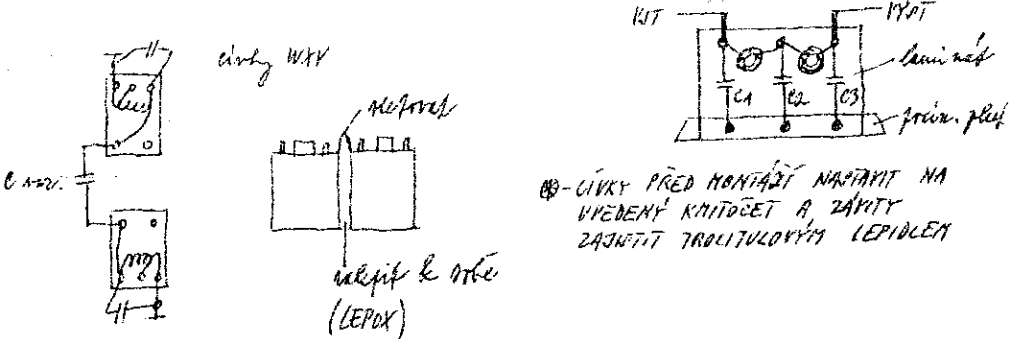


2x KP903



ZAPojení PŘEP. ROZVAHU A RELEVSTUPNÍ PAŠMOVÉ PROPUSTI

FREQU.	REFL. KAP.	RL	WIND.	C ZDAR.	C MAX	C9,C3	L2	L ANT	zdr.	TOP.	MHD-REGUL.
5,15 - 9,6	50/61	5	Horníček	120	818	120	1500	2	13/0,5	NOS #6	11,44
7 - 7,1	30/62	4	jádro	120	3,3	440	820	3,1	10/0,5	NOS #6	11,11
14 - 14,1	90/92	2	jádro	82	1,2	220	440	0,15	12/0,5	NOS #6	21,45
21 - 21,1	10/92	9	jádro	68	2,2	110	300	0,27	10/0,5	NOS #6	26,15
38 - 38,1	8/92	4	jádro	56	4,2	100	200	0,25	8/0,5	NOS #6	42,20

DVOJITÝ ČLÁNEK T 

KF630

RX-KP903

K6509

445

2

1

11

1

1

1

13

1

5

13

2

三

424

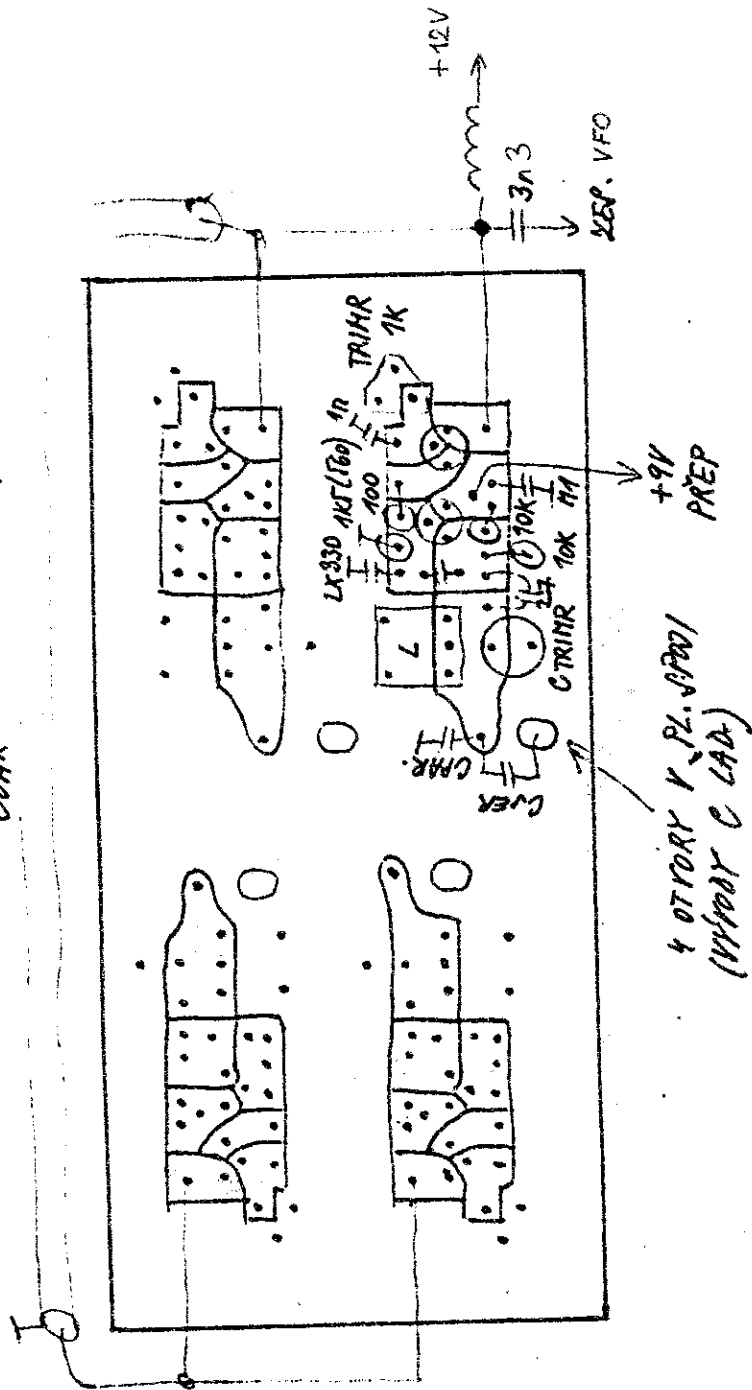
三

10

PL. 1703 VFO

COAX

8X BF 173



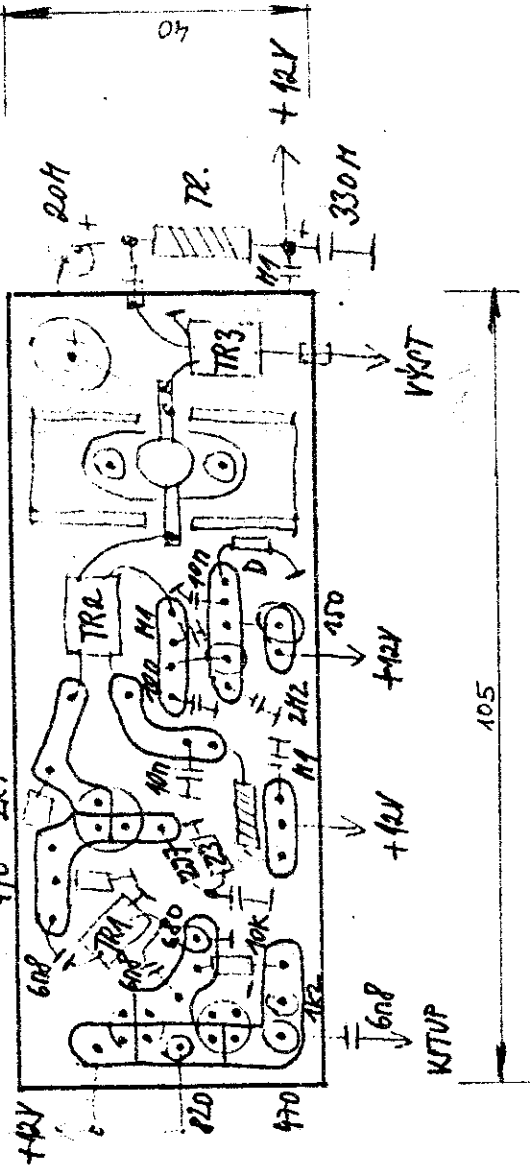
TX - 2E9/10RAE, 80WIC + PA

ex KT355

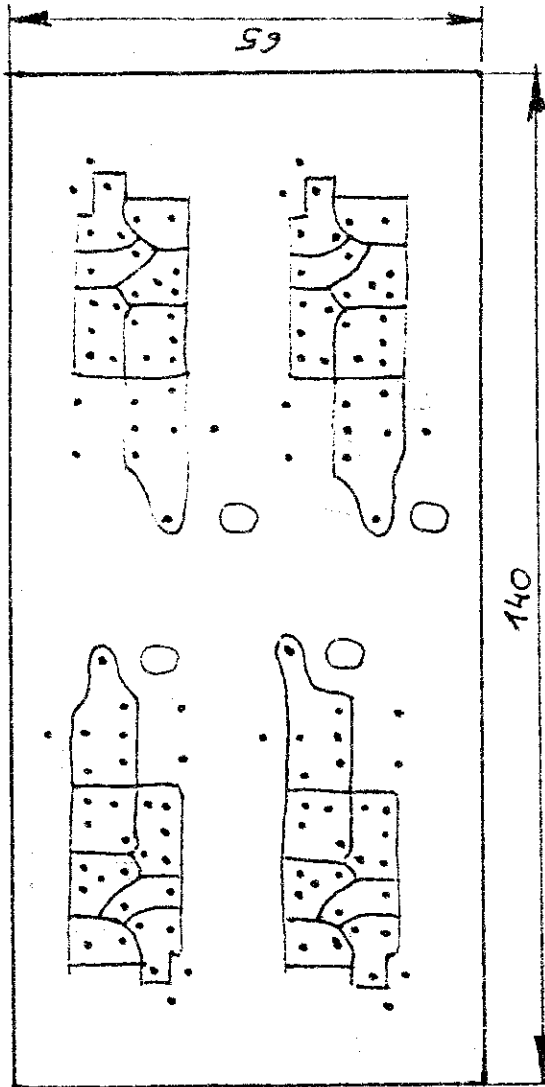
KT909

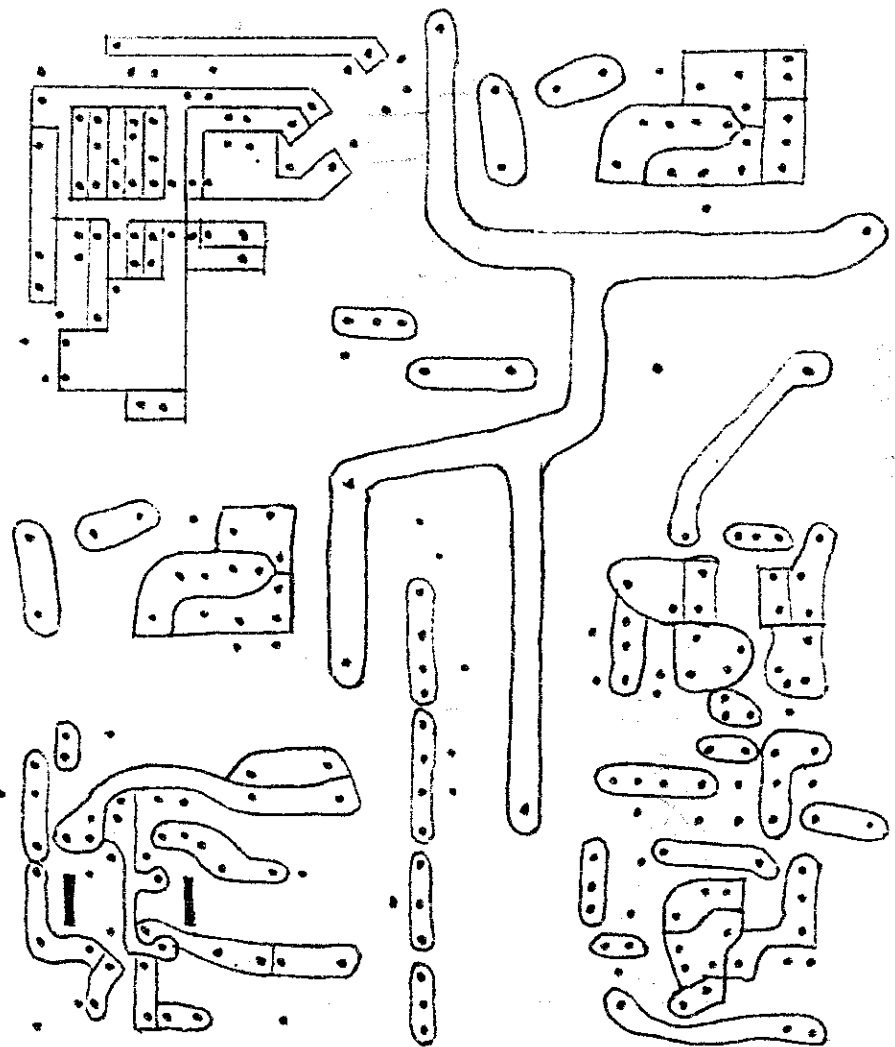
KT404

2D.



Přípravný výrobek VFO





134

PLOŠNÝ SPOJ RX

POHLED ZE SPODU

T. CHAP.

ZEPLOVACÍ TR

MOTOR

KOTVOV

ZVÍTĚJENÍ

ZPEVNĚNÍ

PZ.

ATT.

KEY.

GD.

Roz.

NEF.NF

Z PREDNÍ RYCEZ

Z TABULIZATORU PRO

Z P. STŘÍHOVÝ PREPÁŽKA

Z II. T

C H A D I C I

Ref

20

19

17

PREP. RASPAČK

14

14

17

35

14

17

35

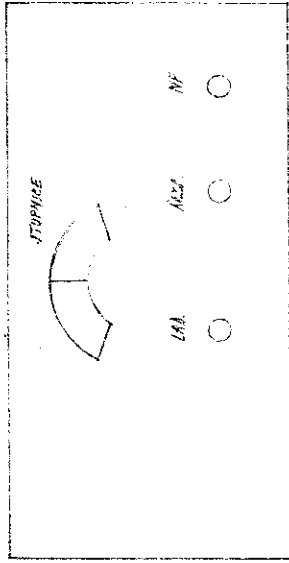
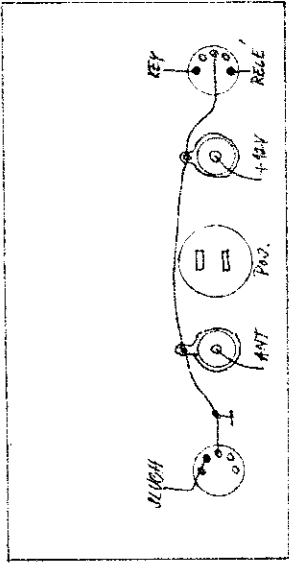
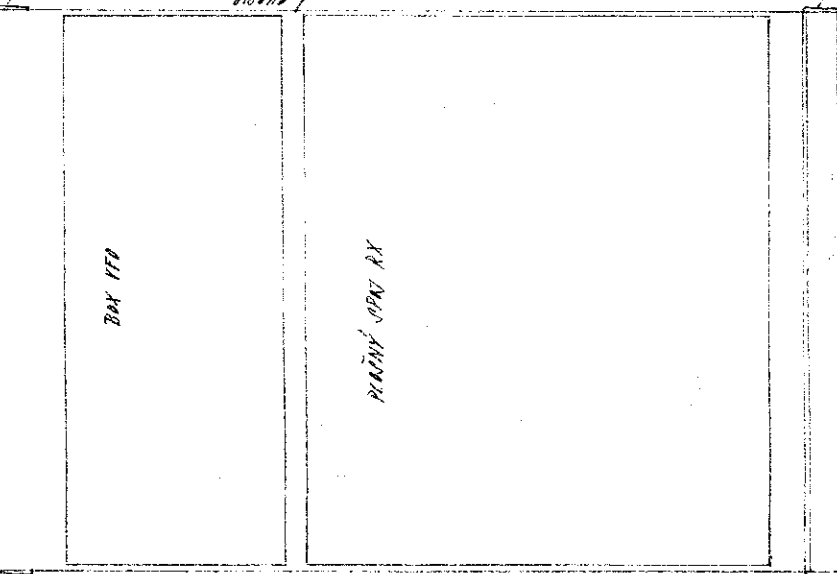
35

Z ZADNÍ RYCEZ

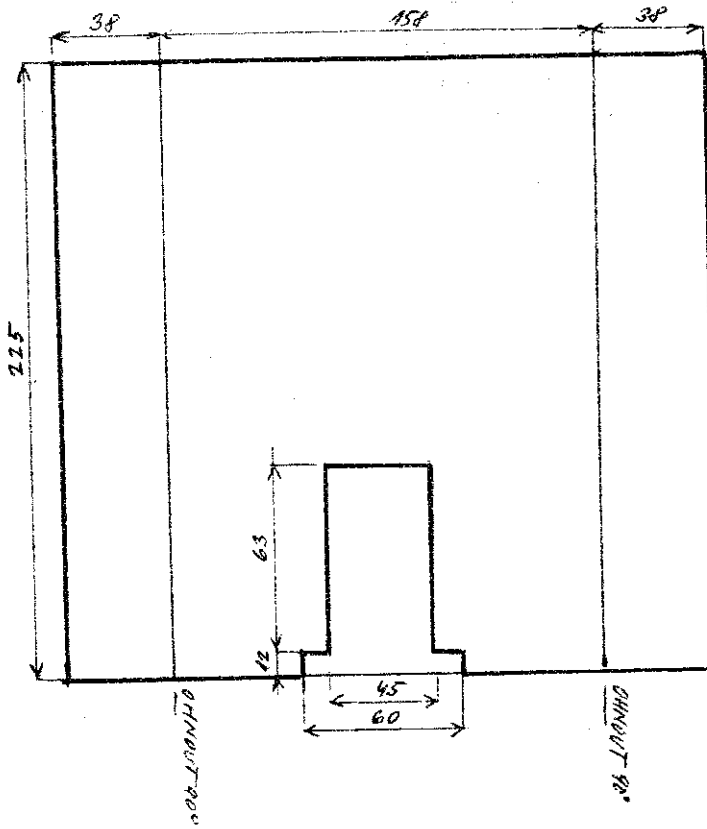
PRAVÉ STRANA

LEVEI PANEZ

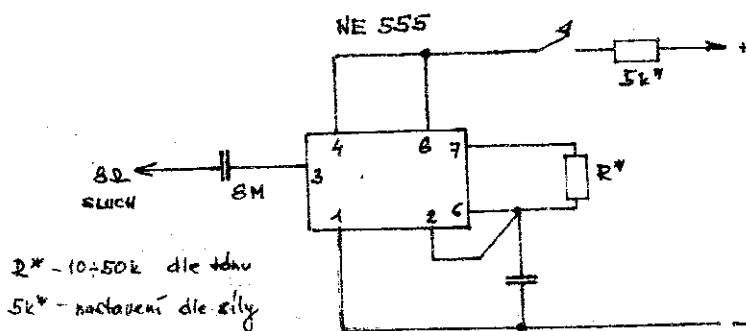
ZAPORNÍ KONEKTORE
(BAMN PANEZ - PRAVÉ STRANA Č. 1)



CHASSIS



SIDE TONE OSC - G3YCC - G-QRP HANDBOOK 1983



$R^* = 10\text{--}50k$ die zulässig

$5k^* = \text{nach oben die zulässig}$

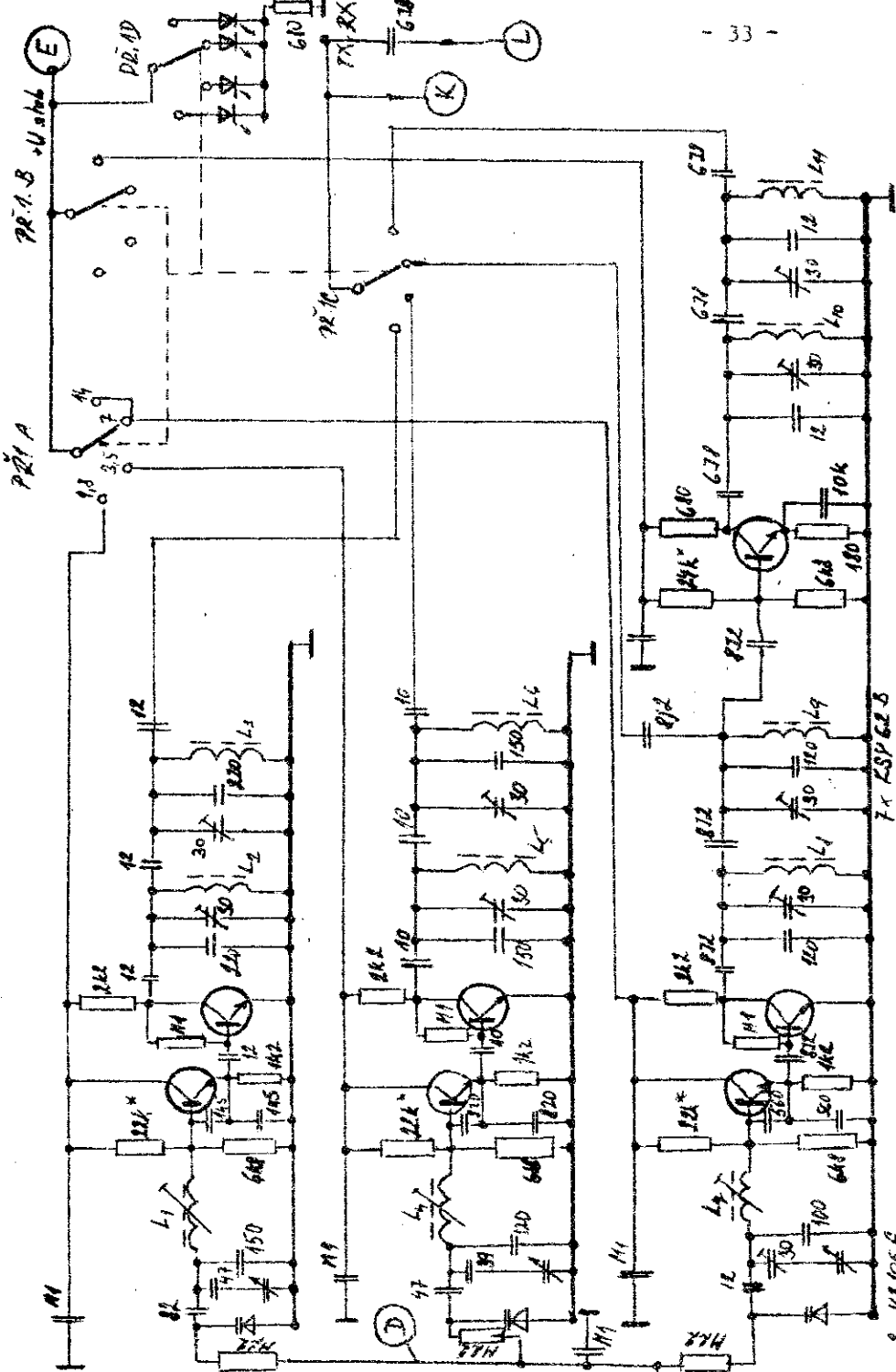
QRPP transceiver " ATLANTIDA ". Lad. Oliberius, OK1DLY

Tento transceiver vznikl na přelomu roku 1987-88 v původní verzi pro 3 pásmá, a sice 80,40 a 20 metrů. Bohužel v říjnu roku 1988 zmizel při požáru vysílačního stanoviště OK1KCY na Želivském vrchu bez stopy stejně, jako býjny kontinent. Odtud ten honosný název. Po několikaleté vysílací abstinenenci jsem díky rodiným a zdravotním potížím dokončil transceiver druhý až v létě 1992. V následujícím článku se pokusím o stručný popis.

Srdcem TRXu jsou oscilátory, každý zvlášť pro pásmo, jen signál pro pásmo 14 MHz se získává z jednoduchého mísobíče. Pracovní body oscilátorů se nastavují odporem $22\text{ k}\Omega$ v bázi tranzistorů. Signál z oscilátoru prochází pásmovou propustí, kterou vyladíme na střed příslušného pásmá. Toto nalaďení doporučuji nepodceňovat, velmi na tom záleží čistota signálu. K ladění oscilátorů jsem požil ministurní triál ze starého rozhlasového přijímače neznámého typu. Ti kdo vhodný kondenzátor neseženou, mohou postavit zefření jen na tři pásmá/ duál se sežene daleko snáz/, nebo se pokusit ladit oscilátory pomocí verikapů /viz Tramp, Kolibřík/. Verikapy v transceivru jsou použity pouze pro RIT.

Napětí pro oscilátory je stabilizovéno jednoduchým stabilizátorem podle OK1WPN-viz obr.3. Pracuje na první zapojení, stejně jako CW monitor a VCX. Použité relé jsou typu LUN, VoX musí spolehlivě překlopit na první tečku. Dobu sepnutí relé nastavíme trimrem M68 v bázi tranzistoru.

Přijímač /obr.2./ je na vstupu osazen tranzistorem BF 961. Ve schematu je napísán KF 910, protože předpokládám, že případný zájemce jej snadno sežene. S BF 961, který jsem vyndal z kanálového voliče, jsem však dosáhl podstatně menšího šumu. POZOR ! Tranistor nepájíme pistolovou pájkou! Ne snad kvůli průrazu, ale působením silného magnetického pole se naruší jeho substrát a tranistor rychle stárne. To se projeví až asi po půl roce zvýšením šumu a sníženou schopností směšovat - přijímač téměř chluchne. Cívky označené jako L 1A až L 7A je kus drátu provlečený jedy prvních cívek pásmových propustí v serii. Jednotlivé propusti jsou přes přepínač připojeny na směšovač zvonkovým drátem co nejkratším- žedný stínérý vodič, který prudce zvýší útlum. Ani koaxiální kabel. Z tohoto důvodu je nutné, aby přepínač byl co nejbliže vstupních obvodů a směšovače. KF zesilovač přijímače je v obvyklém zapojení, cívka L 9a, paralelní kondenzátor M 5 tvoří LC obvod nalaďený na



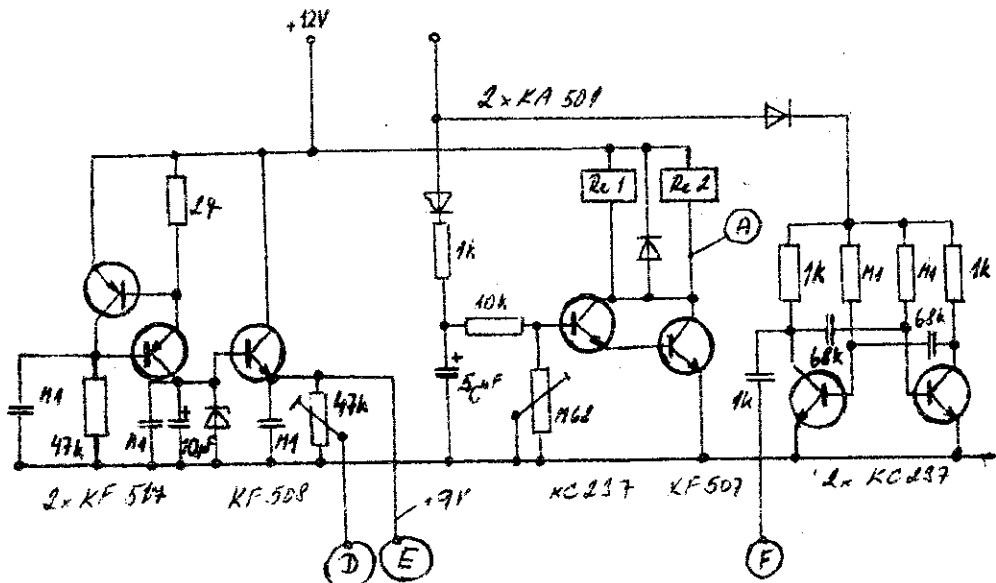
800 Hz /TW filtr /. Pokud by měl někdo zájem zvýšit selektivitu přijímače, doporučuji tyto obvody zaředit dva až tři za sebe. Bohužel jsem neměl víc hrníčků. Vývod označený (J) je t.z.v. falešný S-metr.

Vysílač /obr. 4./ je na samostatné desce. Signál od přepínací je přiveden koaxiálním kabelem proto, že je veden přes téměř celý transceiver. Obvod vysílače je třeba vypíchat. Původně jsem chtěl použít zapojení podle RZ 4/1985 autor OK1CZ ex CK1DKW, ale neměl jsem úspěch. Asi to neumím. Úroveň signálu nastavíme trimrem M 1 tak, aby se vysílač nerozkrmitával, ale aby výkon vysílače byl esí 300 mW na 14 MHz bez parazitních kmitočtů. Je vhodné vyzkoušet více tranzistorů. Je zde nutná trpělivost a pečlivost.

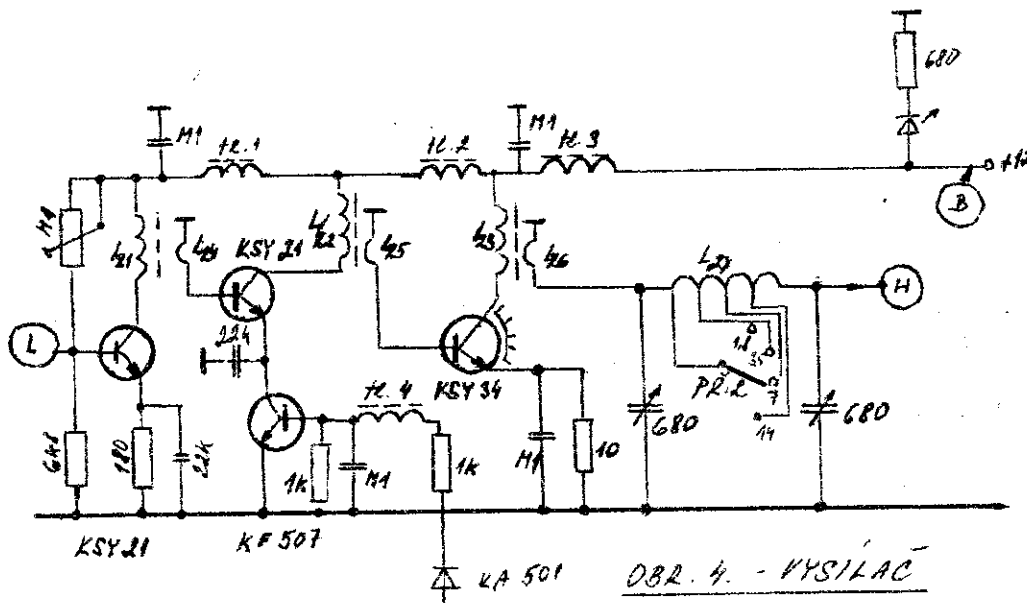
POSTUP PŘI OŽIVOVÁNÍ : Nejdříve oživíme desku stabilizátoru, VOXU a CW monitoru. Potom nastavíme oscilátory. Zde je nutné podotknout, že oscilátory je vhodné nastavit tak, aby na 14MHz byla úroveň asi 2x větší a na 7MHz ssi 1,5x větší než na 3,5 MHz. Má to vliv na rovnoměrnost výkonu na různých pásmech. I tak bude výkon na 14 MHz o něco menší než na ostatních pásmech - účinnost tranzistorů se vzrůstajícím kmitočtem klesá. To nám umožní nastavit vysílač. Rozsádění oscilátorů v požadovaném rozsahu zkontrolujeme podle přijímače nebo čítače, stejně jako rozladění RITu. Potom oživíme přijímač, nalaďme pásmové propusti na vstupu a přijímač nastavíme na nejlepší příjem. Pokud by byl na některém pásmu příjem horší, zvýšíme úroveň signálu z VFO. Až když přijímač poslouchá, oživíme vysílač.

K použitým součástkám - přepinač je z přijímače Dolly nebo jiný 8 x 4 polohy. Je jím přepínáno všechno, kromě pí-článku na výstupu, který má vlastní přepinač. Ostatní součástky jsou běžného typu, nezřídka ze šuplíkových zásob. V obvodech oscilátorů jsou výhradně styroflexové, kromě blokovacích /keramika/ a pásmových propustí./keramika/ Trimry jsou hrníčkové. Kondenzátory v pí-článku jsou z přijímače Dolly, u kterých jsou všechny sekce propojeny paralelně. K ladění je použit jednoduchý lankový převod.

Mechnická konstrukce je zřejmá z obr. 6 a 7. Celý TRX je postaven v krabici z Al plechu tloušťky 2mm. Krabice má tvar písmene U. Obvody oscilátorů jsou v samostatném boxu z bílého plechu. Napětí pro VFO a RIT je vedeno přes průchodkové kondenzátory ln5 /nejsou zakresleny/. Signál z oscilátorů je veden přes skleněné průchodky. Mezi boxem s oscilátory a vysílačem je přepážka zhotovená z 2mm Fe plechu.



QBR. 3: Stabilisator, VOK, CW MONITOR



<i>L24</i>	2200-0,5 Cw 4 na L24	12,4, 12,2, H.3- 60000. 43 Cw na torbi H22 ± 16mm
<i>L25</i>	2200. 0,5 Cw 4 na L22	
<i>L26</i>	12.200. 0,5 Cw 7 na L23	12,4 - 25000. 0,4 Cw na brzicha
<i>L27</i>	40.200. 0,25 mm Cw na Ø 35,mm	H22 ± 16 mm

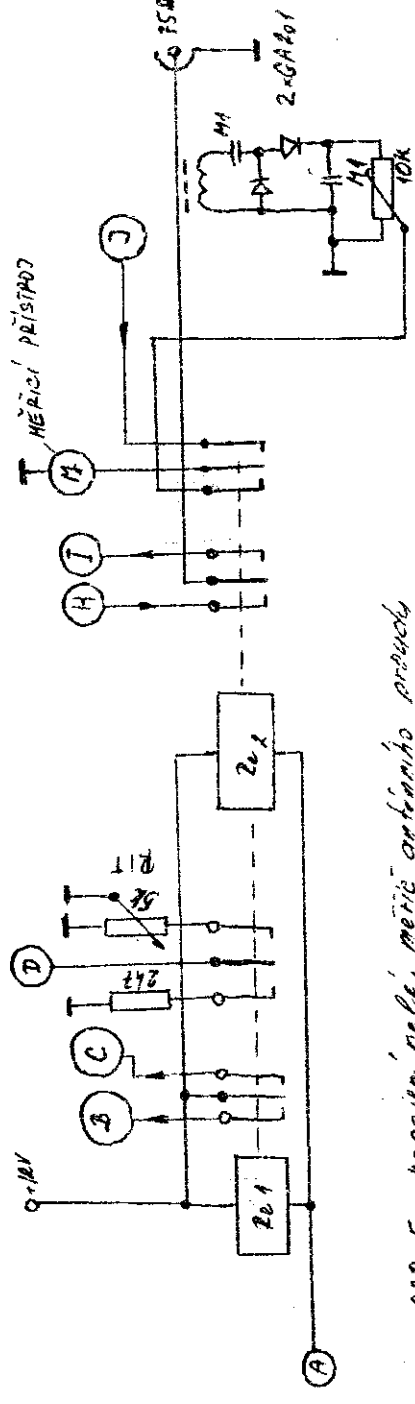
Obr.5. - Zapojení relé - body označené písmeny v kroužku propojíme se shodně označenými body na deskách jednotlivých částí. Desku vysílače - bod B . je možné připojit přímo na 12V a na vývod relé B připojit jen LED indikující stav TX - vysílání.

Ačkoliv transceiver vypadá na první pohled jednoduše, nedoporučuji jeho stavbu úplným začátečníkům, nebo těm, kteří toho postavili dosud velmi málo. Transceiver lze postavit bez problémů pro jedno pásmo, při použití více pásem je to však podstatně složitější.

K zařízení používám i pár doplňků, které je možné použít i u jiných zařízení. Prvním je pochopitelně elektronický klíč IK3, který je napájen přímo z TRXu. Z tohoto důvodu pro vstup klíč a sluchátka používám pětikolikové konektory. Druhé zařízení je "reprobedne pro hlasitý poslech ". Je to v podstatě skřínka s reproduktorem, ve které je vestavěn zesilovač s MB A 810. /obr.8/ Odpor R má mít hodnotu používaných sluchátek, trimrem M 1 se nastaví požadované zesílení, při provozu je úroveň řízena přijímačem VF, NF/. I tato reprobedna je napájena přes konektor z TRXu. Je třeba však napájení +12V vyvést na zvláštní kolík, protože při příjmu je v TRXU napájecí napětí pro RX vypnuto, tím pádem není z reproduktoru slyšet příposlech - monitor.

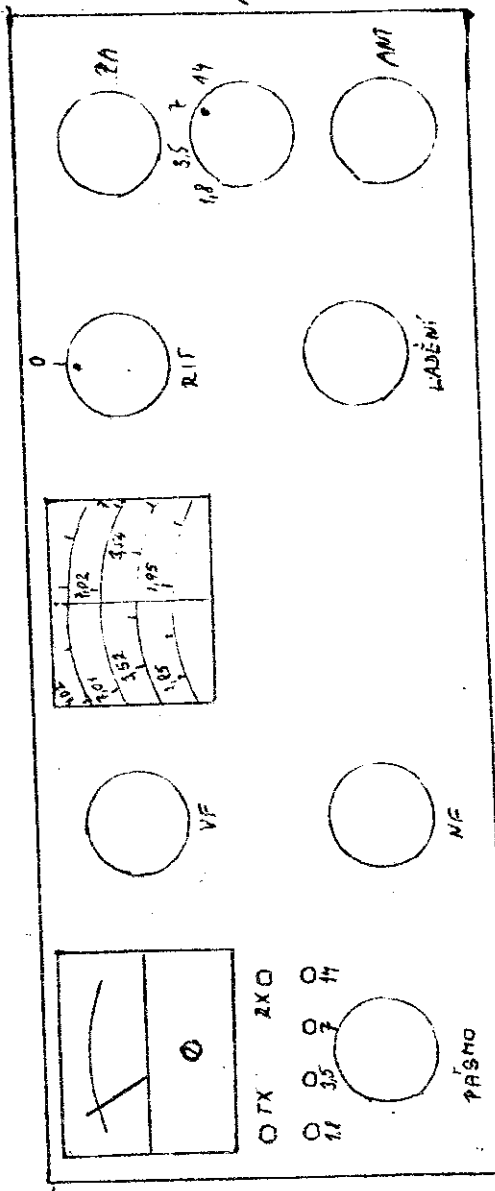
Třetí pomůcka , kterou používám je t.zv."BATERIOCUC ", mající své opodstatnění při dnešní ceně baterií. Každý ví, že pokles napájecího napětí v důsledku vybití baterie i částečného znamená konec provozu. Toto zařízení umožní ještě nějaké to spojení udělat. Při plné baterii je páškový přepínač v poloze 1 a TRX je napájen přímo z ní. Pokud napětí poklesne a TRX přestává náležitě pracovat, přepneme přepínač do polohy 2. Spustíme tak měnič 12/25V / autor OK2PCH/ a na výstupu máme opět 12V až do té doby dokud obvod MA 7812 ještě stihne stabilizovat výstupní napětí méně /asi 15-16V/. V té době už jsou baterie zcela vybité a draze zakoupená energie zcela "vycucnuta". Proto " BATERIOCUC ". Pro QRPP zařízení lze toto zapojení náležitě miniaturizovat a použít i tranzistory jako 3 NU 72, AD 365 a pod. V tom případě bude trafo i tlumivka navinuta drátem 0,2 až 0,3 mm CuL na menším jádru a lze je vestavět i přímo do zařízení.

Všem, kteří se do popsaného zařízení pustí přejí hodně úspěchů a těším se na slyšenou.



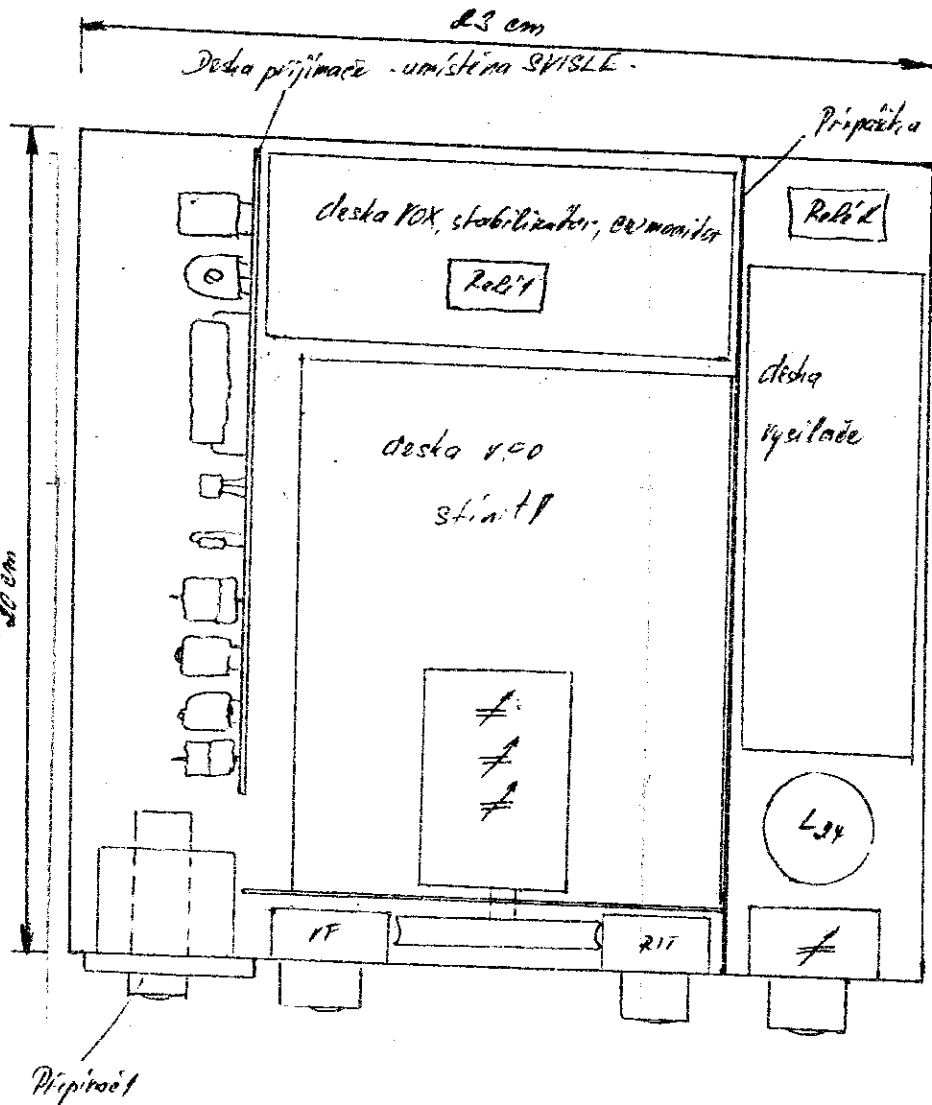
- 37 -

Preprint



082. 6. včn. 'vonal' transceivery

Výška skřínky 90 mm



L1 - 110 zdv. 0,1 CmL na kostce $\varnothing 5$ s jádrem

L2, L3 - 11 zdv. 0,5 CmY na dvouotvoreném jádru

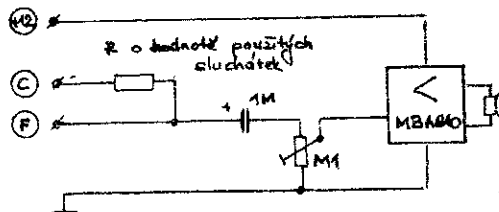
L4 - 65 zdv. 0,1 CmL na kostce $\varnothing 5$ s jádrem

L5, L6 - 6,5 zdv. 0,5 CmY na dvouotvoreném jádru

L7 - 35 zdv. 0,1 CmL na kostce $\varnothing 5$ s jádrem

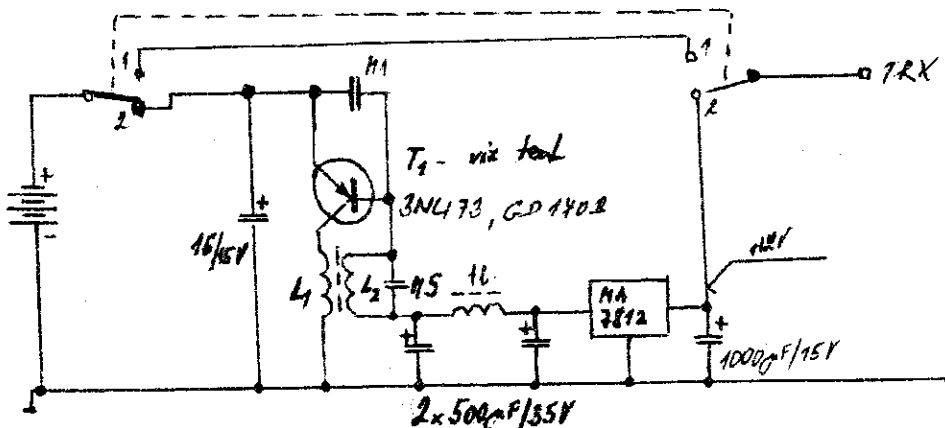
L8, L9 - 15 zdv. 0,5 CmY na toroidu $\varnothing 10$ (modrý)

L10, L11 - 12 zdv. 0,5 CmY na toroidu $\varnothing 10$



OBR. 8 ZAPOJENÍ PRO HLASITÝ POSLECH.

OBR. 9 - zařízení pro provoz při výbité baterii



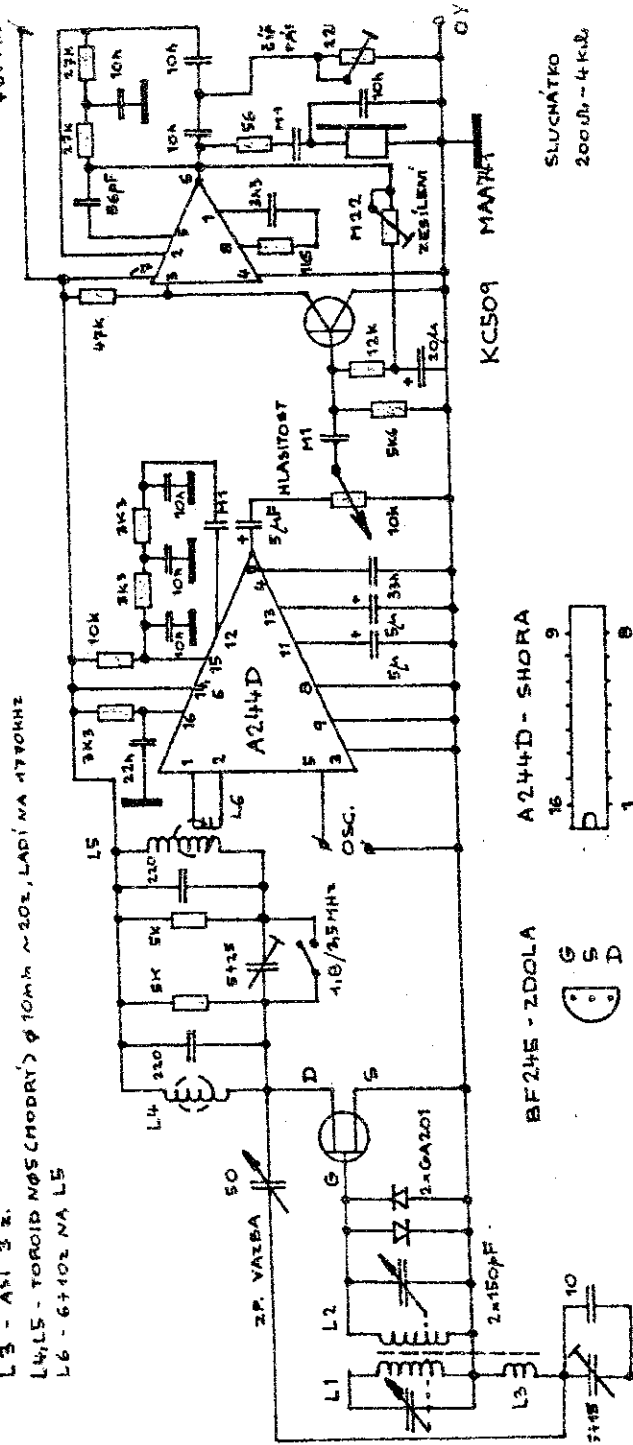
L₁ - 50 zdv. 0,5 CmL na liničke H22 $\varnothing 35$ mm

L₂ - 55 zdv. + + na L₁

H2 - 150 zdv. 0,5 CmL na liničku H22 $\varnothing 35$ mm

$\text{G}_{\text{eff}}(\text{B}_7) = \text{TRX NA} 1.8 / 3.5 \text{ MHz} - \text{IWR (RX)}$

L1,L2 - ARI 15 z. NA DVAJSETROVEM ZADRE CKAZDE VYHUTI NA JEDNOM BU. SADA
 L3 - ARI 3 z.
 L4,L5 - TOROID NO5 (CHODR) Ø 10m x ~20z, LADI NA 1700KHz
 L6 - 6+10z NA LS



MAA341-740-ZDOLA

PRED PGV-METR

2.6 sec/m²(4x4,GW,OH,L.A.) no pipeline

OK 3. PZL - RX NA 1.8 / 3.5 MHz - 1W (TX)

- H-2 = ASS-30% NAA TOROIDAL & 10mm NBS CLAPIS C₄C₃ MA 4.0 MHz)

- C2 - 2,7 VISTERNA KAPACITA C1+C2 JE 555,6 pF

- + 121

- 100

- 卷之三

- 1481

- 卷之三

- 卷之三

- C2 T4
1631 3264 1652

- 卷之三

- 卷之三

- 244

- 3254

- 823
1654
822

- 202 Q. J. R. M. (1967)

- 卷之三

- 卷之三

- 卷之三

- 卷之三

- 三

- 卷之四

- प्रस्तुति -

- 卷之三

- 卷之三

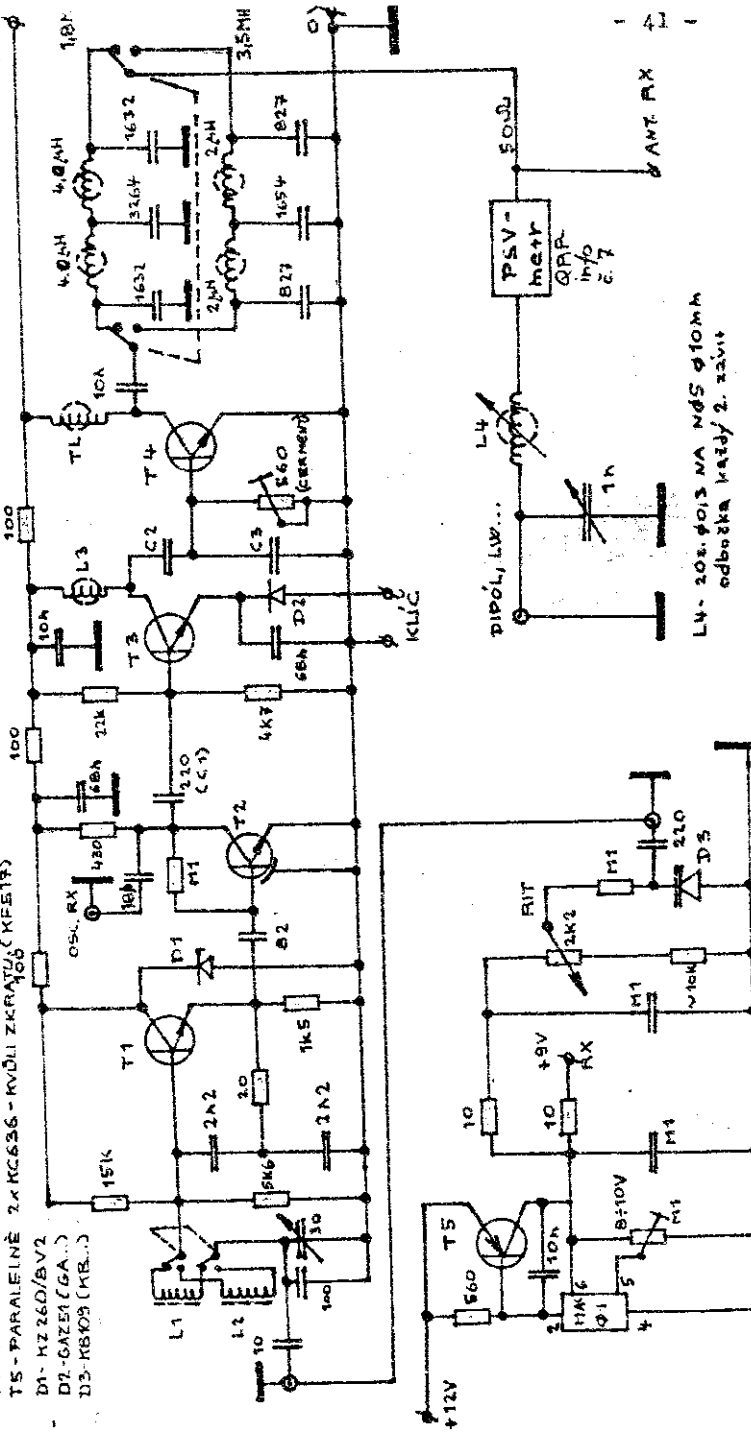
- 391 -
info

- 卷之三

- 200

- 41
DRAFT. P. X

- 卷之三

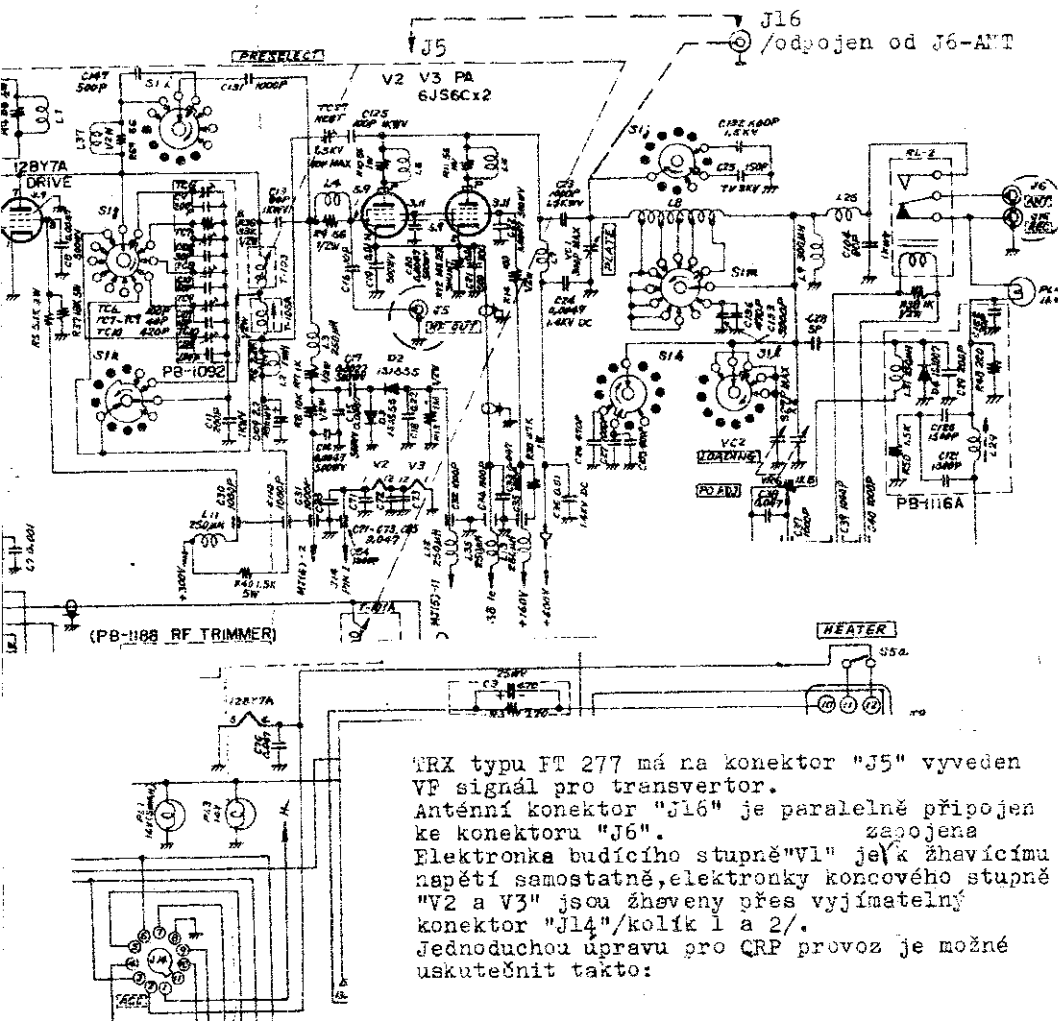


UPRAVA

FT 277-FT101

PRO QRP PROVOZ

V. HANAK - OK1HR



TRX typu FT 277 má na konektoru "J5" vyveden VP signál pro transvertor.

Anténní konektor "J16" je paralelně připojen ke konektoru "J6".
Elektronika budícího stupně "V1" je k žhavicímu napětí samostatně, elektronky koncového stupně "V2 a V3" jsou žhaveny přes vyjmívatelný konektor "J14"/kolík 1 a 2/.

Jednoduchou úpravu pro QRP provoz je možné uskutečnit takto:

- odpojit konektor "J 16" od konektoru "J 6"
- konektor "J16" propojit kouskem koax.kabelu se vstupem Pi-článku
- upravit hodnotu kondenzátoru C 16 na výstupu budiče
- zhovit krátkou vyjmívatelnou spojku z koax.kabelu a tou propojit konektor "J5" s "J16"
- vyjmout zástrčku konektoru "J14"
- ovládacím prvkem "GAINER" je možné nastavit výkon od \emptyset asi do 1W; funkce ostatních prvků je zachována.

Maják OK Ø EN. - Mirek Najman, OK 1 DUB.

Konstrukce:

Maják se skládá z pěti částí: zdroj, termostat, telegrafní dávač, vysílač a antena.

Zdroj :

síťové napětí je transformováno na hodnotu 15V. Po čtyřcestném usměrnění následuje integrovaný stabilizátor MA 7812.

Na výstupu zdroje jsou k dispozici tři stejnosměrná napětí : 15V nestab. - pro topnou část termostatu

12V stab. - pro vysílač a regulační obvody termostatu

5V stab. - pro telegrafní dávač, napětí je získáno pomocí srážecího odporu z 12V stab.

Celý zdroj je na primérní i sekundárni straně jištěn trubičkovými pojistkami.

Termostat:

Topná část tvoří jediný mechanický celek s vysílačem. Je použito kovové krabičky z továrního regulátoru teploty /TRS/, které je umístěna v originálním polystyrenovém obalu, jenž slouží jako tepelná izolace. Jako teplotní čidlo je vestavěn termistor v kovovém pouzdu a vytápění obstarává výkonový tranzistor. Elektronická část je osazena integrovaným obvodem MAA 723. Regulátor pracuje v proporcionalním režimu. Příkon topení je 6W / topným tranzistorem protéká proud 0,45A při napájení 15V/. Teplota uvnitř termostatu je udržována na hodnotě 50°C

Telegrafní dávač :

Celý dávač je osazen témito IC řady TTL: MH 74154, MH 74150, 2x MH 7493 a dále pak časovačem NE 555. Vysílaný text je "uložen" v diodové matici, která obsahuje 16 x 16 propojitelných bodů. NE 555 generuje taktovací kmitočet, ten je pak vedem do čítače MH 7493. Tyto čítače řídí obvody MH 74154 a MH 74150 /multiplexer a demultiplexer/ a ty pak již čtou diodovou matici. Tempo vysílaného textu je dáno kmitočtem taktovacího generátoru. Text majáku zní: "OK Ø EN BEACON QRP" a za ním následuje čára dlouhá 8,5 sekundy. Celý text všetně čáry je odvysílán za 29 sekund, což reprezentuje rychlosť 50 znaků/minutu.

Vysílač :

Jedná se o modifikované zapojení podle OKICZ publikované ve sborníku "Klínovec 87 - 1. díl KV". Oscilátor je osazen tranzistorem KC 508. V serii s krystalem 3600 kHz je zapojen doleďovací va-

rikap, jemné doladění kmitočtu vysílače /asi \pm 150 Hz/ se může uskutečnit pomocí desetiotáčkového Aripotu. Z oscilátoru je nosná vedená do koncového stupně / KFY 34/ a z jeho výstupu přes dvojitý pí-článek a doladovací seriovou indukčnost do antény. Klíčování vysílače je provedeno v kolektoru koncového stupně tranzistorem KP517. Klíčovací impulzy však nejsou vedeny do jeho báze přímo, ale pomocí jazýčkového relé. Je tak zajištěn správný tvar telegrafních značek bez ostrých hran. Příkon koncového stupně je 300 mW. Z údáneho příkonu a zároveň co nejmenšího nežádoucího vyzařování je dosaženo vhodným nastavením předpětí báze PA a úrovní budicího signálu z oscilátoru. Při předpokládané účinnosti 50% lze s chybou menší než 2 dB tvrdit, že výstupní výkon je 150 mW.

Anténa :

Jedná se o půlvlný dipol. Ramena svírají úhel 100° a jsou mírně invertována - asi 5°. Osa maximálního vyzařování je orientována ve směru východ-západ. Maják je umístěn v podkroví soukromého objektu. Jedno rameno antény je vzhledem k nedostatku prostoru umístěno v tomto půdním prostoru, druhé je zavěšeno mezi hřebenem střechy s protějším travnatým břehem. Anténa je jen ve výšce 8 m nad terénem, má však pod sebou relativně dobře vodivý terén./Opušťkové podloží, spodní voda, asi 100m od QTH majáku velký rybník.

Celkové uspořádání :

Jak již bylo uvedeno, vysílač a topná část termostatu s izolací tvoří jeden mechanický celek. Zbytek majáku /kromě zdroje/, t.j. telegrafní dávkač, regulační část termostatu, Aripot k nastavení frq, ruškový indikátor proudu PA a LED indikace topení je vestavěn ve druhé, tentokrát izolační skřínce. Tato je s vysílačem propojena svazkem vodičů. Tyto dvě části jsou umístěny ve větším polystyrenovém obalu /druhá tepelné izolace/. Zdroj je vestavěn v kovové krabiči mimo vlastní maják. Celé zařízení je z bezpečnostních důvodů obloženo něhořlavým materiélem- ezelit. Celkový příkon majáku ze sítě je 10 VA.

Provoz :

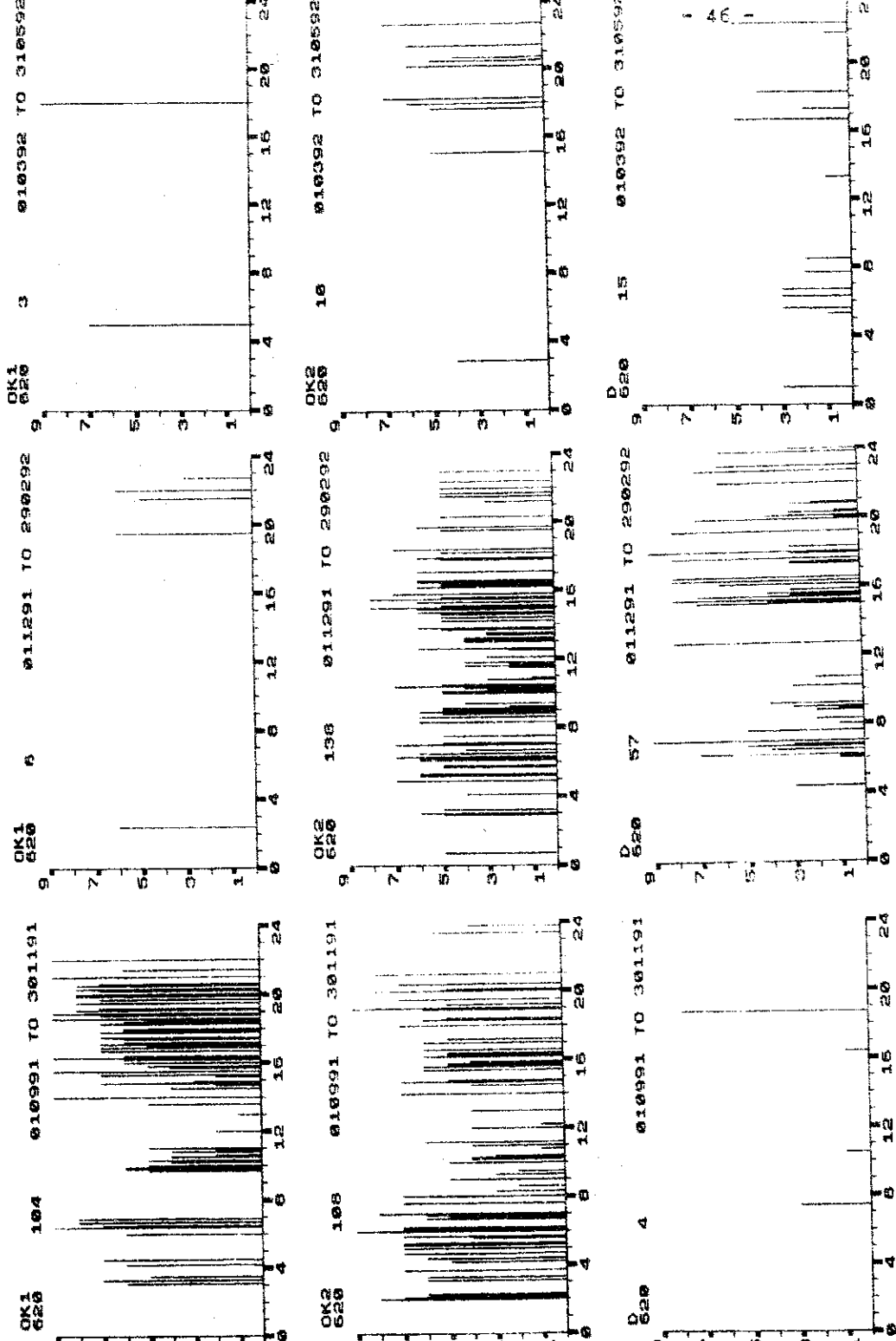
V tabulce 1 jsou uvedena všechna pokusná vysílání majáku. Jak ukazuje tabulka, více jak 4 měsíce jsem maják provozoval s vlastním volacím znakem, nebyl však v provozu nepřetržitě, protože stávající vysílač jsem používal i k běžným spojením na 80m pásmu.

OBDØBT	FRQ	ANT	PWR	TEXT
25.12.90 ÷ 30.12.90	3600	LW 20m	50mW	OK1DUB QRP BCN
30.12.90 ÷ 1.1.91	3522	LW 20m	50mW	OK1DUB QRP BCN
1.1.91 ÷ 4.1.91	3522	LW 20m	50mW	OK1DUB QRP TEST EE
4.1.91 ÷ 1.5.91	3522	LW 41m	50mW	OK1DUB QRP TEST EE
1.5.91 ÷ 6.5.91	3522	LW 41m	300mW	OK1DUB QRP TEST EE
13.6.91 ÷ 15.6.91	3536	RÁMOVÁ	400mW	OKØEN BEACON QRP —
15.6.91 ÷ 22.6.91	3536	RÁMOVÁ	40mW	OKØEN BEACON QRP —
3.7.91 ÷ 18.7.91	3600	RÁMOVÁ	400mW	OKØEN BEACON QRP —
18.7.91 ÷ 6.8.91	3600	LW 41m	250mW	OKØEN BEACON QRP —
6.8.91 ÷ 8.9.91	3600	LW 41m	150mW	OKØEN BEACON QRP —
OD 8.9.91	3600	RÁMOVÝ DIPOL	150mW	OKØEN BEACON QRP —

Nevíce to nebylo možné z hlediska dvojího výskytu jednoho volscího znaku na pásmu ve stejném okamžiku. 6.5.1991 na upozornění inspekторátu radiokomunikací definitivně " černé " vysílání zastavují. V té době mám však již povolen OKØEN a tak spuštění bránilo jeho dokončení.

Volba kmitočtu majáku:

Původní záměr byl jasny: zprovoznit maják na nějakém "kulatém kmitočtu ", nejraději na konci telegrafního segmentu. Z tohoto požadavku vyplynul celkem zřetelně kmitočet 3600kHz. Jak je vidět v tabulce - za pár dní byl maják kvůli velkému rušení od profi stanic přeladěn na 3522kHz. Zde vše fungovalo výborně, avšak signál majáku byl i přes malý výkon tak silný, že rušil stanice v DL a G při běžném provozu. Následovalo tedy přeladění na 3536 kHz a několik pokusů s rámovými antenami, které skončily fiaskem. Po různých debetech s ostatními amatéry a vyslechnutí mnoha názorů se nakonec vše vrátilo ke starému. Kmitočet 3600 kHz se přes všechny problémy s QRM ukázal jako nejvhodnější - nikomu na pásmu signál majáku nevedí. Jak se později ukázalo, rušení na kmitočtu nebylo tak dominantní, jak se zprvu zdálo. Dokazují to doložité reporty od mnoha stanic.



Stabilita kmitočtu :

Kmitočet majáku se měnil v období od 9.9.1991 do 9.9.1992, v rozmezí + 16 Hz / největší mrezy / do -25 Hz / největší vedra/ bez nutnosti doleďování.

Reporty :

Za rok provozu OKØEN došlo přes 600 reportů od 150 amatérů z 10 zemí DXCC / OK, DL, G, HB9, OE, HA, SM, CW, PA, SP /. Nejdelší report byl od GWØNSR /19.4.1992, 22:55, RST 439 QRM SSB, QRN ,1236 km /. Nejaktivnější v posílení reportů byli amatéři z DL a OK2PXJ. Kromě QSL listků, samolepek, výstřížků článků, milých dopisů a dalších věcí jsem v došlych obálkách / v drtivé většině direkt/ našel celkem 29 IRC kupony, 4 US dolary, 20 švédských korun, 20 šilinků, a 5 marek. Nejvíce mne pobežil QSL od DLLVDSL kde stálo: " Blahopřeji k 1. narozeninám OKØEN ". No comment.

Grafické znázornění reportů:

Vodorovná osa - čas / UTC /

Svislá osa - síla /S /

v horních řádcích jsou tyto údaje :

1. řádek - země / oblast /

2. řádek - s/ celkový počet reportů došlych v době, kdy byl graf zpracováván.

b/ počet zobrazených reportů

c/časové rozmezí vyobrazených reportů

Grafi byly zpracovány na mikropočítaci Didaktik Gama.

Na závěr bych chtěl poděkovat za cenné rady, pomoc při nastavování majáku, případně za pomoc poskytnutím některých součástek zejména těmto radioamatérům:

OK1CZ, OK1MC, OK1DGI, OK1FAQ, OK1FIP, OK1FVD, OK2PXJ.

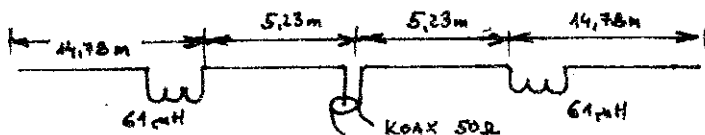
Za propagaci majáku, ať už doma či v zahraničí pak patří dík mezi jinými :

OK1HH, OK1RR, OK1CRA, OK1FVD, OK1FWA, OK2PXJ, DJ5QK, DLLAAA, GEPG.

Nesl na 3600 kHz ! VY 73 ! Mirek OK1DUB

Antena pro 160m... OK2PZL

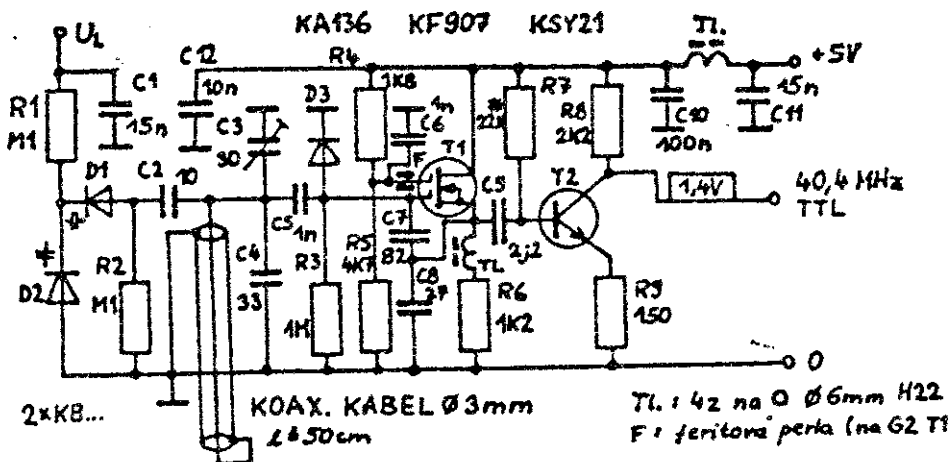
Tuto antenu jsem odzkoušel i na 160 m. Pramen - starší RZ.



Vysílač CW pro pásmo 10,1MHz. Ed. Horský, OK1HEH

Po uvolnění pásmo 10,1 MHz i pro třídu C jsem se rozhodl postavit TX na toto pásmo. Vyšel jsem ze zapojení publikovaného ve sborníku QRP Chrudim 1989 - QRPP transceiver pro pásmo 10,1 MHz od OK1DKK. Oscilátor je beze změny, v TXu je upřeveno klíčování, je použito jednoho hradla 7400 a před koncový stupeň je doplněn budící tranzistor. S tranzistory KD 139 dává při 12V výkon 3W, při 26V až 17W, ovšem s dobrým chlazením. Však jich řad také edešla. Se zařízením jsem velmi spokojen, mám navázáno spojení s 32 zeměmi a po instalaci vertikální antény se toto ještě zlepší.

DLE SBORNÍKU. Q2P 1989



Obr.1 Oscilátor 40,4 MHz

A13

Rozsah: 10,1 - 10,45 MHz

T1,2,3 - KD139

TR1 - TO201D HG d 10mm φ 0,5mm

TR2 - TO201D N1 φ 10mm d=1 d=0,5mm

2x72 bifiláře

1x9246

12x4x2 bifiláře

U1 - TO201D H22 φ GMM = 10,245 d=0,05

U1 - TO201D N 05 φ 10mm = 8,244 d=0,05

U1 - TO201D N 05 φ 10mm = 8,244 d=0,05

U1 - TO201D N 05 φ 10mm = 8,244 d=0,05

U1 - TO201D N 05 φ 10mm = 8,244 d=0,05

U1 - TO201D N 05 φ 10mm = 8,244 d=0,05

U1 - TO201D N 05 φ 10mm = 8,244 d=0,05

U1 - TO201D N 05 φ 10mm = 8,244 d=0,05

U1 - TO201D N 05 φ 10mm = 8,244 d=0,05

U1 - TO201D N 05 φ 10mm = 8,244 d=0,05

U1 - TO201D N 05 φ 10mm = 8,244 d=0,05

U1 - TO201D N 05 φ 10mm = 8,244 d=0,05

U1 - TO201D N 05 φ 10mm = 8,244 d=0,05

U1 - TO201D N 05 φ 10mm = 8,244 d=0,05

U1 - TO201D N 05 φ 10mm = 8,244 d=0,05

U1 - TO201D N 05 φ 10mm = 8,244 d=0,05

U1 - TO201D N 05 φ 10mm = 8,244 d=0,05

U1 - TO201D N 05 φ 10mm = 8,244 d=0,05

U1 - TO201D N 05 φ 10mm = 8,244 d=0,05

U1 - TO201D N 05 φ 10mm = 8,244 d=0,05

U1 - TO201D N 05 φ 10mm = 8,244 d=0,05

U1 - TO201D N 05 φ 10mm = 8,244 d=0,05

U1 - TO201D N 05 φ 10mm = 8,244 d=0,05

U1 - TO201D N 05 φ 10mm = 8,244 d=0,05

U1 - TO201D N 05 φ 10mm = 8,244 d=0,05

U1 - TO201D N 05 φ 10mm = 8,244 d=0,05

U1 - TO201D N 05 φ 10mm = 8,244 d=0,05

U1 - TO201D N 05 φ 10mm = 8,244 d=0,05

U1 - TO201D N 05 φ 10mm = 8,244 d=0,05

U1 - TO201D N 05 φ 10mm = 8,244 d=0,05

U1 - TO201D N 05 φ 10mm = 8,244 d=0,05

U1 - TO201D N 05 φ 10mm = 8,244 d=0,05

U1 - TO201D N 05 φ 10mm = 8,244 d=0,05

U1 - TO201D N 05 φ 10mm = 8,244 d=0,05

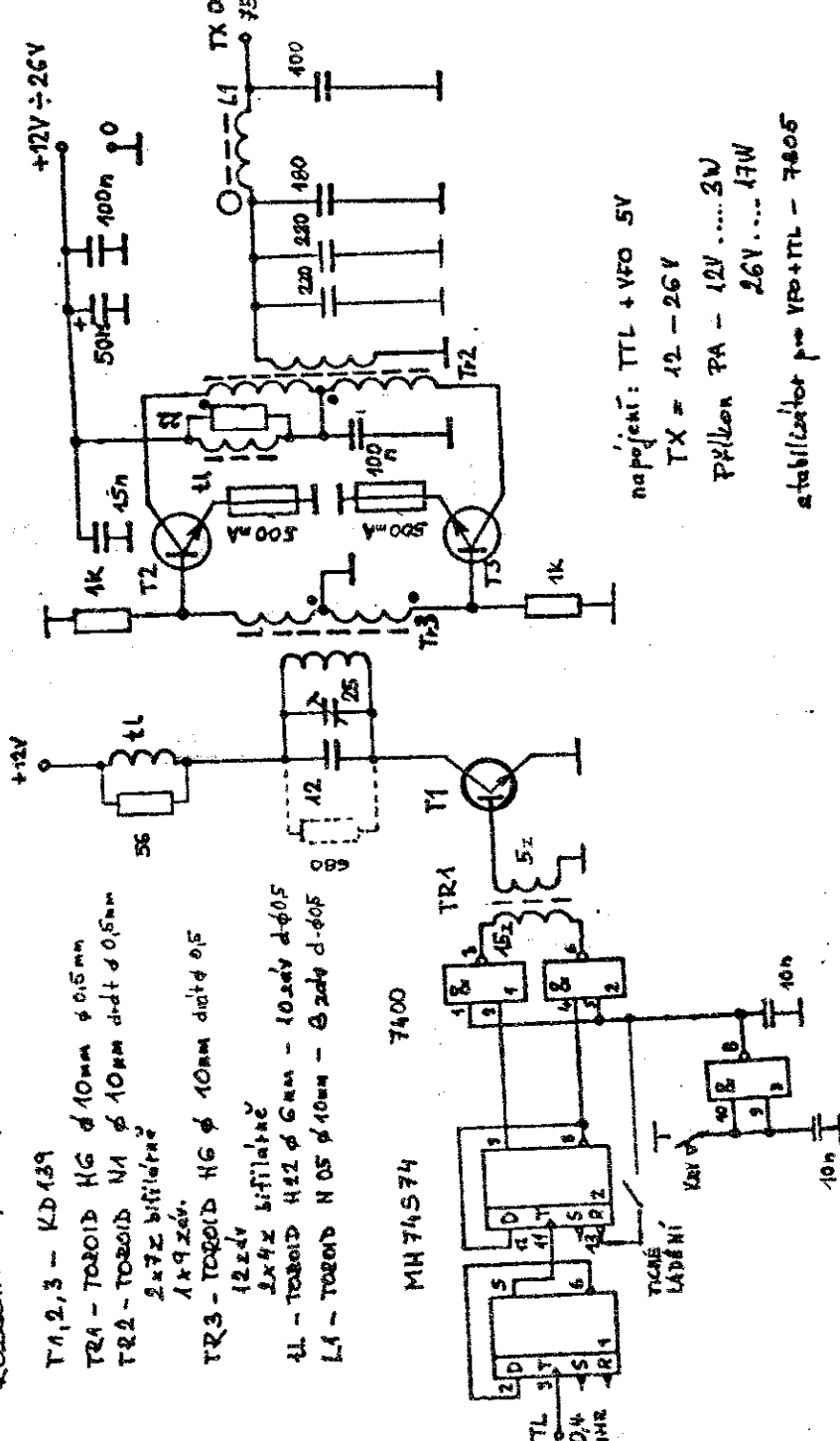
U1 - TO201D N 05 φ 10mm = 8,244 d=0,05

U1 - TO201D N 05 φ 10mm = 8,244 d=0,05

U1 - TO201D N 05 φ 10mm = 8,244 d=0,05

U1 - TO201D N 05 φ 10mm = 8,244 d=0,05

U1 - TO201D N 05 φ 10mm = 8,244 d=0,05

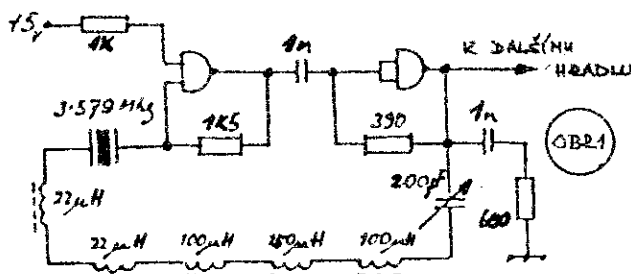


OK1HEH

Obr.2 Vysílač 10,1 MHz

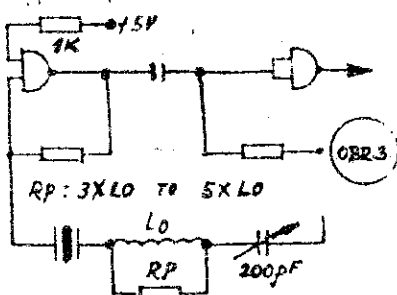
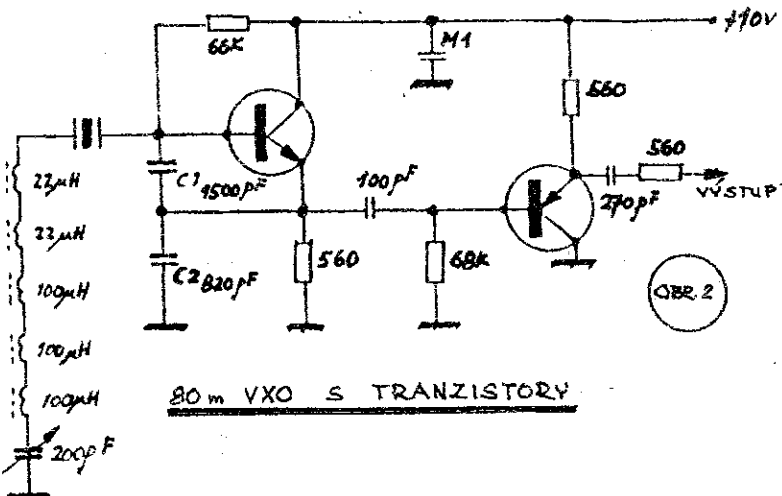
KJ

49



80m VXO S TTL HRADLY

ZASLAL OKRZPZL
LIT. SPRAT DJ1XB



TTL VXO PRO VÝSÍ PÁSMO

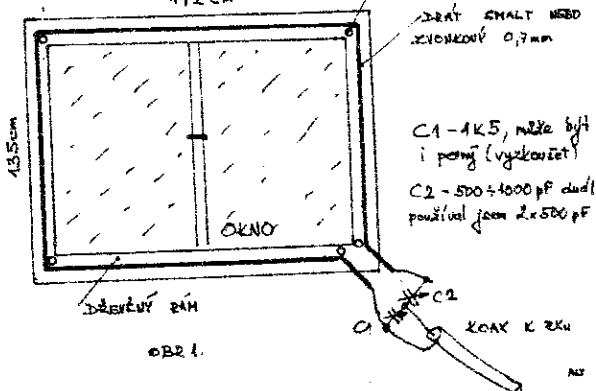
Několik zkušeností - OK 1 JCQ, Jaroslav Slivič .

Bydlím v paneláku, při postavení přijímací části Kolibříka jsem neměl žádnou antenu a tak jsem poslouchal na rámovou antenu, a byl jsem překvapen jak výrazně se poslech zlepšil, selektivita, šum zmizel, zkrátka laik se divil, odborník žasl. Antena je úzkopásmová, při přelaďování je nutno též doladit antennu. Měl jsem ant na 3,5 MHz. Běžně jsem poslouchal OH, SM, G a pod, dokonce slabouče i W. obr.1

Provizorně jsem vysílal na toto: Po natažení dipolu 2x2lm a koaxu ø 8mm se při větru svou vahou dipol utrhl a zůstalo mi těch 20m a k tomu jsem spustil lom drátu viz obr.2. K tomu jsem používal L článek na doladění na nejlepší PSV. Bud jsem vysílal na 10m vertikál a 20m protiváha, nebo spojil 20m a 10m a připojil na L článek a doladil. Chádilo to neuvěřitelně, podotýkám s QRPPmax 800mW, ale i s menším výkonem 200 mW. Udělal jsem od ledna do července 306 QSO OK 1, 2, 3 SP, DJ, HA, SM GØ, HB 9, Dokonce na pouhých 10m vertical a přes kond M1 na ústřední topení, jako protiváha jsem udělal QSO

442 cm

NAPÍNACÍ

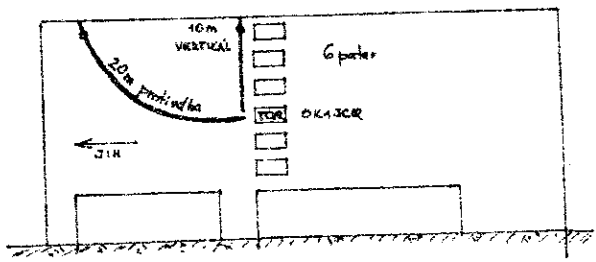


s Mnichovem DJ 2FR
RST 339 sQRPP asi
500mW PWR.

Chemické stříbření
dusičnan stříbr. 7,5g
vodný roztok amoniaku 75g
sirnatán sodný 100g
voda do 1 litru
Lze stříbřit měd i mosaz. Nejdříve důkladně očistit, pak od-

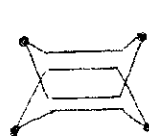
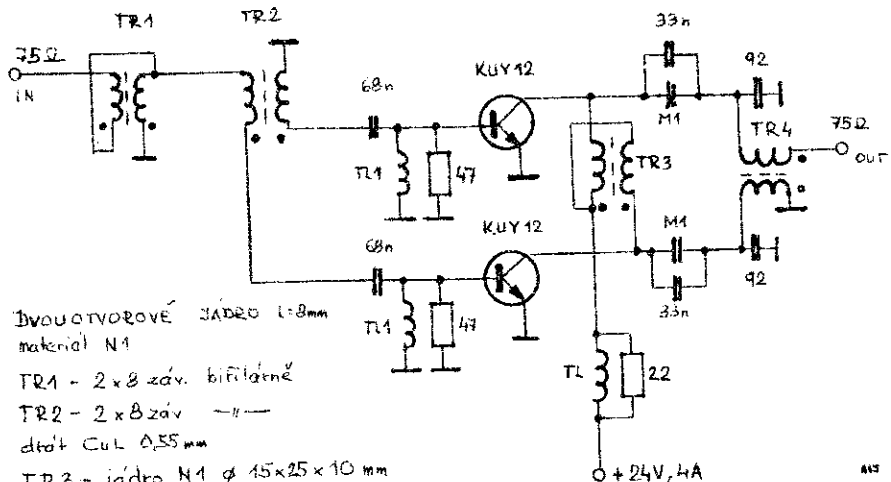
mastit a poslední stopy odstranit v kyselině sodné. Po opláchnutí do stříbřicí lázně.

Pohybujeme jím v lázni a občas vytáhneme a přesvědčíme se o stříbření. Celý proces trvá nejdéle minutu. Stříbro lpi na materiálu velmi pevně a dá se odstranit jedině smirkem.



OBR. 1.

Tranzistorový PA 3,5 - 10 MHz, Ed. Horský, OKLNEH



Pro PA je třeba buzení přibližně 8W, dosažený výkon na 3,5 MHz při příkonu 100 W je 67 W. Při buzení 5 W na 10,1 MHz bylo dosaženo výkonu 41 W při účinnosti 70 %.

Konecový stupeň, který byl navrhován jako přídavné zařízení pro vysílač OKLNEH na 10,1 MHz pracuje ve třídě C. Pro pásmo 3,5 MHz bylo jako budiče použito vysílače RM 31 o výkonu 8 W. Za PA následuje harmonický filtr a výstupní π článek pro přizpůsobení antény. Do přívodu + 24 V je vhodné zařadit pojistku 5 A.

Konecový stupeň je napájen z transformátoru 220 / 24 V 125 VA přes usměrňovač a stabilizátor. Filtrace je provedena

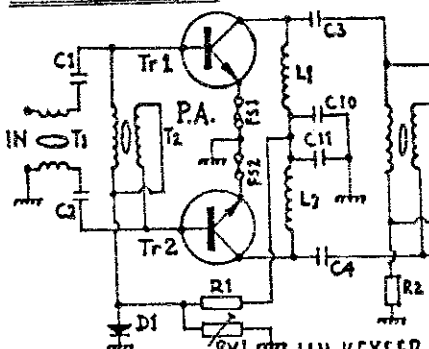
elektrolytickými kondenzátory o velikosti 15 GF. Jako stabilizační zátoru je použito MA 7812 upraveného pro napětí 24 V odporem proti zemi a jeho výkon je rozšířen tranzistorem KU 605.

Stejný koncový stupeň byl odzkoušen s tranzistory KU 611s jeho výkon se pohyboval kolem 30 W při stejné účinnosti. Vyšší kmitočty nebyly odzkoušeny.

oooo000000oooo

ALL-BAND PA

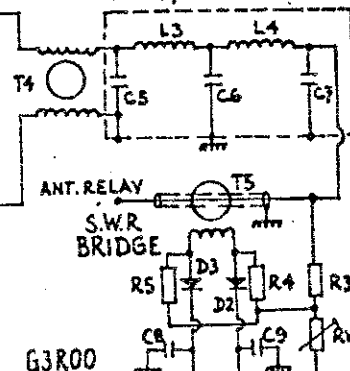
Překladečko z G-QRP handbook



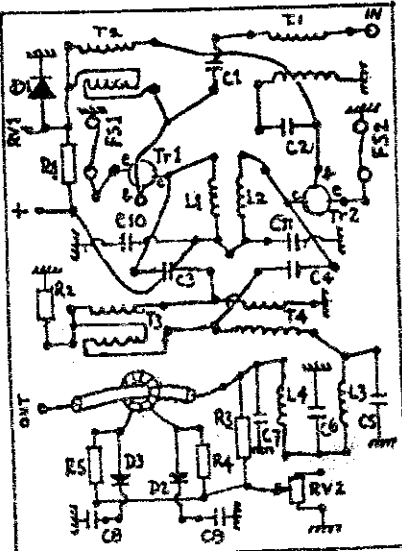
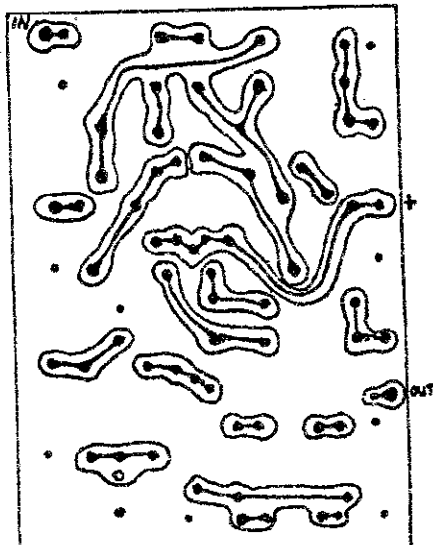
IAN KEYSER

BAND	C5 PA	C6 PF	C7 IX	L3 t	L4 t	S.W.R. SW5	CORE
80	750			21		SW5	T-50-2
40	470			14		SW5	"
20	210			12		SW5	T-50-6
15	105			9		SW5	"

PINET, TO SUIT BAND



G3R00
TO REFLECTOMETER SWITCH



COMPONENT
FOIL

ELBUG S CMOS

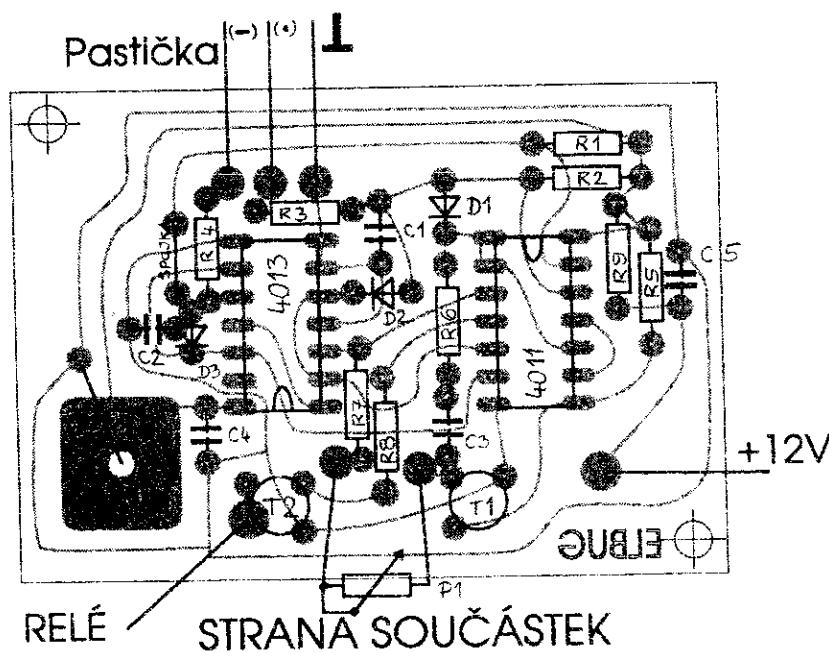
Jiří KLÍMA, OK1DXK

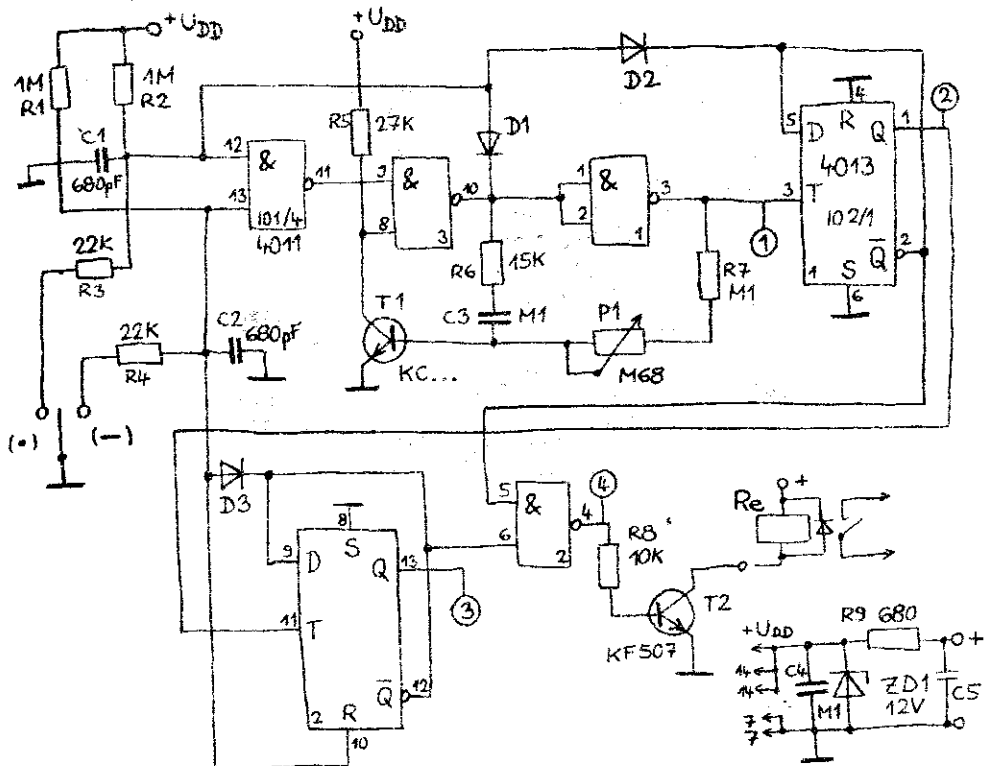
Zapojení pochází z doby, kdy se u nás poprvé objevily obvody CMOS. Protože návody na elektronické klíče ze zahraničních materiálů obsahovaly tehdy nedostupné obvody (4027 a pod.), rozhodl jsem se upravit na CMOS klasický elbug IK3. Zapojení bylo nejprve realizováno na nepájivém kontaktním poli a po vyzkoušení na plošném spoji o rozměrech 65 x 45 mm.

Napájecí napětí pro IO je omezeno zenerovou diodou na 10 až 12 V. Činnost obvodu lze vysledovat z časového diagramu, kde jsou zachyceny průběhy logických úrovní při tečkách a při čárkách. Tranzistorem T2 můžeme klíčovat TCVR bud' přímo (klíčuje-li se spináním malého napětí proti zemi) nebo můžeme použít reié. Použil jsem miniaturní modelářské relé. Pro snadnější montáž (a případnou výměnu IO) jsou IO osazeny v paticích.

Klíč je umístěn v plechové krabičce, napájení a výstup jsou přivedeny pětikolíkovým konektorem. Napájení i výstup jsou proti pronikání v signálu blokovány proti zemi přímo na konektoru pomocí kondenzátorů 15 nF. Přímo v krabičce je zamontována pastička z polarizovaného relé, používám však většinou externí pastičku, která je připojena na samostatný konektor nestíněný kabelem.

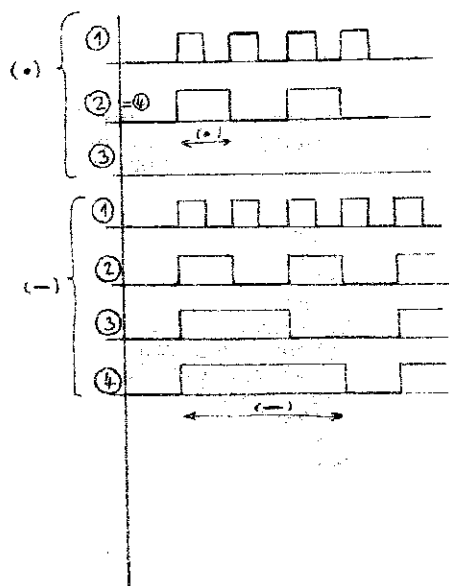
Věřím, že i dnes, kdy existují mnohem dokonalejší (a složitější) zapojení, najde tento klíč uplatnění z důvodu své jednoduchosti.

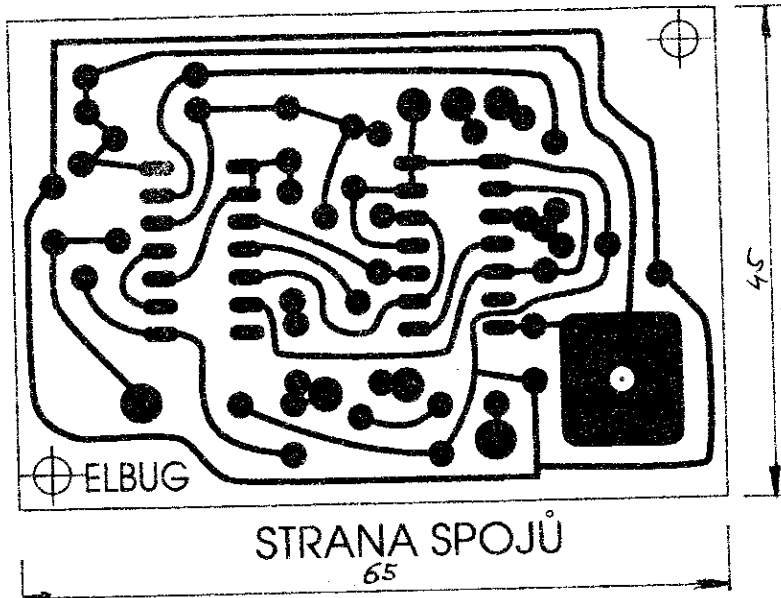




101. 4011

102. 4013





MONITOR CW-SSB 160-2m

J.BIK - OK2SBJ

Monitor slouží k odposlechu CW a SSB signálů. Sestává z krystalového oscilátoru, dělice 16, budiče směšovače, směšovače a MF zesilovače.

Princip zapojení spočívá v buzení směšovače signálem s velkým obesekem harmonických kmitočtů.

Vém případě je použita krystalová jednotka RFO1 (450 KHz - rozhlasový přijímač ROXANA - PLR), lze použít polovinu filtru SPF 455 nebo krystal.

Po vydelení 16 je kmitočet pro buzení 28 KHz.

Při odposlechu je třeba zdroj signálu CTX) nařadit na nejbližší záZNĚJ, což je rozladení TX o max+14 KHz.

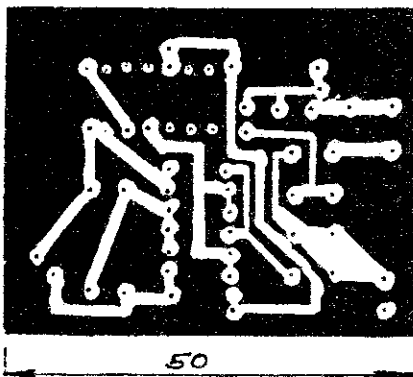
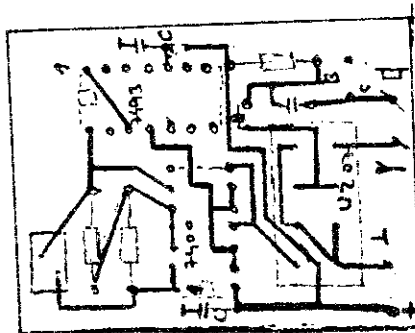
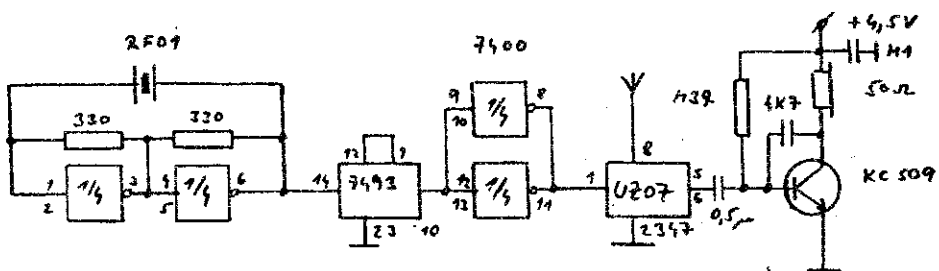
Do výkonu 50 mW lze budit monitor přímo KOAX kabelem, větší výkony přes krátkou (10cm) anténku, kterou přibližujeme ke zdroji signálu.

Monitorem lze kontrolovat kvalitu CW a SSB signálů - stabilita, kliky, modulace, zakmitávání PA; lze jej použít jako kalibrátor pro RX (stabilní napětí 5V).

Monitor je zhotoven na desce z dvouvrstvého plošného spoje, sluchátko 50ohm do ucha, lze použít na napájení baterií 4,5 V.

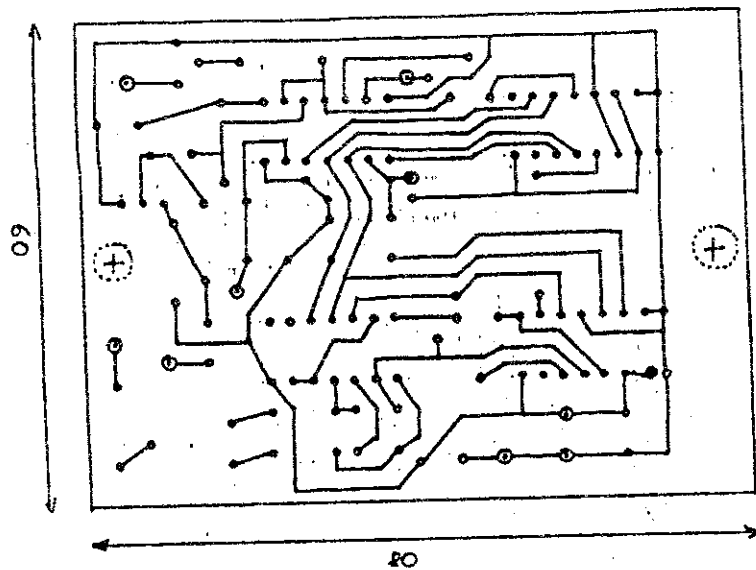
OK 2.5 BJO -

ŠÍROKO PÁŠOVÝ CW - SSB MONITOR

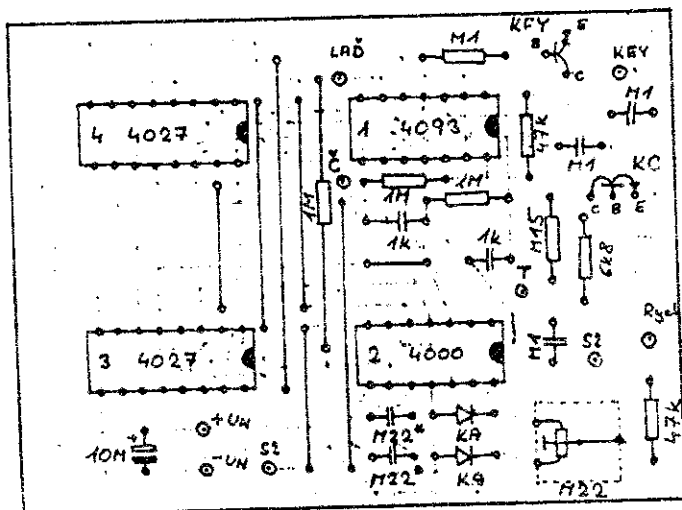


ELEKTRONICKÝ KLÍČ

PLOSNÝ SPOJ

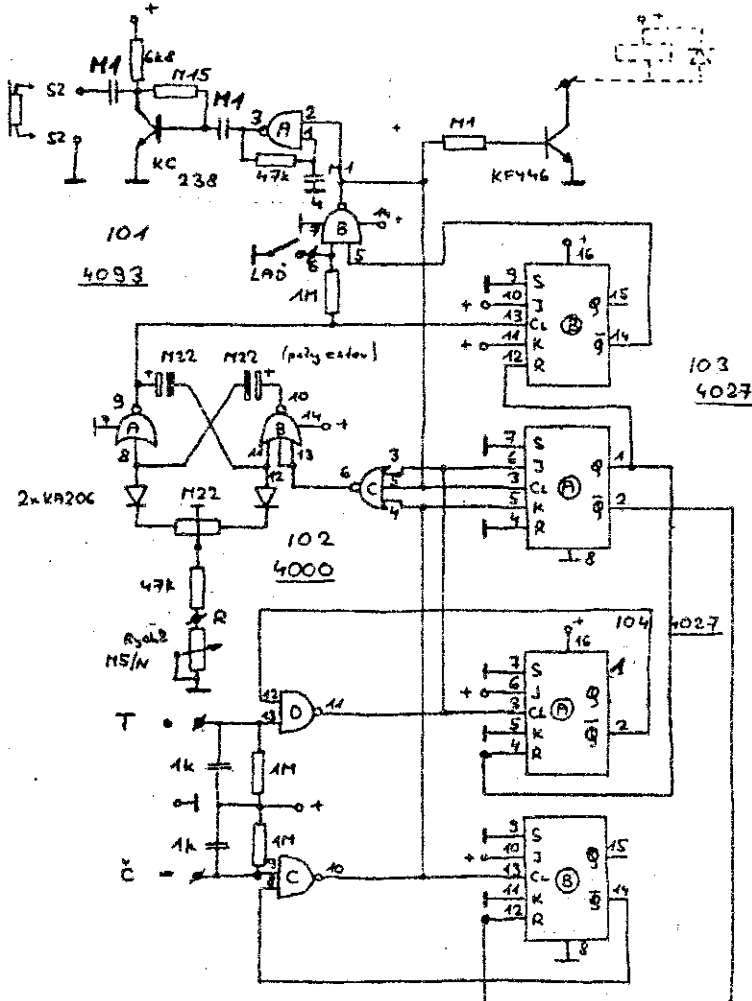


ROZMIESTENÍ SOUČÁSTÍ



ELEKTRONICKÝ KLÍČ

Schéma zapojení

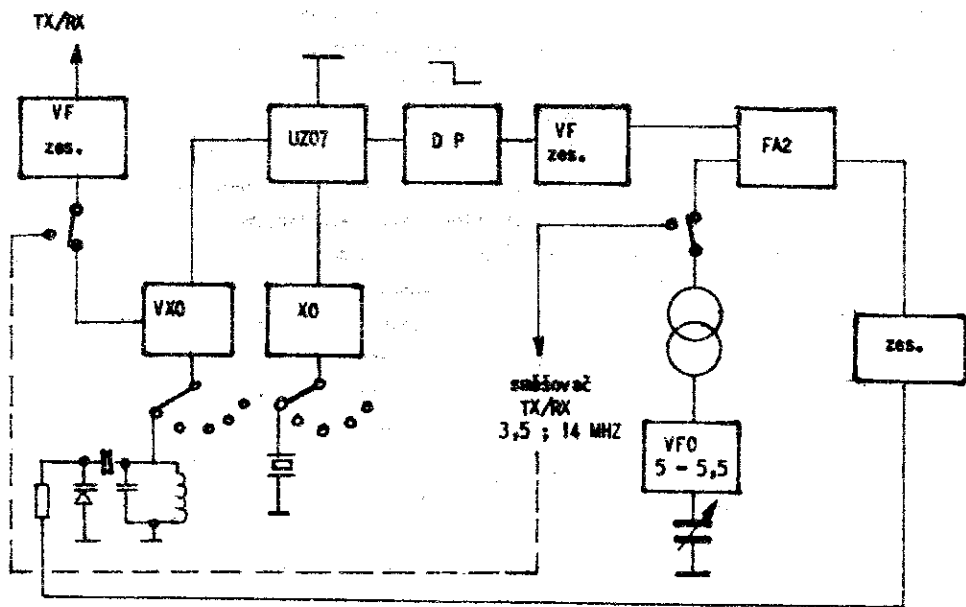


Stabilní VFO na KV pásmá, CK2BUX

V sedmém čísle QJ byl uveřejněn zajímavý příspěvek- Směšovač VFO od OKI DQC . Také já jsem se s problematikou stabilních VFO zabýval, ale vždy jsem na pásmu objevoval nežádoucí hvízdy,které vznikaly buď nevhodnou volbou kmitočtového plánu,nebo nevhodné krystaly. Po těchto zkušenostech jsem zvolil zapojení obvykle známé z pásem VKV - fázový závěs.Využil jsem dávno odložený FA2,publikovaný kdysi v RZ. V UZ 07 jsem používal krystalové oscilátory s vlastními VFO, které se lze pomocí variátorů z FA2 . Oba typy oscilátorů lze volit s jedním polovodičem a přepínat rezonanční obvody (krystaly) mechanickým nebo diodovým přepínačem. Je lépe pro každý kmitočet spínat celou jednotku, jak je uvedeno ve zmíněném příspěvku od OKI DQC.Je důležité použít za směšovačem UZ07 dojnofrekvenční filtr , který vkládáme za tranzistorový koncový stupeň KV vysílače pro 7 MHz. Za filtr použijeme běžný zesilovač pro zvýšení úrovně směšovaného kmitočtu. Další zesilovače jsou ze vstupem řídicího napětí z fázového závěsu a na výstupu VFO pro TX a RX . Pro nedostatek vhodných krystalů, pásmá 10;18; 24 MHz nezačinají na začátku stupnice, ale při použití digitální stupnice tento nedostatek není podstatný. Pro frekvence 3,5 a 14 MHz fázový závěs nemí zapnut a vživá se pouze VFO . Jsouli vhodné krystaly, je možné jich použít i na tyto kmitočty a složité přepínání tím odpadá. Za VFO 5-5,5 MHz je nutné použít buď pásmový filtr , nebo dojnofr. propust.Na místo UZ07 a FA2 můžeme zapojit jakékoli jiné vhodné obvody .

frekv.	krystal	VFO	MF	VXO
1,8	5,800	5,0 - 5,5	9,000	10,800
3,5	-	5,5 - 5,0	9,000	-
7,0	11,000	5,0 - 5,5	9,000	16,000
14	-	5,0 - 5,5	9,000	-
21	25,000	5,0 - 5,5	9,000	30,000
28,0	14,0000 *	5,0 - 5,5	9,000	19,000
28,5	14,5000	5,0 - 5,5	9,000	19,500
10,1	14,000	5,0 - 5,5	9,000	19,000
18	21,800	5,0 - 5,5	9,000	26,800
24	10,500	5,0 - 5,5	9,000	15,500

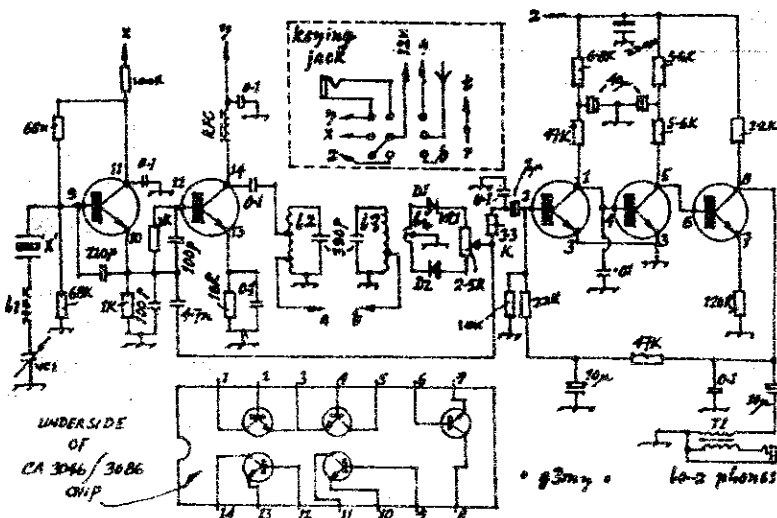
Krystal 14,000 x je třeba trochu najedovat - jeho druhé harmonické přeniká do začátku pásm .



Transceiver UNICRIP

G3MY, Sprat 54

Jediný IC CA 3046, při 12 V 55mA , na 80m 300mW. IC nabízí GES.



NÍZKOFREKVĚNČNÍ ČÁST PŘIJÍMAČE SSB A CW SIGNÁLŮ

Ing. Pavel Janák, V Tějnecku 604, Chrudim II 537 01 - OK 1 DNZ

Příspěvek popisuje již dávno nevřenou jednotku Jaroslava Klátila OK ZJI, kterou jsem pouze modifikoval na základě výsledků měření. Cílem tohoto článku je spíše seznámit radioamatérskou veřejnost s naměřenými parametry a schopnostmi pasivních filtrů v radioamatérských zařízeních.

Nízkovfrekvenční část přijímače SSB a CW signálů bývá v radioamatérských konstrukcích dosti často podceňována. Často bývá řešena pouze nf zesilovačem v diskrétním či integrovaném provedení, kombinovaném jednoduchou RC propustí. Vlastnosti přijímače lze zlepšit kvalitní dolní propustí při příjmu SSB signálu a pásmovou propustí při příjmu telegrafních signálů. V obou případech se zlepší selektivita a v případě zařazení CW filtru se zlepší i citlivost oproti příjmu signálu SSB přes dolní propust. Příspěvek zvětšení citlivosti vyjádřený v dB je:

$$\Delta Z = 10 \log (B_{SSB}/B_{CW}) \quad [dB; Hz/Hz] \quad (1)$$

kde: B_{SSB} - šířka pásma dolní propusti SSB
 B_{CW} - šířka pásma CW filtru

Výše zmíněné kmitočtově selektivní členy můžeme realizovat aktivně nebo pomocí klasických LC filtrů. Aktivní filtry, realizované pomocí operačních zesilovačů, tranzistorů či účelových integrovaných obvodů jsou konstrukčně jednoduché a snadno nastavitelné. Mezi výhody patří realizace velmi úzké šířky pásma, možnost jednoduché změny šířky pásma, přesladitelnosti,... atd. Aktivní filtry lze realizovat v miniaturním provedení (SMO). Jejich konečný útlum v nepropustné oblasti amplitudové charakteristiky však nemůže konkurovat klasickým LC filtrům. (tzv. stop band) Realizace LC filtrů v nízkovfrekvenční oblasti je relativně náročnější vzhledem k indukčnostem, které dosahují řádu až stovek mH a vzhledem k provedením cívek. Rovněž je nutná kompenzace vloženého útlumu pomocí aktivního stupně a širokopásmové reálné impedanční přizpůsobení vstupu a výstupu LC filtru. Amplitudovou charakteristiku nelze jednoduše měnit a je nutno ji navrhnut dle subjektivního požadavku operátora. (to se týká zejména středního kmitočtu CW filtru) Indukčnosti jsou realizovány nejčastěji pomocí hrničkových feritových jader. Vzniká zde velké nebezpečí indukce cizích rušivých polí do cívky filtru. (například indukce mg. pole 50Hz ze silového transformátoru, příjem je pak znehodnocován superponovanou rušivou složkou brumu). Proto je nutné provést magnetické stínění. LC filtry s úzkou šířkou pásma nelze realizovat jako v případě aktivních filtrů. (<100Hz) Tato vlastnost je dána konečnými hodnotami činitele jakosti Q. LC filtry však vynikají velkou strmostí boků, která je dána stupněm filtru n a Q. Stop band dosahuje vyšších hodnot než u aktivních filtrů a je obecně dán geometrickým rozmístěním součástí, vzájemnými kapacitními a induktivními vazbami, zemnimi spoji,... atd. LC filtry mají též výhodnější kmitočtový průběh fázové charakteristiky. Z tohoto hlediska jsou aktivní filtry horší, což se projevuje slabým "zvoněním" CW filtru. Osobně dávám přednost klasickým filtrům.

Na základě svých zkušeností uvádím tyto požadavky na nf CW, SSB filtr, vhodný pro provoz v silně obsazených závodech a při DX provozu:

SSB filtr

SSB filtr je vytvořen dolní propustí. Pomocí vazebních kondenzátorů, blokování emitorů aktívnych stupňů a volbou pasivních součástí u nf zesilovače lze ovlivnit přenosovou charakteristiku na kmitočtech < 300Hz. Lze tak potlačit superponovanou rušivou složku zvlnění napájecího napětí 50Hz (100Hz) obsaženou ve vstupním nf signálu až o 45dB (25dB). Tímto způsobem vytvoříme pásmovou propust se strmostí vstupné hrany charakteristiky 19dB/oct (50-120Hz) a se strmostí sestupné hrany -45.5dB. Konečný útlum v nepropustné části amplitudové charakteristiky vlastní dolní propusti je větší než 75dB. Konečný útlum na kmitočtech pod 300Hz dosahuje 64dB. Šířka přenášeného pásma musí souhlasit se šířkou pásma krystalového filtru mezi frekvenčního zesilovače. Používáme-li PKF 9MHz 4Q(8Q)/2.4 o šířce pásma 2.4KHz a minimální přenášený kmitočet spektra řeči je 300Hz potom kmitočet zlomu dolní propusti je 2700Hz. Zvlnění v propustném pásmu by mělo být menší než 1dB. SSB filtr lze použít i do mikrofonního vstupu vysílače.

CW filtr

Požadavky jsou subjektivního charakteru a záleží na operátorovi. Osobně ladím telegrafní signály na vyšší záZNĚJ asi 1KHz. Ostrý telegrafní filtr by měl mít šířku pásma $B(-3) = 150\text{Hz}$ a činitel tvaru $B(-6)/B(-60) \leq 5$. Konečný útlum v nepropustné části amplitudové charakteristiky by měl být větší než 70dB.

Požadavky na celou nf část přijímače

Není-li vstup nf jednotky vybuzen, pouze zakončen odporem, nahrazujícím výstupní impedanci detektoru, musí se z reproduktoru ozývat sotva slyšitelný šum. Regulátor hlasitosti je nastaven na maximum. Při přechodu z CW filtru na SSB filtr se nesmí změnit výkon na výstupu nf zesilovače. (max. ± 0.2dB) Některé TCUR zařazením CW filtru zanesou slyšitelný vložný útlum. (TCUR OTAVA) Výstuoni výkon 3W s maximálním zkreslením 4 % považuji za plně dostačujici. Citlivost nf dílu pro max. vybuzení závisí na výstupním napětí produktu detektoru a na kalkulaci rizika jednotlivých stupňů přijímače. Osobně používám na místo produktu detektoru dvojitě vyvážený diodový směšovač standartní úrovni, který je schopen odevzdat -16dBm (35.5mV/50Ω) se zkreslením 1 % (f=1KHz) detekovaného signálu. Nf zesilovač v současné době se řeší nejčastěji pomocí integrovaných obvodů.

Popis zapojení

Signál ze vstupu IN přichází na paralelně zapojené vstupy emitorových sledovačů VT3 (SSB) a VT4 (CW), které zajíšťují impedanční přizpůsobení vstupu SSB propusti a CW filtru. R4 tvoří spolu se vstupní impedancí zesilovače s VT2 impedanci zakončení propusti. CW filtr je analogicky zakončen R25 a vstupní zesilovače s VT1. Obě zmíněné zesilovače mají neblokovovanou část emitorového odporu RP1 a R32.

Pomoci RP1 nastavime stejný výkon CW signálu na výstupu jednotky při poslechu přes SSB propust jako v případě poslechu přes CW filtr. Obvod s V01, R22, C38 R23; respektive s V02 R21, C39 R24 přivede kladné napěti na emitor VT1 resp. VT2 a způsobi tak uravření obou nf cest. Blokování je ovládáno napětím + Utx s patřičnou časovou konstantou, zamezující "lupnutí" při přechodu Rx->Tx; Tx->Rx. Integrovaný obvod MBA 810DAS pracuje v katalogovém zapojení, pouze jsou upraveny hodnoty součástek tak, aby bylo přenášeno pouze hovorové spektrum. Úroveň připoslechu se nastavuje velikostí C40. Přepínání filtrů se děje stejnosměrným napájecím napětím - zesilovacích stupňů VT3, VT2 (SSB) nebo VT4, VT1 (CW). Hodnoty vazebních C a blokovacích C ve větví SSB filtru jsou voleny tak, aby realizovaly horní propust. (viz příloha)

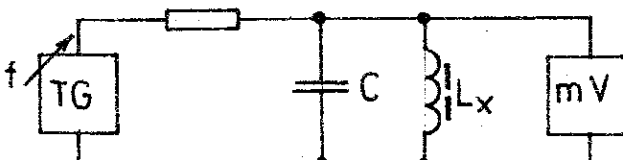
Praktická realizace

Celá jednotka je postavena na plošném spoji o rozměrech 137.5 x 75mm a je umístěna v krabičce z pocípaného plechu, která slouží zároveň jako chladič integrovaného obvodu. Odvod tepla je zajištěn pomocí distančních sloupků. Vývody IN, REPRODUKTOR, PRÍPOSLECH, BLOKOVÁNÍ Ussb, Ucw, +12V jsou vyvedeny přes průchodkové kondenzátory in0. L1+L5 jsou namotány na feritových hrničkových jádřech. Ide je nutné se zastavit u nastavování indukčnosti na jmenovitou hodnotu. Feritová jádra vykazují značný rozptyl v relativní permeabilitě [2]: Hzr Ur = 2200 ± 25%; Hzr Ur = 1200 ± 30% - 20%. Volbou páru se snažíme nastavit indukčnost na jmenovitou hodnotu popřípadě o něco větší. Velice jemným broušením středního sloupu pomocí lapovacího papíru pak indukčnost zmenšujeme na jmenovitou hodnotu. Některé RLC můstky mají poměrně vysokou hodnotu procházejícího proudu a při měření můžeme cívku přesystit a naměříme zcela nesmyslné hodnoty. Tolerance kondenzátorů ve filtroch je ± 5%.

Hodnotu indukčnosti můžeme též měřit rezonanční metodou:

$$Lx = 1/2\pi fC \quad [\text{H}; \text{Hz}; \text{F}]$$

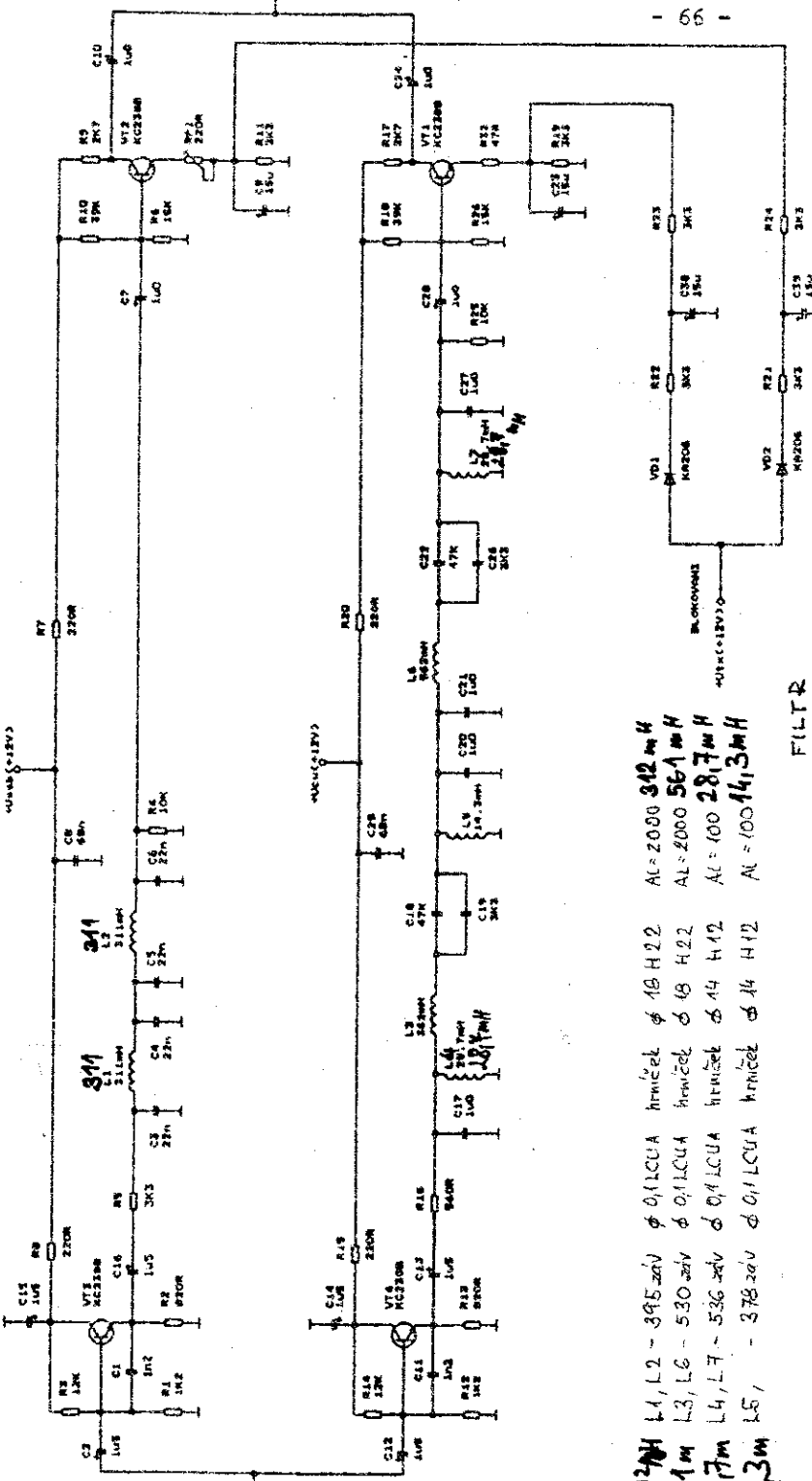
1M



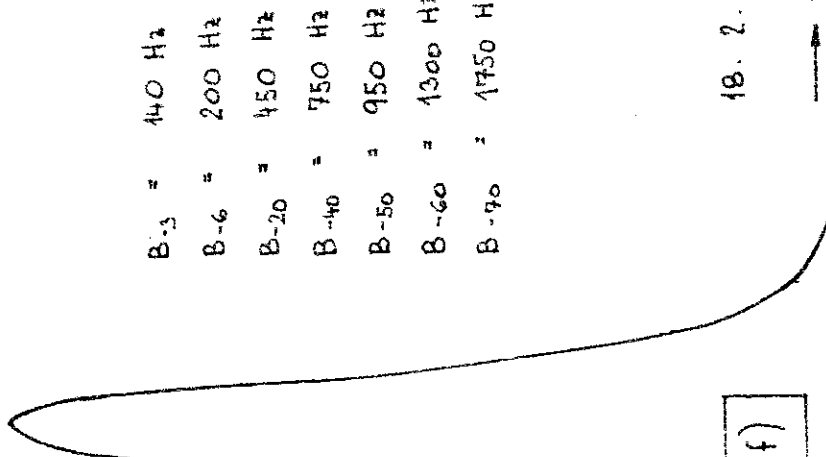
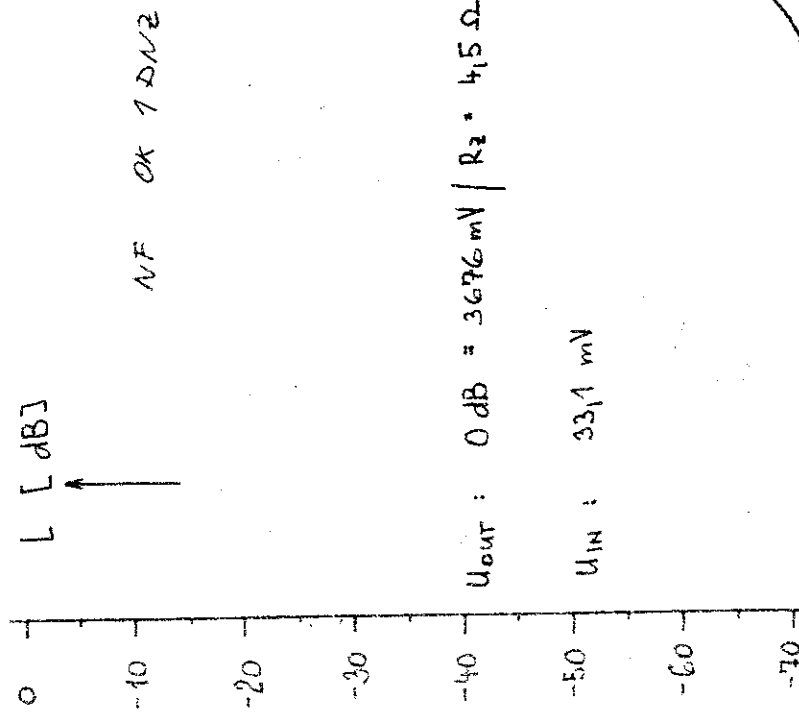
Kondenzátor C přesně změříme. Proladujeme tónovým generátorem až nalezneme rezonanci (max výchylka nf aV metru). Cívky jsou uloženy v upevnovací armatuře s upínací sponkou a slepeny, aby se i nemohla měnit. Lze též použít mosazný šroub přitahující cívku k ploši spoji přes pryž. podložky. V tomto případě je nutné měřit hodnotu L přišroubované indukčnosti: tlakem lze jemných mezích dostavit (pozor na prasknutí). Šroub zakápneme barvou a poloviny jáder natřeme lepidlem. Použijeme-li jiné ferit. jádro potom:

$$L = A_r \times H^2 \quad N = f(L/AL) \quad [-; \text{nH}; \text{nH}]$$

Cívky byly nastaveny s přesnosti -3.7% +0%



ÚTLOMOVÁ CHARAKTERISTIKA CW FILTRU



TECHNICKÉ ÚDAJE

Citlivost pro vybuzeni 3,5W: 33,1 mV (CW, SSB)

Zkreslení $f = 1\text{KHz}$ Pout $\approx 3,5\text{W} ; 2-143$ (SSB)

3. 302 (CH)

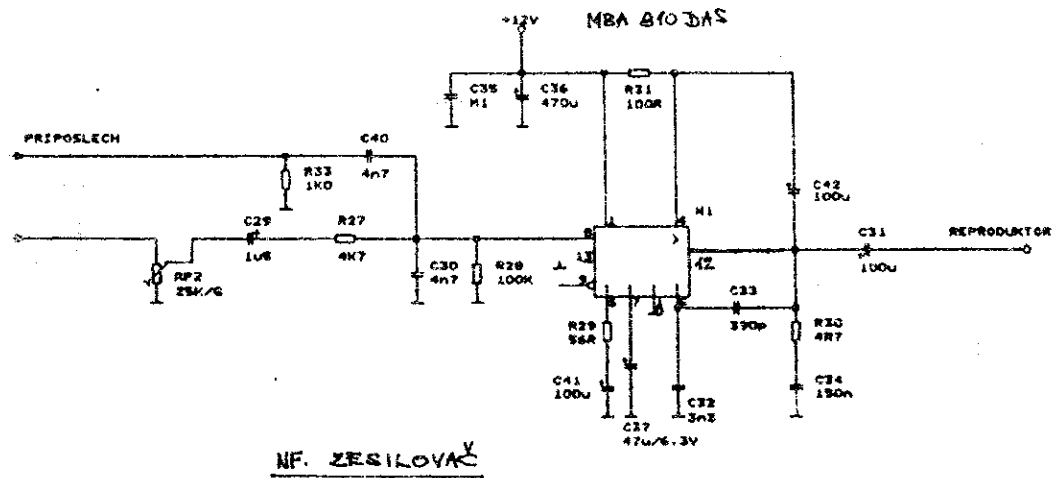
81. řekování na cestu: =70.1 (SSB)

≈ 70.1 (33)

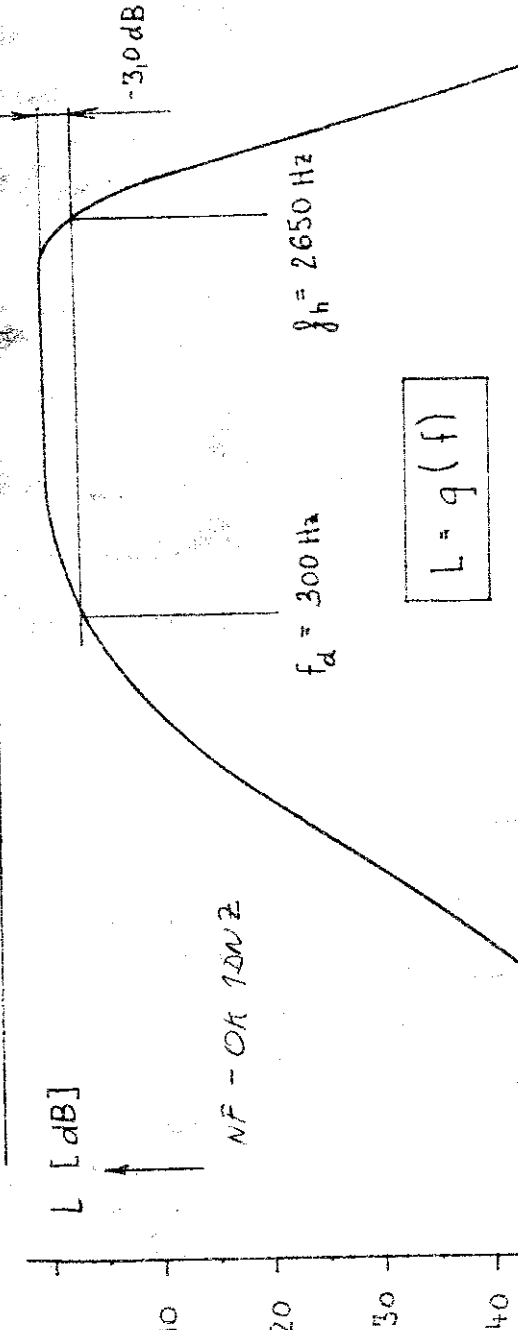
Realizovanou jednotkou jsem doplnil TCVR OTAVA 79. Při závodu nebylo vůbec možné pracovat telegrafním provozem v pásmu 14MHz(nevyhovující selektivita). Při zapnutí CW filtru bylo umožněno mnohem lépe rozlišit jednotlivé CW stanice a navazovat s nimi spojení. Při vysílání CQ je nutné CW filtr vyřadit a zapnout jej až po zavolání určité stanice a dodlouhém RITu na zázněj CW signálu 1000Hz. Při poslechu SSB signálu často ruší SSB stanice vedle žádané a projevuje se "chrochtání". Tyto stanice lze touto propustí potlačit.

V současné době doporučuji inovovat perspektivnějším typem integrovaného obvodu.

- [1] Sborník přednášek - NOVÉ MĚSTO NA MORAVĚ 1984
[2] FONOX výrobní program 1987 Prameř Šumperk, závody práškové metalurgie



UTLUMOVA CHARAKTERISTIKA SSB PROPUSTI



- 69 -

$$\text{U}_{\text{out}} : 0 \text{ dB} = 3552 \text{ mV} / R_2 = 4,5 \Omega \quad f = 1 \text{ kHz}$$

$$U_{\text{out}} : 33,1 \text{ mV}$$

48. 2. 1992



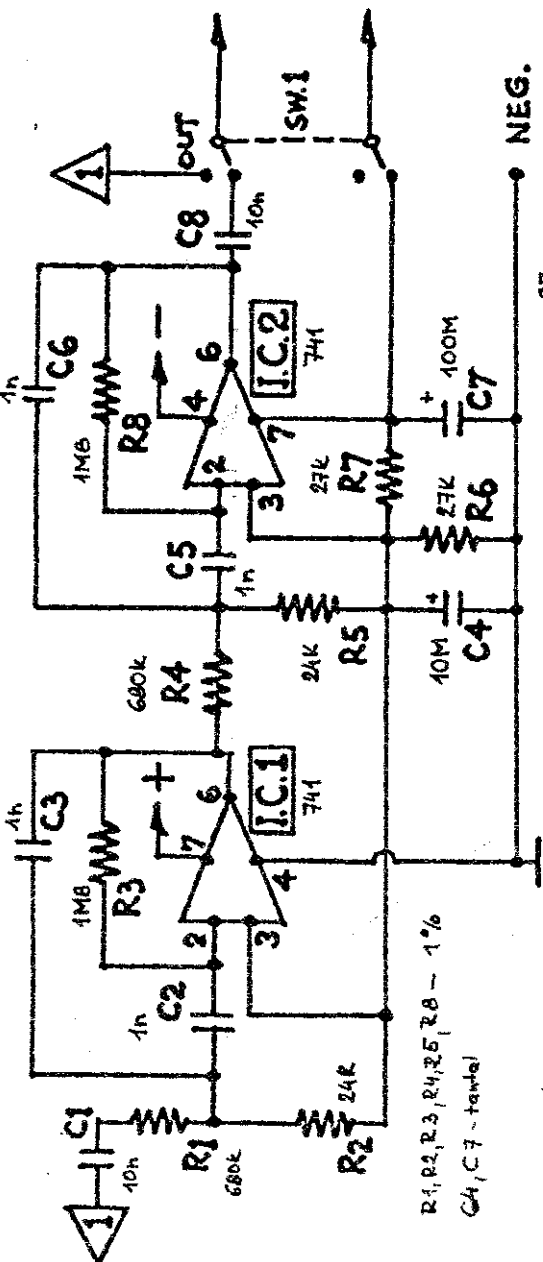
AN ACTIVE FILTER by GM3OXX

- 70 -

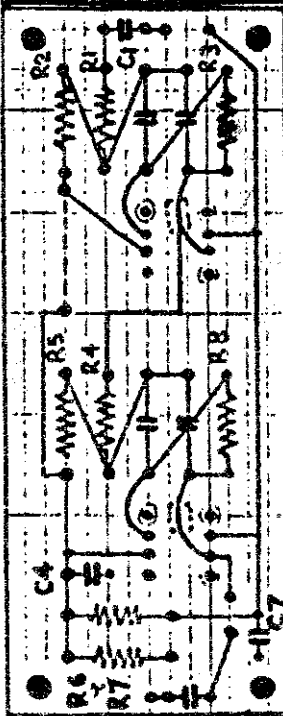
Přetištěno z G - QRP handbook 1983

35

pos
12 VOLTS

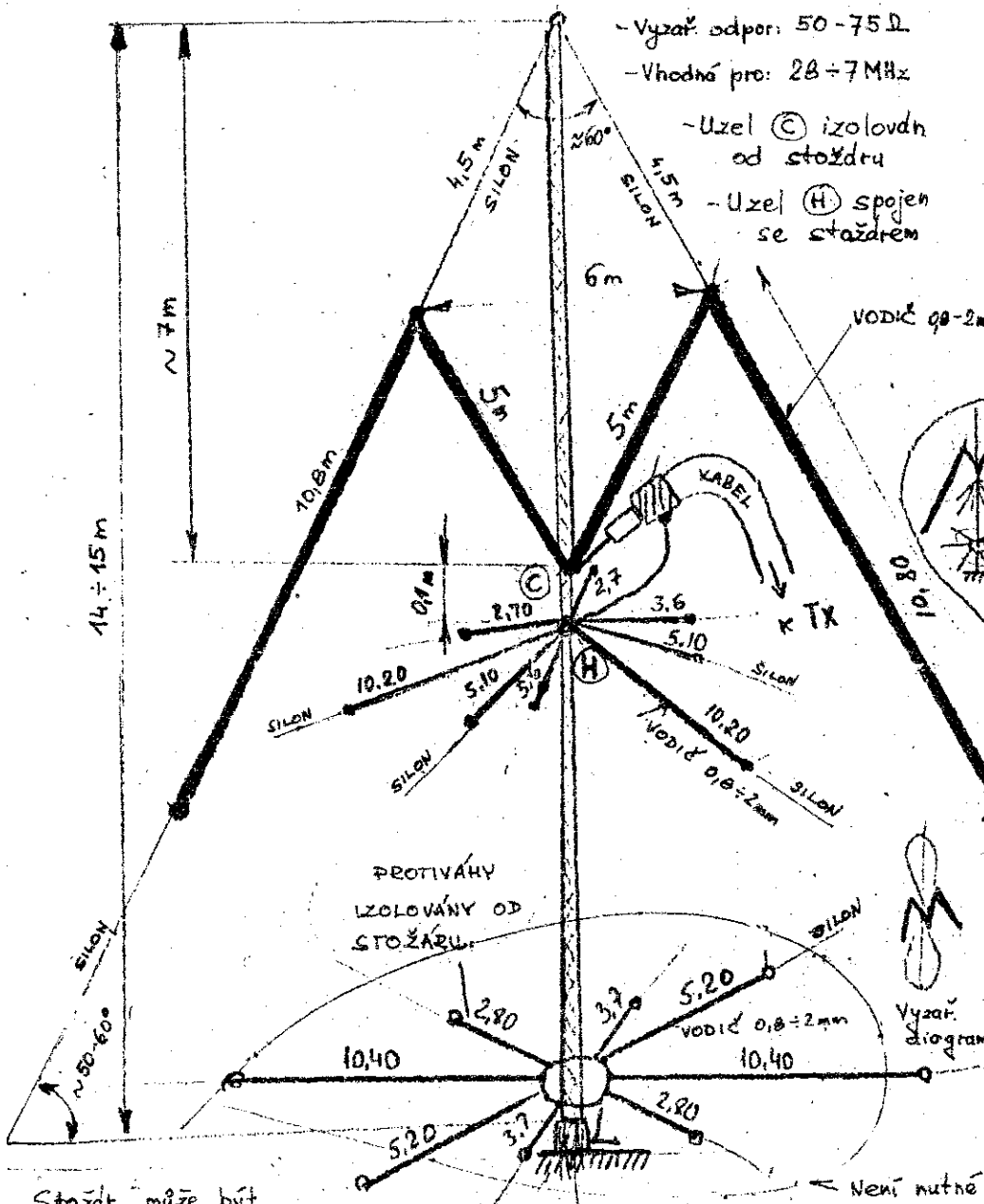


STRANA DOKLÁDÁTEĽ



ANTENA UM8MK

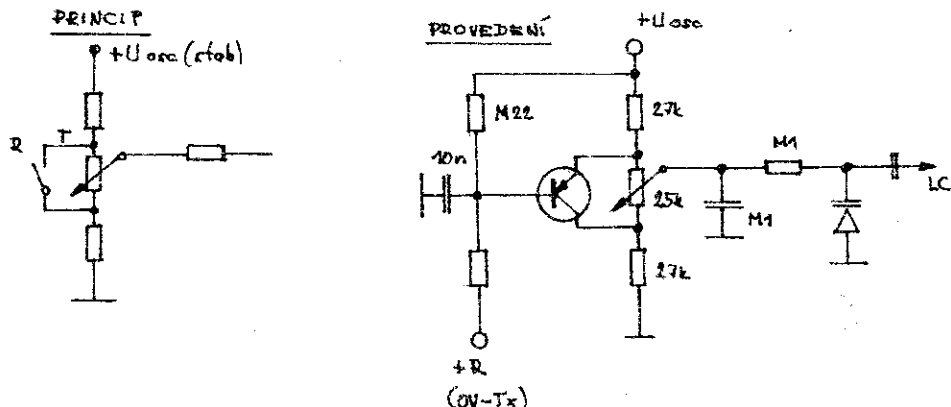
zdroj: OK2PEX



Stožár může být
i kovový

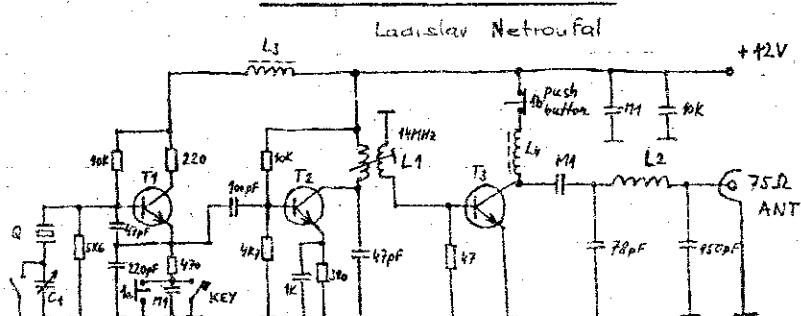
Nastavování se provádí změnou vzdálenosti (C) (H) nebo elementy
Při zvětšení všech rozměrů pracuje v pásmu 160 ÷ 10 m.

Zapojení RITu. Ing Jan Šádek, OK2BND



Jde o maličkost z dávné doby, kterou jsem zabudoval do ext. VFO pro pásmo 7 MHz. Princip je v tom, že při zkratování potenciometru P má zbývající dělič R 1, R 2 pevné předpětí a při rozpojení kontaktů se vlastně na obě strany roztáhne proměnný díl napětí a umožnuje rozložování, v mém případě ± asi 3 kHz. Skutečné provedení nepoužívá spinač kontakt, ale tranzistor, a protože jsem si do VFO přivedl jen + R 12V / při vys. 0 V / tak tam mám tranzistor PNP. Jde to samozřejmě i s NPN. Připouštím, že při vysílání může dojít k nepatrnému přeladování / podle saturačního napětí použitého tranzistoru /, ale v praxi to není poznat.

OK2PBG QRP TX 14MHz - CW



C1 50 - 250 pF (BSY66) L1 2,8 μH - 30 turns φ 0,3 mm / dia φ 5 mm (+ core)
 $\frac{1}{2} \times 1400 \text{ kHz}$ link = 5 turns φ 0,3 mm over L1

Q = 7030 KHz, 1400 kHz L2 0,75 μH

T1, T2 KSY 628, BSY62 L3, L4 ferritic stick φ 2 mm; 50 turns φ 0,3 mm

T3 BSY 34 (1W out), KSY34 Antena: GP 14 + 20 MHz

Literatura: OK15/91

ASO s. JA, W, W7, UAG, UGG, 4K4, TP, ZSG, 943, 944 a VK5FE (QRP SWI)

CELIKEM 29.10.91

Pavol Jasmernegg, OK3WBM:

Pomôcka pre smerovanie antén, vyžarujúcich malý výkon.

Už dlhšiu dobu koketujem s myšlienkou zverejniť širšej rádioamatérskej verejnosti nápad, v ktorom ponúkam ako praktickú pomôcku usporiadanie Rádioamatérského zemepisu. Mám na mysli najmä mládež, ktorá bola do nedávna "krmená" nezmyselným množstvom tzv. odborných príručiek, vydávaných najmä za účelom preukádzania vysokej aktivity. Nuž a dnes, ako keby naschvál, nedostanete nikde nič kúpiť. V žiednom kníhkupectve, v žiednom antikvariáte a ak, tak napr. vysokohodnotnú knihu o anténoch od vynikajúceho autora v hodnote vyše tisíc korún, na našu menu!

Zastávam názor, že i tie najzložitejšie veci sa dejú podať tak jednoducho, že im musí porozumieť i školák.

Vítam teda výzvu v "OK QRP INFO" č.9 z leta 1992 a ponúkam do Zborníka QRP 1993 i ja svoj skromný príspevok, alebo snáď návod na zhotovenie pomôcky pre smerovanie antén najmä vo vyšších pásmach, či už za účelom vstupu do vzdialeného prevádzca, alebo i v prevádzke SSB, či CW. Ja túto pomôcku používam jednak pre miestne účely, bavím sa pomocou jej i pri nadvyezovaní "DX" spojení na vzdialené prevádzca v pásme 2m, no osvedčila sa mi i pri normálnom prevádzkovani rádiostanice R2CW.

Pristúpim teda k popisu, ako doporučovanú pomôcku možno vyhotoviť jednoduchým spôsobom, "na kolene", bez použitia komplikovaných pomôčok. Svojho času sa mi podarilo bez použitia PA a komplikovanej, smerovej antény urobiť spojenie medzi našim bratislavským prevádzcačom OKØV s najvzdialenejšími stanicami Západoslovenského kraja. To nie je ovšem žiadен zázrak. Potom som použil tú istú anténu 5/8 Labda /autor P.Novák:Obv.techn. kmit.mod. III.diel,str.72, obr.40/ a TCVR MO2 a nalaďil som sa na frekvenciu prevádzcača OKØC, ktorý je, ako ukazuje pohľad na mapu "dost" vzdialenosť od môjho QTH v Bratislave. Tak som 9.XI.88 o 13,03 UTC nadvyezal spojenie so stanicou OK5ERA v Příbrame.

Toto a viacero ďalších experimentov mi pripomienulo tvorbu rôznych grafov-zemských profilov, ktoré sa používali pri zistovaní možnosti šírenia VKV rozhlasu, alebo televízneho signálu. Teda zasa nič nového, prevratného, iba v tom, že rádioamatér je na tom tak, ako vráví perekadlo "Človeče pomož si, i pán Bůh ti pomůže!".

Chceme teda vedieť, kam sa ešte môže dostať signál z OKÚV a naopak. Ako získať aspoň teoretické pribl. informácie? Treba vziať priesvitný, alebo pauzovací papier, urobiť naň pravouhlý kríž, označiť svetovými stranami /podľa zvyklostí t.j. sever hore/, zo stredu kríža urobiť kružnicu a stredom kríža položiť na podľa možnosti presnejšiu mapu, na miesto, kde sa nachádza OKÚV, t.j. vrch Kamzík nad Bratislavou.

O presnejšej mape hovorím preto, lebo donedávna boli vydávané mapy, ktoré mali už i pre nás rádioamatérov, neprijemne vzdialenosťné, ba i smerové odchylky. Neviem, prečo to tak bolo, možno s ohľadom na vždy zvýšenú bezpečnosť štátu, hi!

Pauzovací papier s narysovaným obrazcom natočíme, resp. zrovnané so svetovými stranami mapy, vezmeme pravítko a narýsujeme zo stredu nášho "kruhového grafu" priamky do smerov, ktoré nás interesujú.

To bola prvá časť nášho snaženia. Teraz nasleduje popis terénu jednotlivých smerov. Ten už nie veľkým problémom, pretože keď nás zaujíma napr. smer na juhovýchod od Bratislavu /maďarský prevádzkač HG2RVA/ tak čítame pri položenom pravítku na priemke napr. Bratislava-Kamzík do Komárna, že ide o rovinu. Uvedený prevádzkač HG na vrchu Kőrishegy nemá takisto žiadne prekážky, dokonca je umiestnený v nadmorskej výške 724 m a takisto bez terénnych prekážok sa nachádza mesto Győr. Na druhej strane smer Bratislava-Štúrovo a Esztergom /Ostrihom/ nám ukáže, že sú v ceste vrchy Kurbát nadm.v. 250 m a za obcou Gbelce nadm.v. 251. Samotný Esztergom leží v nadm.v. 161 m. Tieto údaje nám pri troche "fantázie" poskytnú údaje, ktoré nás môžu účinne orientovať.

Nuž s týmto spôsobom si do nášho miniarhívumu vyznačíme všetky smery, ktoré nás zaujímajú. Viď obr. 1 v prílohe.

Pre ilustráciu dávam k nahľiednutiu kruhový graf smerov z prevádzkača OKÚH, ktorý je umiestnený na vrchu Děvín, viď obr. 2

STŘED - BRATISLAVA - KAHZÍK a.v. 350 m

LOC - JN 88 NE

ZLÍN - n.v. 234m - v cestě leží podél Ma-
lych a Bílých Karpat - Vysoká 755 m.n.m.
TRENČÍN - v cestě vrch Jasovník 574 m
KRÉNÁ - n.v. 1575 m, trasa signalu stříši vrch
HORNÝNOV 893 m

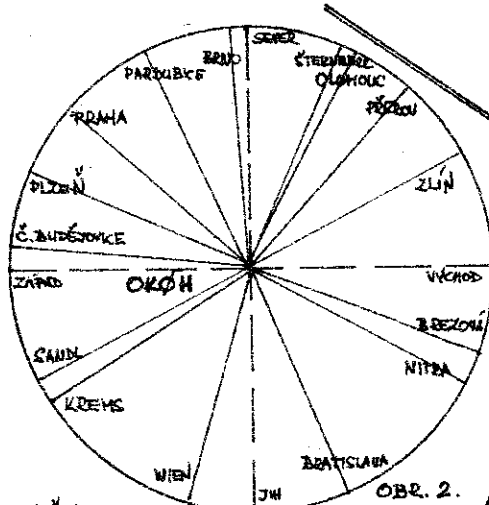
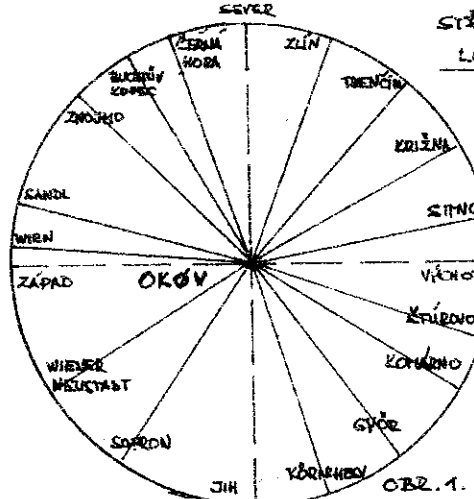
SITNO - n.v. 1040 m, v cestě NITRA 190 m.n.m.
ŠTĚRBOV - n.v. 161 m, Chrbát 260 m, Gbele 251 m
KOMÁRNO - n.v. 112 m - bez problémů
GYŐR - n.v. 448 m - bez problémů

KÓRISHEGY - 724 m
SOPRON - n.v. 212 m, v cestě pobř. Hundeshelm
WIENER NEUSTADT - n.v. 265 m, v cestě pobř. Hundes-
heim - Sonnenberg 488 m
WIEN - n.v. 171 m - v cestě Dřev. Kobylia 511 m
SANDL - n.v. 722 m - v cestě Dřev. Kobylia a Kloster-
neuburg 439 m

ZNOJMO - n.v. 289 m - ve středu trasy Bucberg 922 m
BUCKÝ KOPEC - n.v. 800 m - v trase Tálešská trhý 550 m
ČERÁ HORA - n.v. 1299 m - v trase Sýkor 702 m

ŠTERNBERK - a.v. 291 - v trase Židlochovice les
OLDHOUC - n.v. 244 m - viz výjev

PŘEROV - n.v. 212 m - v trase Židlochovice les 325 m
ZLÍN - n.v. 234 m - v trase Babylon 418 m
BREZINA - n.v. 585 m - v cestě Šenice 208 m
NITRA - n.v. 592 m - v cestě Malé Karpaty 500 m
BRATISLAVA - n.v. 250 m - bez problémů, v některých
zádach signal nečítat
WIEN - n.v. 171 m - v cestě Galgenberg 425 m
KREMS - a.v. 221 m - v cestě Hochfeld 264 m
SANDL - n.v. 722 m - v cestě Buckberg 416 m
Č. BUDĚJOVICE - 394 m - v cestě Euwenberg 619 m



STŘED:

VRCH DĚVÍN a.v. 550 m

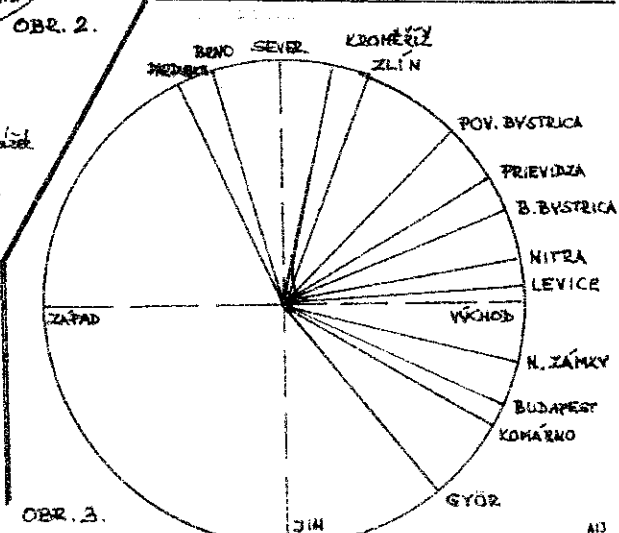
LOC: JN 88 HU

PLZEŇ - n.v. 344 m - v cestě mezi přeplázkou
Janovice 825 m, Štipedováčka trhý.

PRAGA - n.v. 192 m - cesta signalu proti
Českobudějovická a Středočešská
výchovna

PARDUBICE - n.v. 223 m - v pravém okolí
v cestě Královská řeka, Žďárské
v rohy 822 m

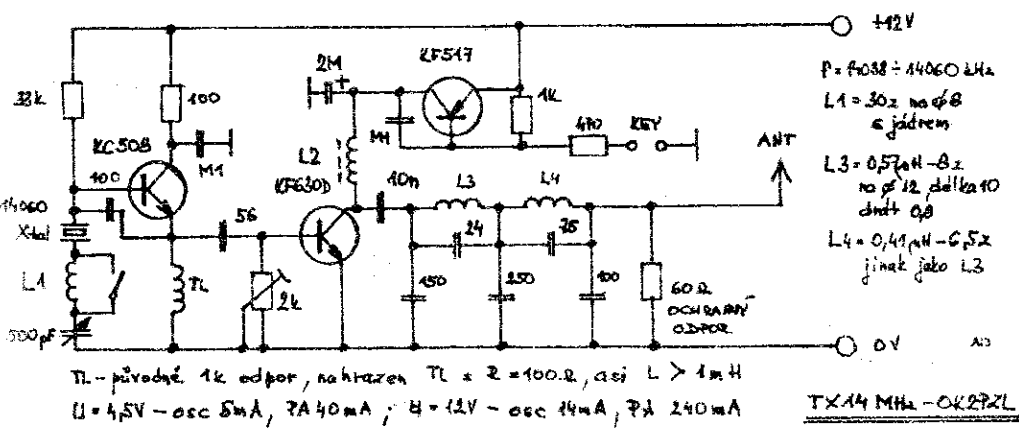
BRNO - n.v. 227 m - v cestě jen kota 305
u Židlochovic



OBR. 3.

Problémom, ktorý žiadal pred dávnymi rokmi postihol i mňa, je praktické použitie kompasu, alebo buzoly v železobetónevej "džungli", kde bývam. To ma donútilo urobiť si popísaným spôsobom pomôcku, ktorú som používal, pokým sa mi potrebné údaje nestali podvedomými. Vzhľadom k tomu, že zhruba smerom na juhozápad mám v pomerne nie veľkej vzdialosti kopec zvaný Dubravská hlsica a za ňou priamo nad obcou Devín na sútoku Dunaja a Moravy kopiec Kobyla, ostal mi pre moje "operovanie" len priestor smerom na juhovýchod, severovýchod a tuná mi je v ceste zasa už spomínaný vrch Kamzík, ktorý je z môjho QTH vzdialený vzdúšnou čiarou cca 2 km. Pomôcku, vid obr. 3 používam tak, že ju "západnou" hranou priložím na vychievajúci panel balkóna a potom so jednoducho orientujem kde mi je treba. Podobnú pomôcku som si zhotovil i pre použitie v rámci mesta, pretože dosť často komunikujem s amatérmi, ktorí bývajú za Dunajom v Petrželke, žiadal taktiež v železobetónovom lese.

Záverom dovolte poznamenať, že som si vedomý toho, že nedávam k dispozícii nič svetoborného. Skúsení, starí rádioamatéri istotne najdú na tomto slabiny, zdokonalia túto "metódu" a mladí-mládež bude mať možnosť aspoň sa pohrať vo svojich školských vedomostiah zemepisu i z tejto strany. Výhody a nevýhody tejto pomôcky nechávam na posúdenie vám, vážené kolegine a kolegovia. Svoj názor na prácu v oblasti VKV som vyjadril v žiade už zrušenom RZ č. 6/89 a svoj názor na prácu s mládežou uvádzam v AR konštr. príloha z decembra 90.



Pavol Jamernegg, OK3WBM:

A ešte dve antény ...

=====

Slovanská kultúra vyniká zvlášť priliehavými porekadlami. Napríklad: "Bída naučila Delibora housti", u nás na slovensko-moravskom pohraničí to je od nepamäti "Človječe pomož si aj Pánbuťi pomože" a použíjam pre svoj účel ešte jedno, azda nie veľmi priliehavé "Kto nemá v hlave má v päťach". Vyberte si, čo sa vám bude hodit, alebo páčiť. Tieto tri porekdlá sa dajú zhrnúť do záveru "...udellej to tak, co šuplík dal..." .

Návodov na antény bolo uverejnených veľmi veľa. Ruku na srdce, keď ideme niektorý vybrať už pre praktické vyhotovenie, vždy nám niečo k jeho realizácii chýba. A obstarat to, nie je pre amatéra také jednoduché. Zvlášť v dnešných dobách, kedy my skorej narodení sme tou drahotou škovaní a vy mladší veľmi udivení. A kupovať novú anténu, trebárs v pevnnej viere, že je vynikajúca a "tahá" neprichádza do úvahy, pretože predstavuje položku, ktorá cítelne v domácom rozpočte chýba. Žiaľ zatiaľ nie ešte medzi nami takto bohatých ludí, ako naši predstavitelia predpokladali -hi!

Nuž takéto skutočnosti mi priviedli k úvahám, ktoré mi poskytli myšlienku na konštrukciu dvoch typov antén, ovšem teoreticky nezdrobnených, ale fungujúcich. Vyhotovil som ich jednak z toho, čo som našiel vo svojich dávno odložených "zásobách" a potom pri kúpe "žehličího prkna".

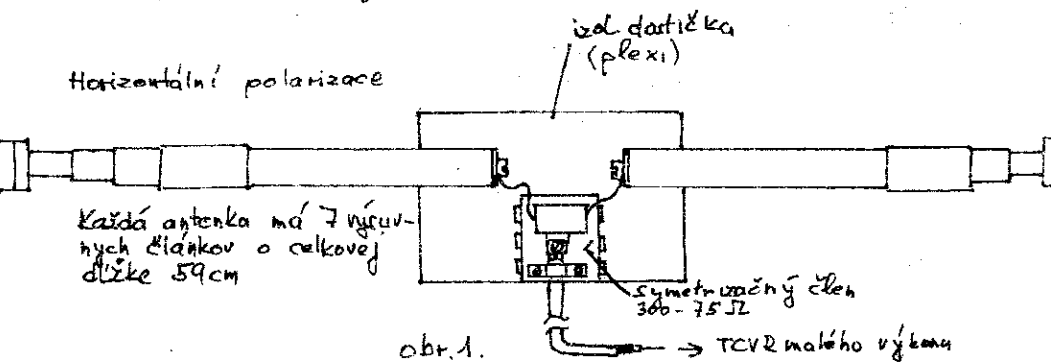
Prvý typ tvoria dve teleskopické antény z ktorých každá po vysunutí meria 59 cm. Za prvým, základných dielcom "teleskopu" má každá kĺbový spoj, umožňujúci anténu otáčať tak ako je znázorené na obrázku. Obe antény sú upevnené na izolačnej dostičke, a na ich spodnej časti je priskrutovaný symetrikačný člen /stál Kčs"35,-- ešte v lete 1992/ na hodnotu cca 75 Ohmov. Na obr.1 je znázornená montáž a na obr.2 zobrazená možnosť zmeniť polarizáciu z horizontálnej na vertikálnu.

Druhý typ tvorí ramienko, ktoré vo svojom origináli slúži na uchytenie šnúry, napájajúcej žehličku /viď obr.3/. Jeho celková dĺžka je cca 52,5 cm. Hore je "svierka" pre zasunutie napájacej šnúry /z tejto svierky sa dá urobiť gulička ako ochrana pred

poškriabín, alebo nedajbože pichnutím sa do oka/ a dolu ešte pred upevnením do izolačného podstavca je ramienko "anténky" zakončené 10 závitami o priemere asi 20 mm. Celé ramienko je urobené z ocelového drôtu o priemere 3 mm a pekne galvanicky zušľachtené. Nuž a ostatné je zasa vidno z obr.4./Cena tohto držiaka bola ešte pred nedávnom Kčs=23,-/

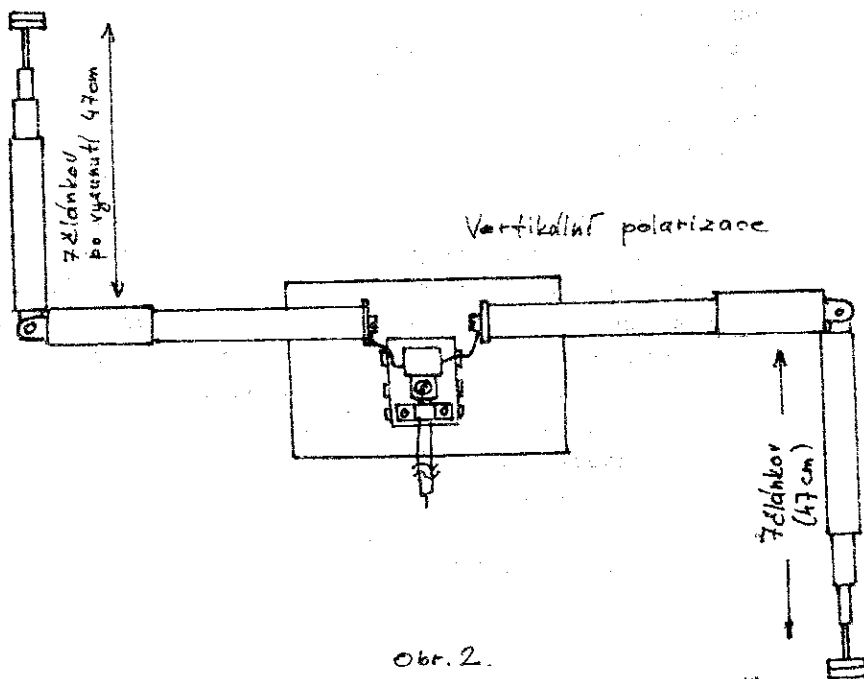
Nuž teda nejde o prevratný vynález. Teóriu k tomu nemám, ale ako som už spomenu, funguje to. Vyskúšajte a nepochybujem, že sa nájde niekto, kto nájde na týchto dvoch tiež anténkach i kladné stránky veci.

Horizontalná polarizácia



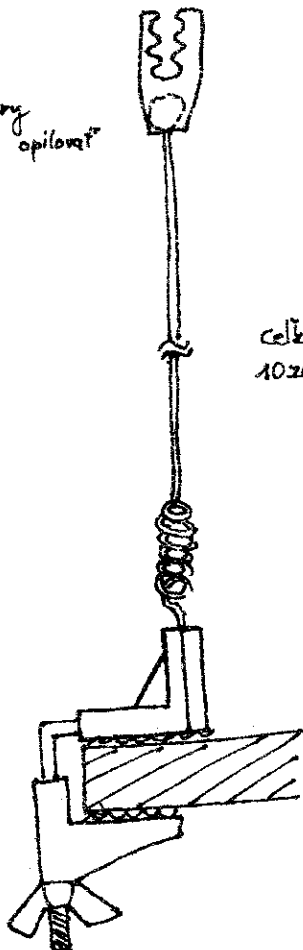
obr.1.

Vertikálna polarizácia



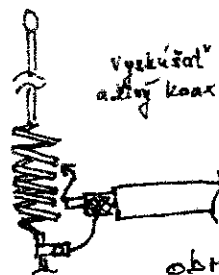
Držák (svorku) žádou
řekličky odrezat a opilovat
na oval-guľku

Obr. 3.

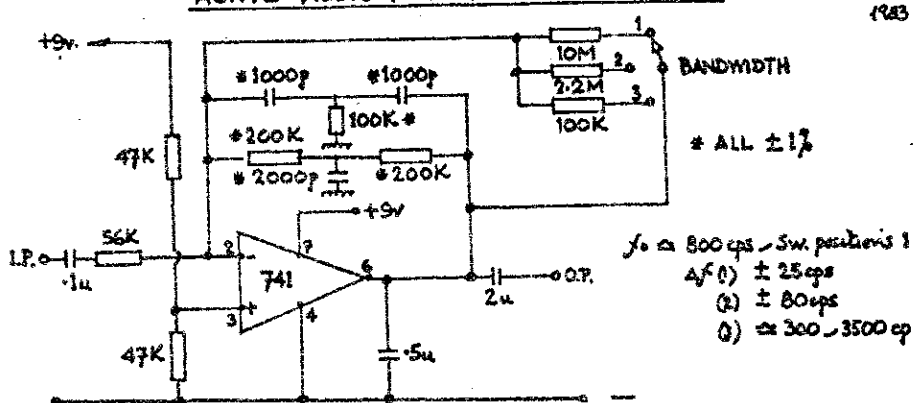


Vyskušat vložku odběr
až koz upevnit svorku

Obr. 4.



ACTIVE AUDIO FILTER — G3IVF — G-QRP HANDBOOK
1983



Konstrukce nízkofrekvenčního filtru
Podle CQ 4/1990, Paul D.Carr, N4PC
How To Build The Synthetic Crystal
Filter (And Get Real Results) *Facial OKZ PCN*

1. Úvod.

RC filtry pro použití v nf obvodech přijimačů existují mnoho let. Autor postavil a odzkoušel mnoho standardních obvodů a vždy byl nespokojen s dosaženými výsledky. Vždy došel k závěru, že ačkoliv selektivita filtrů byla výborná, po několika hodinách provozu se citil fyzicky i psychicky vyčerpán.

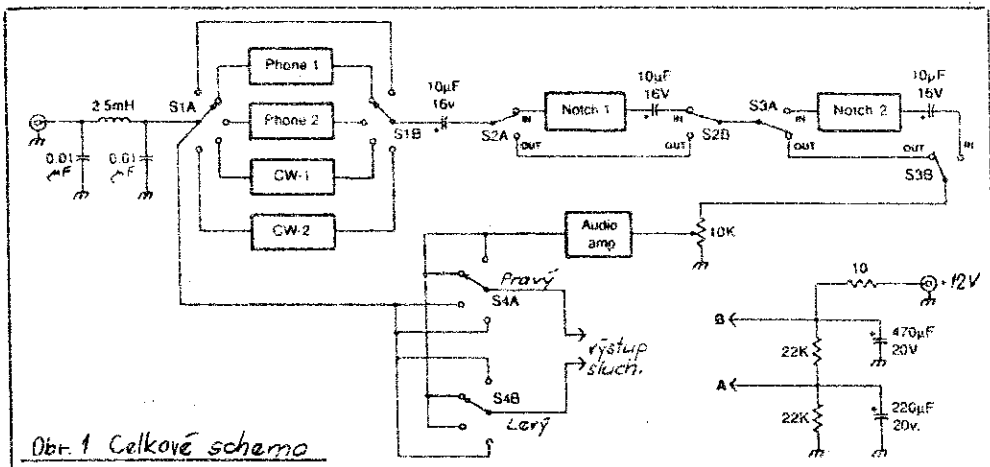
Příčinu tohoto jevu chce zodpovědět tento článek a zároveň podat návod na takovou konstrukci, která tento nedostatek nemá.

Podiváte-li se na křivku selektivity aktivního RC filtru vidíte typickou zvonovou křivku, tak, jak je známa z teorie obvodů. Zvyšování počtu sekci filtru dává strmější boky a zmenšuje šířku pásma. Použijete-li takový filtr, budete automaticky ladit na vrchol křivky a to znamená, že k tomu abyste slyšeli správný záZNĚJ je nutno ladit co nejpřesněji, což po nějaké době nutně vyvolá jak fyzickou, tak psychickou únavu.

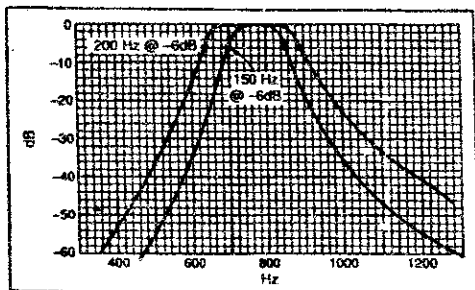
Srovnejme křivku aktivního RC filtru s křivkou krystalového filtru. Na první pohled vidíte zásadní rozdíl - křivka krystalového filtru je na vrcholu plochá. Tento tvar dovoluje ladit méně přesně při zachování dobré selektivity. Můžeme ladit několik Hertzů nahoru i dolů od středu propustného pásma bez ztráty sily signálu a to je vše, co je potřeba k odstranění únavy.

V článku popsany aktivní filtr má frekvenční charakteristiku podobnou krystalovému filtru. Protože tuto charakteristiku téměř simuluje, bývá někdy nazýván jako "synthetic krystalový filtr". Má několik žádaných vlastností: dvě šířky pásma pro CW, dvě šířky pásma pro FONE a dva výrezové (NOTCH) filtry, které mohou být použity nezávisle, nebo ve spojení s některým filtrem (CW nebo FONE). Jiná vlastnost velmi vhodná k použití v závodech je, že filtrovaný nf signál může být veden do jednoho ucha, nefiltrovaný pak do druhého ucha. Mnozí si jistě řeknou, že k tomu, aby filtr takto pracoval bude potřeba použít přesné součástky min. v jednoprocenční toleranci a to je pro mnohé nedostupné. V konstrukci předložené autorem tomu tak není, všechny součástky byly v pětiprocentní toleranci a výsledky byly skutečně velmi dobré.

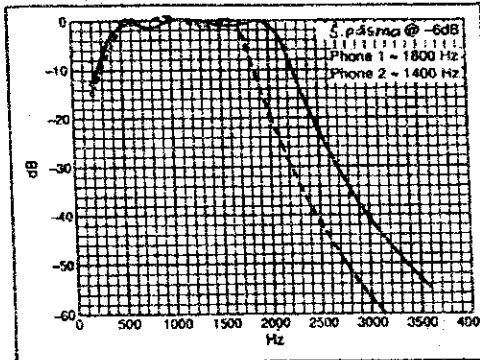
Dana Geiger KE2J napsal zajímavý článek o počítačovém návrhu filtrů v (1). V článku jsou dvě věci, které je možno označit za podstatné - program pro analýzu filtrů a návrh koncepce stupňovité laděných obvodů k vytvoření plochého vrcholu křivky, která se blíží křivce krystalového filtru.



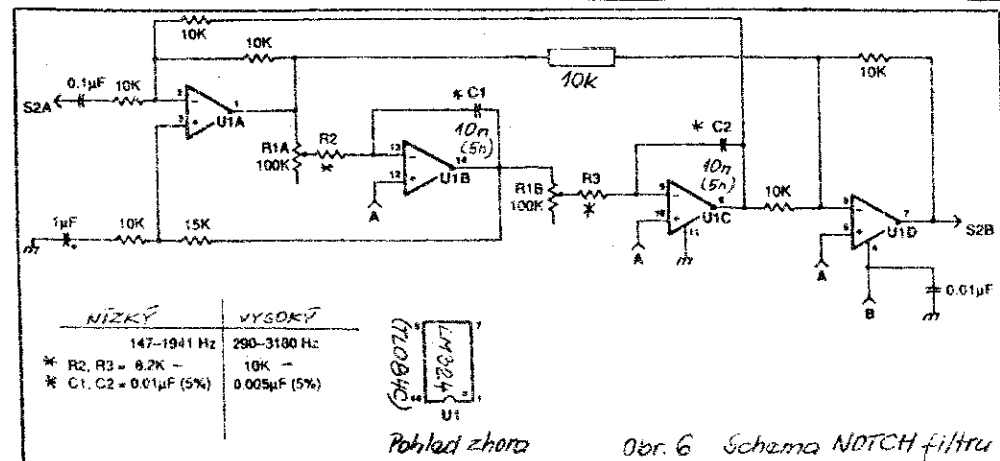
Obr. 1 Celkové schéma



Obr. 2 Charakteristika CW



Obr. 3 Charakteristika FONE



Pohled zhora

Obr. 6 Schema NOTCH filtru

Autor přepsal počítačový program původně psaný pro počítač Apple pro Commodore 128 a tím dostal základ pro návrhy filtrů i pro další experimentování. Zjistil, že je možno přesnéji simulovat křivku krystalového filtru použitím čtyřech sekci na místo třech, jak to navrhoval KE2J.

To co bylo dosud uvedeno se týká požadavků na CW filtry, pro FONE byl problém vyřešen podobným programem jako pro CW, ale s větší šírkou pásma. Bylo zjištěno a prakticky ověřeno, že nejlepší výsledek dávají čtyři rovnoměrně rozložené sekce. Fone filtry sestávají z jednoho stupně pásmové propusti a za ní následuje třistupňová dolnofrekvenční propust. Všechny stupně mají stejný zisk a jsou samozřejmě stupňovitě laděné. Znovu je třeba připomenout, že klicem k úspěchu je skutečně stupňovité ladění.

Výrezové (notch) filtry jsou standardní koncepce. Dávají ostrý 40dB výrez a jsou vynikající pro odstranění nežádoucích produktů směšování, které se mohou vyskytnout v nízkofrekvenčním propustném pásmu.

2. Informace o obvodech.

Všechny obvody pro CW filtry jsou typu pásmových propustí a každý filtr sestává ze čtyř takových sekci v kaskádním uspořádání. Sekce pro 1.CW filtr jsou stupňovitě laděné na čtyři různé frekvence, zatímco sekce pro 2.CW filtr mají dvě sekce na stejně nízké frekvenci a dvě sekce na stejně vyšší frekvenci. Každý filtr má vložný útlum 0dB, který dovolí vestavění filtru do stávajícího zařízení pokudm si to budete přát.

Fonicke filtry, se liší od CW filtrů tím, že jen první stupeň je pásmová propust, další jsou dolnofrekvenční propusti s jednotkovým ziskem. Vložný útlum je opět 0dB.

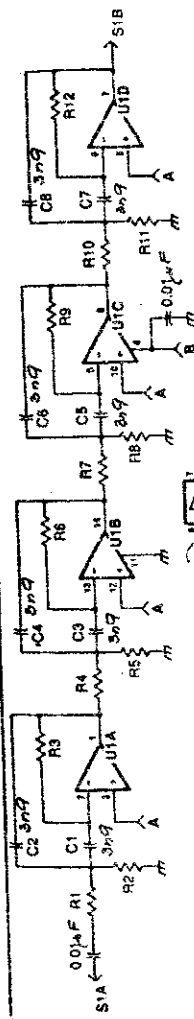
Dva výrezové filtry jsou běžné koncepce. Hodnoty součástek byly zvoleny tak, aby dávaly dva rozdílné frekvenční průběhy přibližně 150 - 950 Hz pro výrez na nízké frekvenci a 300 - 3200 Hz pro výrez na vyšší frekvenci. Rozdělení frekvenčního průběhu do různých rozsahů je voleno pro méně kritické ladění.

Nízkofrekvenční zesilovač je zvolen kvůli lepšímu impedančnímu přizpůsobení pro stereosluchátka případně pro vnější reproduktory.

3. Poznámky ke konstrukci.

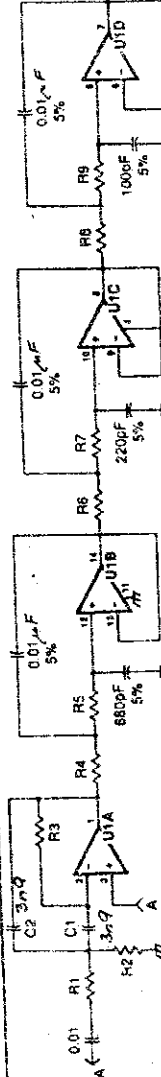
Obvody jsou zapojovány metodou drátových spojů. Každý filtr je postaven na jedné destičce oboustranného plošného spoje. Tato deska je připevněna na kousku desky nevyleptaného plošného spoje, která zároveň slouží jako zemní plocha pro celkovou montáž. Pokud použijete oboustrannou desku doporučují provrtat na několika místech, provléknout drátek a propájet. Spojením obou ploch se vyloučí parazitní kapacita mezi plochami.

Je vhodné, aby každý filtr byl stavěn a zkoušen zvláště. Rovněž je vhodné začít stavbu od filtru CW1. Po dokončení filtru zkontrolujte desku, zda je správně propojena a zapojena. Pokud je vše v pořádku, připojte napájecí napětí 12 V. Měřením ověřte, zda napětí na neinvertujícím vstupu operačního zesilovače je zhruba polovina napájecího napěti. Jsou-li předchozí měření v pořádku je možno připojit nf signál ke vstupu filtru



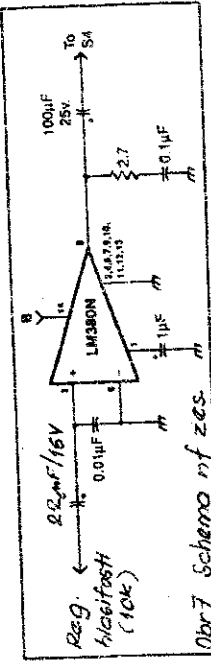
Block 4 Schematic CW filter

C1-C8 3n9/5% - polyester
Resistivity 925W/5%



C1-C2 3n9/5% - polyester
Resistivity 925W/5%

Obr 5. Schmitt FONE filter



Obr 7 Schematic of ZCS

Přijimač naladíme do CW části pásmo a poslechem se ověří, že něj signál se výrazně zlepší. Obdobně se ověří i činnost FONE filtru. Pokud máte ve svém přijimači výrezový filtr vaše práce končí, jinak pokračujete v zapojení a ověření NOTCH filtru. Konstrukce nf zesilovače není kritická, vychází z mnohokrát publikovaných a ověřených zapojení.

Výhodou navržené koncepce je, že není nutné stavět všechny filtry najednou, ale postupně podle potřeby, či chuti. Po dokončení získáte kvalitní nízkofrekvenční filtr, kterým výrazně zkvalitníte svůj přijimač.

Po dokončení montáže všech dílů vestavíte celé zařízení do skřínky a zapojíte přepínače funkcí podle obr. 1. Jednotlivé filtry jsou na obrázcích 4, 5, 6, nf zesilovač na obr. 7. Na obr. 2 a 3 jsou frekvenční průběhy jednotlivých typů filtrů.

4. Volba součástek.

Jak již bylo uvedeno dříve, všechny rezistory a kondenzátory jsou v pětiprocentní toleranci. Kondenzátory jsou polyestrové typu TC277/B, rovněž by bylo možno použít slídové TC212/B z řady E24. Elektrolyty jsou typu TE984 (TE986). IO jsou v nabídce různých soukromých firem, případně v inzeraci různých časopisů.

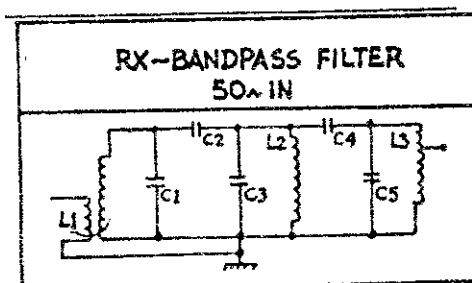
5. Závěr.

Jedním z hlavních rysů předložené koncepce je to, že filtrovaný nf signál může být veden do obou uší současně, nebo pro použití v závodech můžeme jedním uchem poslouchat filtrovaný signál, druhým pak nefiltrovaný signál. Po určité době, až získáme praxi v tomto způsobu poslechu oceníme možnost mít neustálý přehled o tom, co se děje v nejbližším okolí naladěného kmitočtu. Tento přehled bychom vzhledem k velmi úzkému pásmu filtru jinak neměli. Rovněž je možnost nastavení zesílení individuálně pro každé ucho. Během provozu s tímto zařízením jistě každý přijde na jemu nejlépe vyhovující způsob využití.

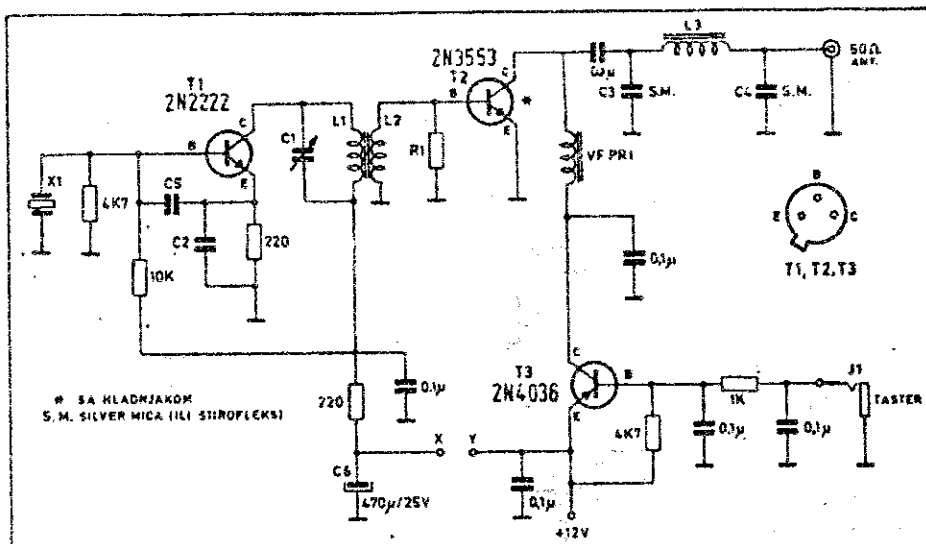
Podle N4PC Paul D.Carr přeložili a upravili OK1FB a OK2PCN.

(1) D.Geiger Computer-Aided Audio Filter Design

Ham Radio, Oct. 1985 str. 15-23



Hodnoty součástek viz str. 85



Opseg	C1 (pF)	C2 (pF)	C3 (pF)	C4 (pF)	C5 (pF)	L1 (μH)	L2	L3 (μH)	R1 (Ω)	VFP1 (μH)
80	400	1800	1800	1800	360	28	9	4,8	18	50
160	400	100	750	750	200	10	8,6	2,4	39	25
40	180	100	470	470	—	6,6	8,7	1,1	39	15
20	60	33	210	210	—	2,9	9	0,6	47	15
15/10	60	33	105	130	—	1,2	5,7	0,3	47	15

Tranzistor TX pro všechna pásmá. / Radioamatér 6/82 /

Zaslal OK3 CKU - Cívka L 1 pro 160, 80 A 40 m má použít vo-
dič CuL 0,5 mm ostatní jsou CuL 0,6 mm , L 3 první tří pásmá má
drát 0,5 mm statní 0,6 mm.

RX - BAND PASS FILTER

viz strana 84

80m
L1 = 59t, 22SWG, link 12t
L2 = as L1, less link
L3 = as L1, tap at 42t
C1 130pF, C2 15pF, C3 100pF
C4 15pF, C5 115pF

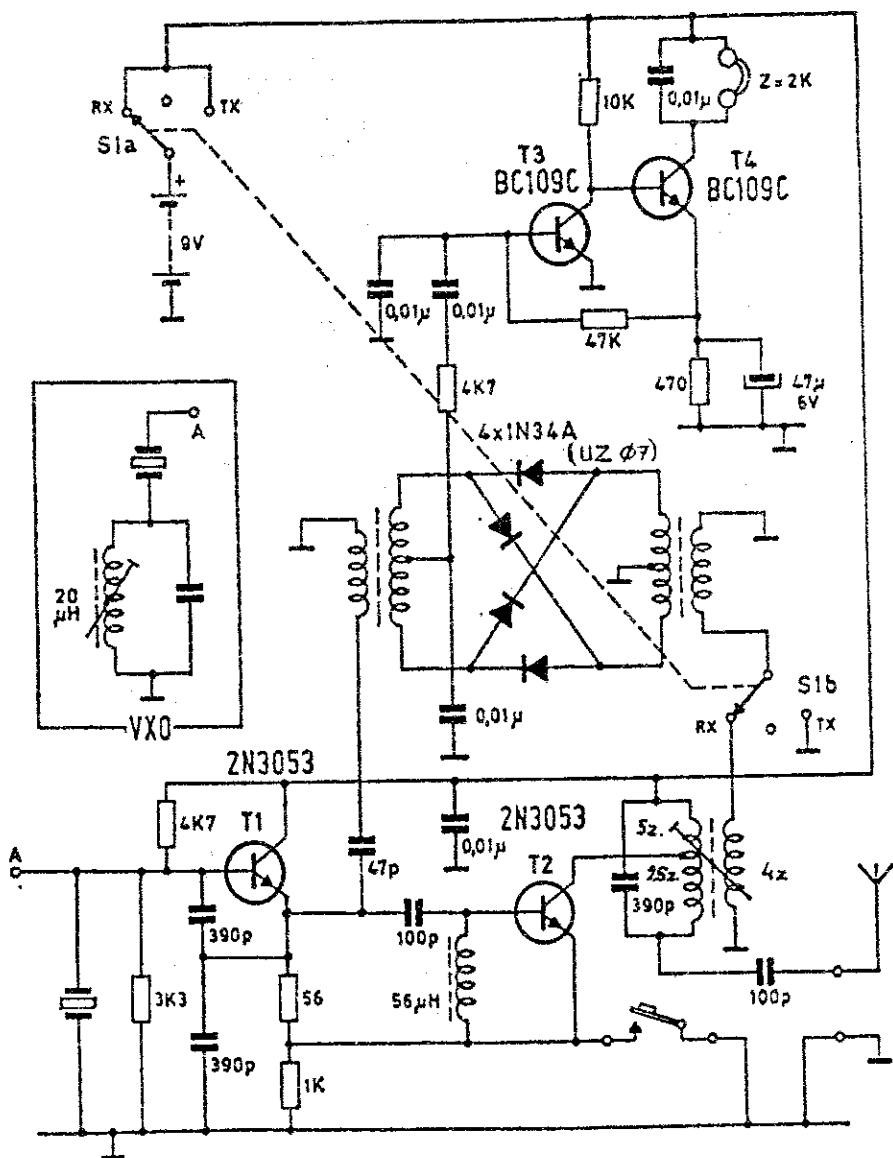
40m
L1 = 23t, 24SWG, link 5t
L2 = as L1, less link
L3 = as L1 tap at 17t
C1 200pF, C2 8.2pF,
C3 200pF, C4 8.2pF,
C5 200pF

20m
L1 = 16t, 22SWG, link 3t
L2 = as L1, less link
L3 = as L1, tap at 10t
C1 120pF, C2 3.9pF,
C3 120pF, C4 3.9pF
C5 120pF

15m
L1 = 10t, 22SWG, link 2t
L2 = as L1, less link
L3 = as L1 tap at 7t
C1 120pF, C2 3.3pF, C3 120pF
C4 3.3pF, C5 120pF

10m
L1 = as for 15m
L2 = as for 15m
L3 = as for 15m
C1 60pF, C2 2.2pF, C3 60pF
C4 2.2pF, C5 60pF

28 SWG = 0,3 mm Ø
24 SWG = 0,5 mm Ø
22 SWG = 0,6 mm Ø

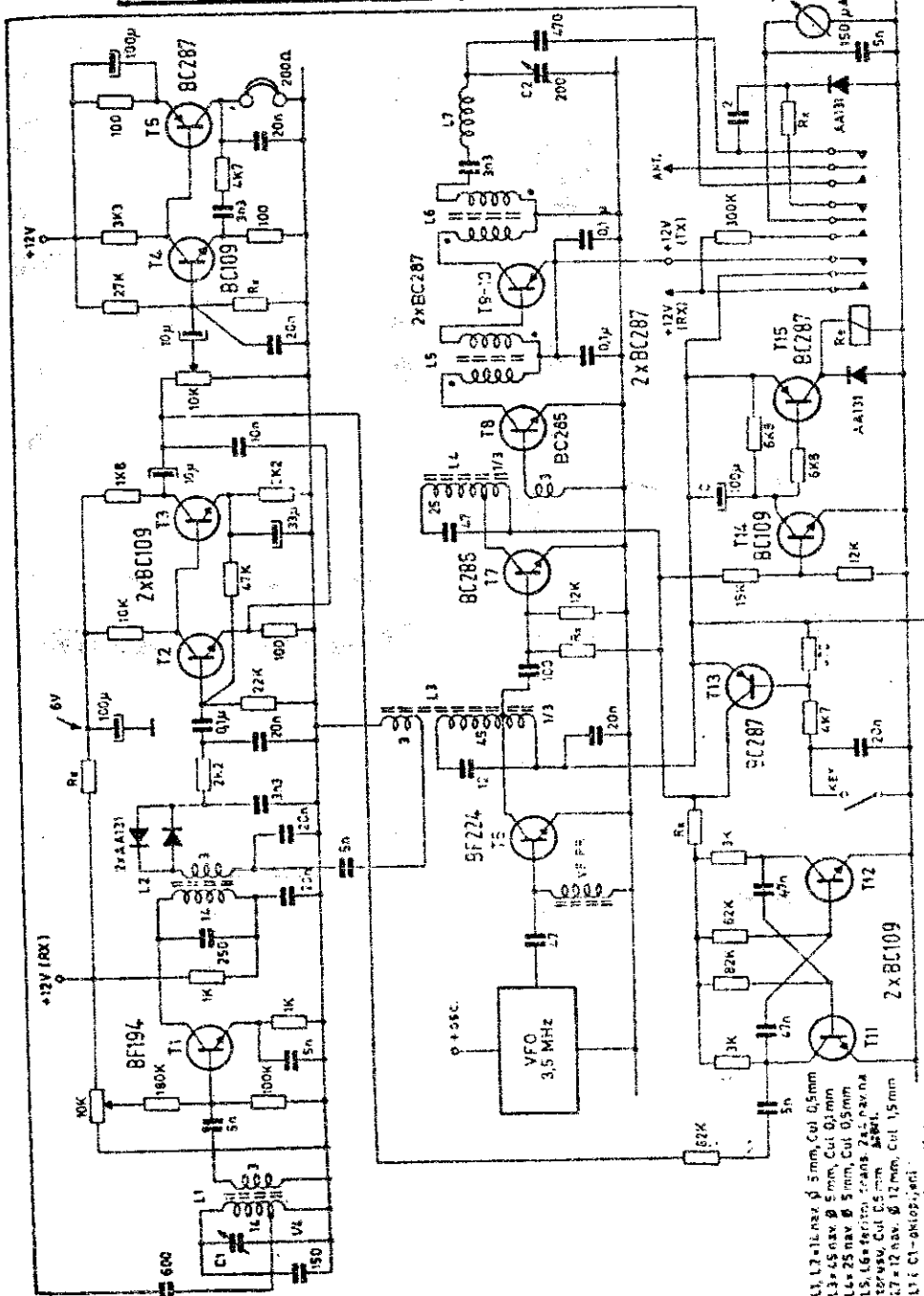


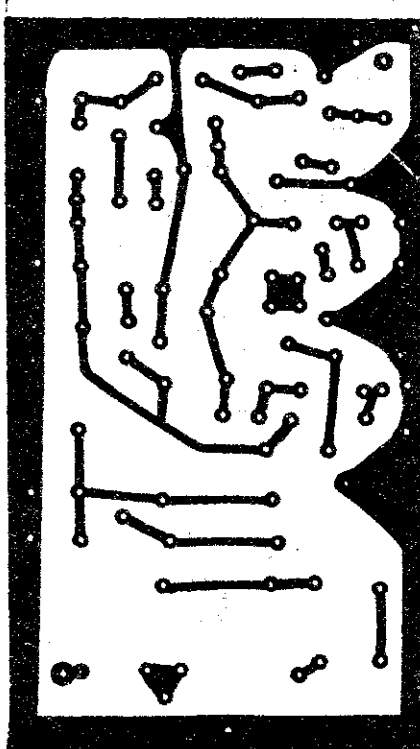
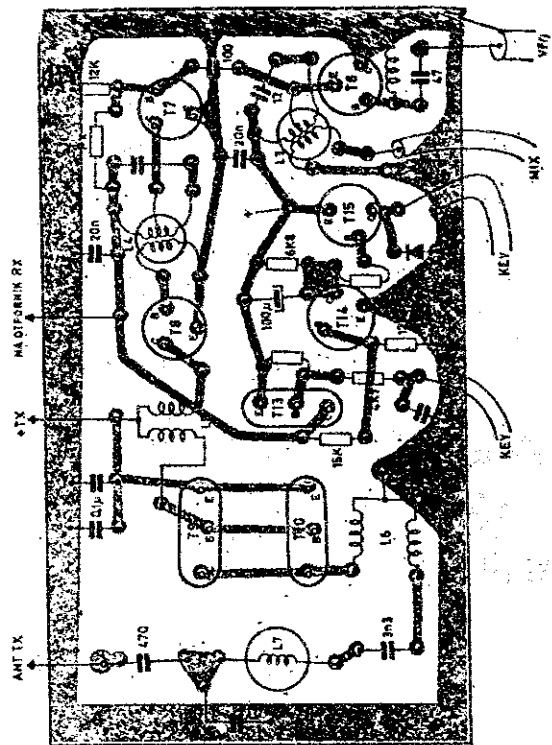
Přímosměšující transceiver 3.5 MHz. / Radioemater 4/82 /.

zaslal OK3CKU -

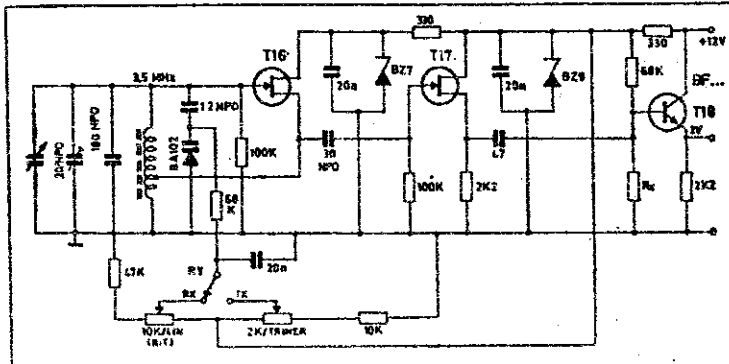
Cívka u T2 má 30 záv na Ø 8 mm , délka vinutí 20 mm, odběrka na kollektor má 5 záv., vezební vinutí na bal. směš. má 4 záv.

CW QRP transceiver 14 MHz. /Radioamater 5/82 / od OK3CKU

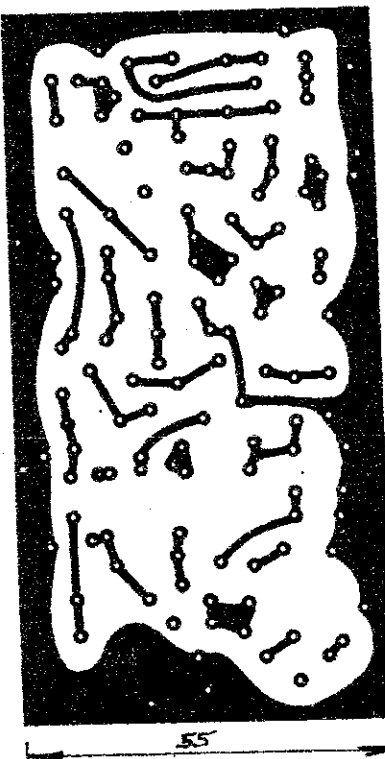
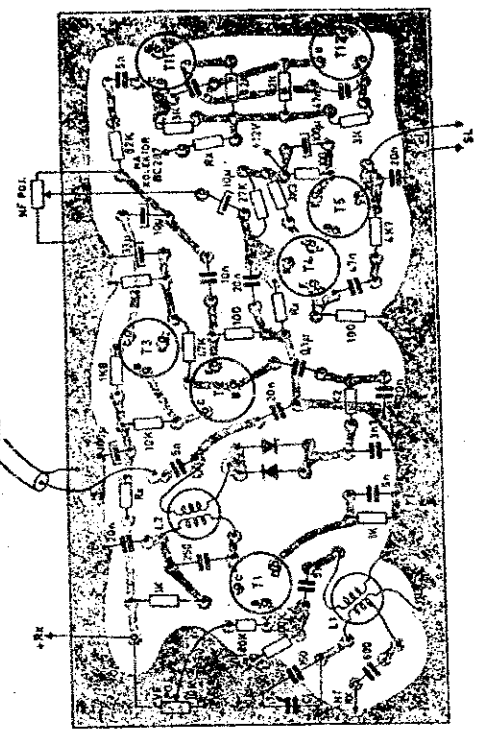




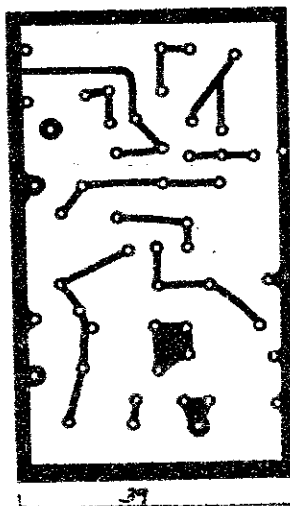
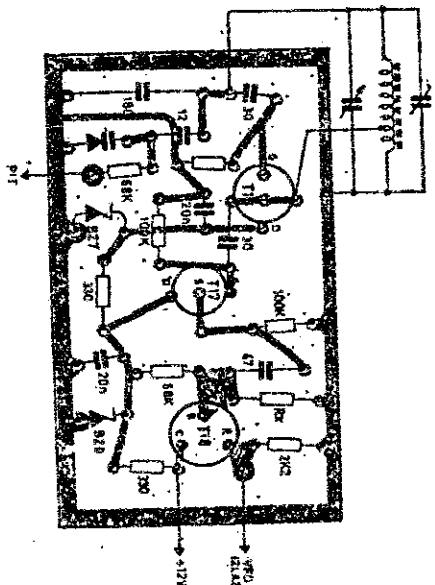
QRP TRX 14 MHz deska TX



QRP TRX 14 MHz - zapojení VFO

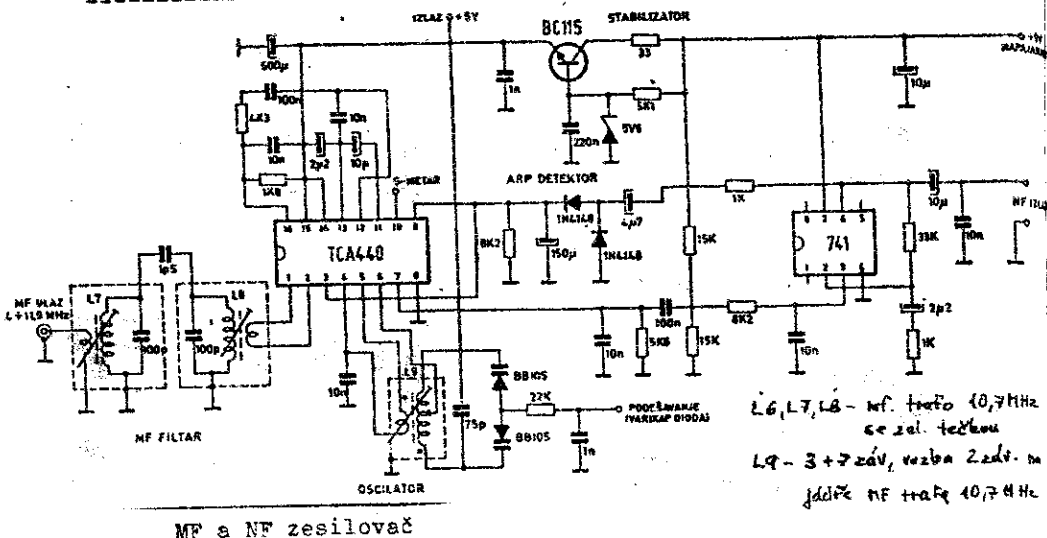


Deska RX



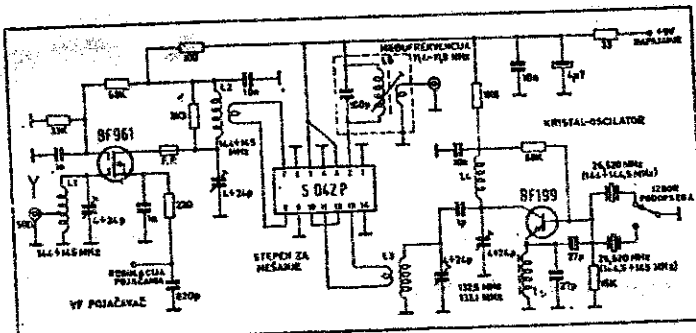
Deska VFO
TRX QRP 14 MHz

Miniaturní RX pro 144 MHz / Radioamatér 6/82/ zaslal OK3CKU



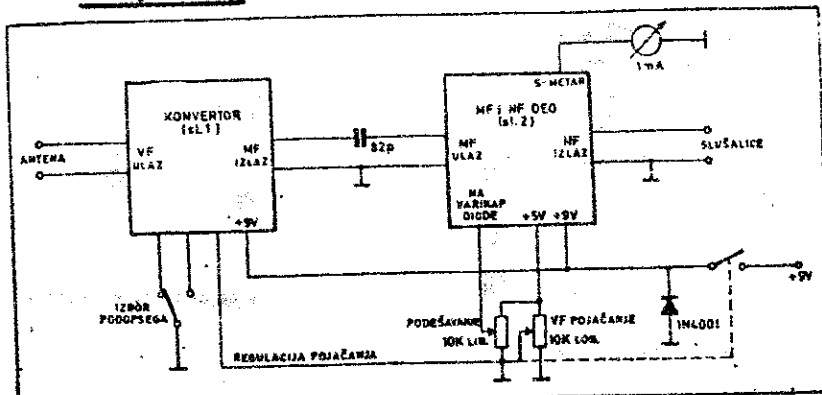
MF a NF zesilovač

- L1 - 4 záv.
odk. 1.záv.
od země
- L2 - 4zdv.
vez. čívka
1zdv.
- L3 - 5zdv.
vez. čívka
1zdv.
- L4 - 4zdv.
- L5 - 5μH

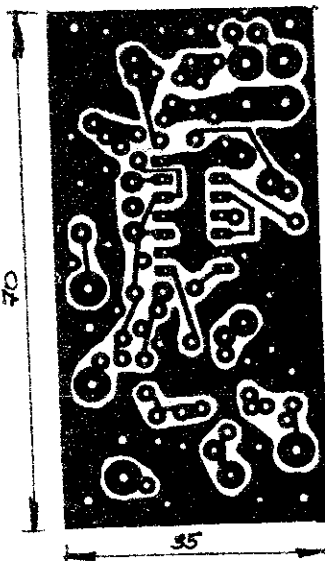
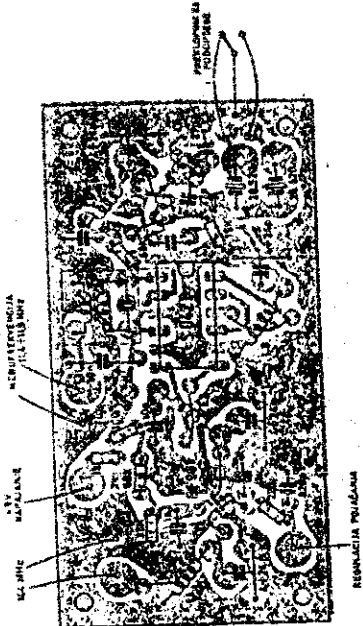


of drátu
 $L_1 + L_4 = 1\mu H$
SAMOHOŘE
KA of 5MHz

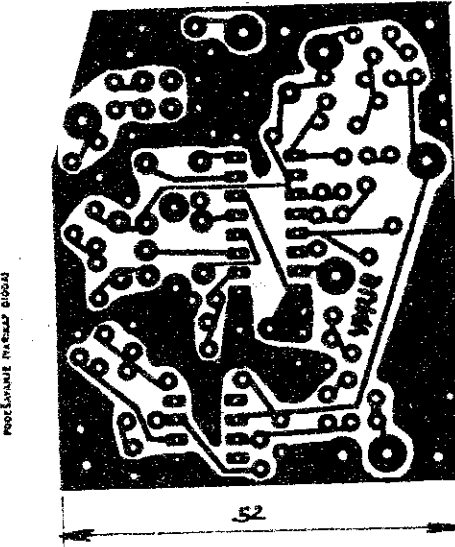
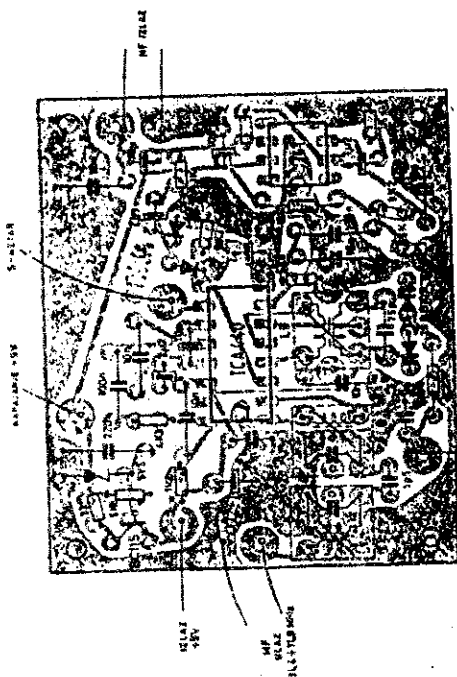
Vstupní díl.



Propojení desek přijimače.

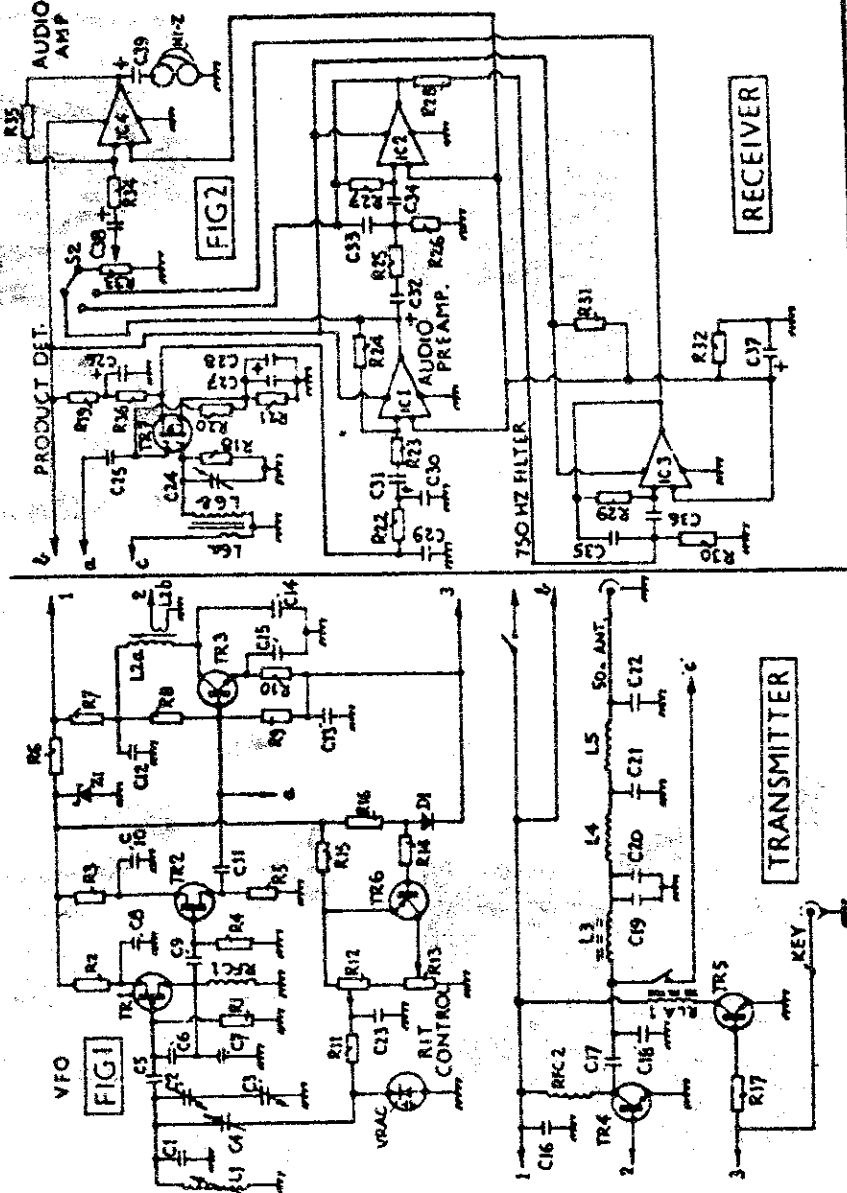


Miniaturní RX 144 MHz-deska vstupů



Miniaturní RX 144 MHz - Deska MF a NF

THE FMAX IOM T.R., THOMAS DAVIS K8IFF



The TMX 10 T.R. - K81P

C1,5,7,9:	270pf silver mica (5M)	TR1,2:	2N5486 or MPP102
C2,4:	3-30pf trimmer	TR3:	2N2222
C6:	470pf SM	TR4:	MPSU-31 or EC3 222
C8,10,12,13,17,27,28,29:	0.01mf _d disc ceramic	TR5:	2N3904
C11,15:	230pf SM	TR6:	2N3906
C14:	180pf SM	TR7:	40673 or 3N204
C16:	0.1mf _d disc ceramic	R1,4:	47K, X watt
C18:	1800pf SM	R2,3:	100 ohms, X watt
C19:	1500pf SM	R5,36:	1K, X watt
C24:	80pf trimer	R6:	180 ohms, X watt
C25:	27pf SM	R7:	10 ohms, X watt
C26:	20mf _d electrolytic	R8,9,15,16:	4.7K, X watt
C28,39:	10mf _d electrolytic	R10:	390 ohms, X watt
C30:	0.33mf _d disc ceramic	R11,35:	100K, X watt
C31,37:	1mf _d electrolytic	R13:	10K pot
C32,38:	2.2mf _d electrolytic	R14:	5.6K, X watt
C33-36:	0.0027mf _d disc ceramic	R20:	8.2K, X watt
C23:	0.001mf _d disc ceramic	R26,30:	4.3K, X watt
C20,22:	300pf SM (see text)	R12:	25K pot
C21:	600pf SM (see text)	R17:	56K, X watt
D1:	1N914 diode	R18:	20K, X watt
RLA1:	Reed relay, 12v normally open	R19,23:	220 ohms, X watt
L1:	6 turns 24SWG on 1/2" slug-tuned former	R21:	120 ohms, X watt
L2a:	11 turns 24SWG on 1/2" slug-tuned former	R22,31,32:	3.9K, X watt
L2b:	2 turns 24SWG over L2a	R24:	390K, X watt
L3:	5x turns 24SWG on T-50-2 toroid	R27,29:	1 Meg, X watt
L4,5:	12% turns 24SWG on T-50-2 toroid	R33:	1 Meg pot
L6a:	3% turns 24SWG on T-50-2 toroid	R34:	1.2K, X watt
L6b:	35% turns 24SWG on T-50-2 toroid	R35,28:	36K, X watt
		RFC1:	100uH choke
		RFC2:	24uH choke
		S1:	SPOT mini toggle switch
		S2:	1 pole, 3 way, rotary switch
		IC1-4:	LM307 op amps (or 741)
		Vrac:	Varactor diode, 3-34pf
		21:	Zener diode, 8.2 volt, X watt

Klíčování QRP vysílače

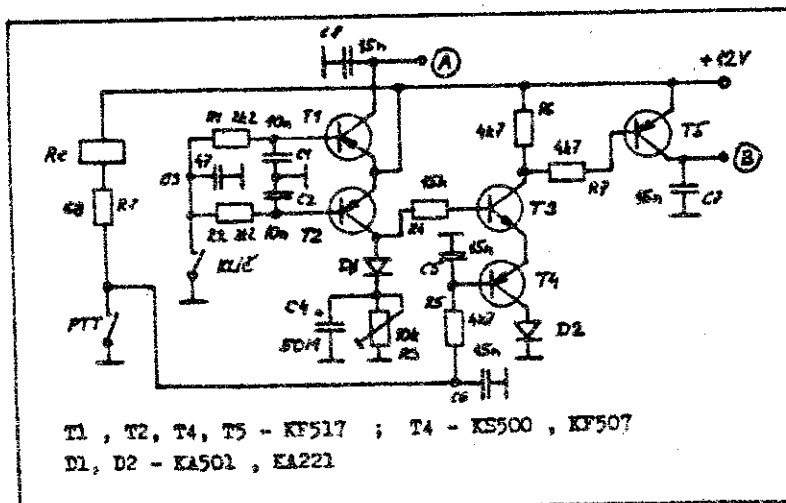
SCENARIK ČECHOSLOVAKY /OKLIDZD/

Předpokladem úspěšné práce s telegrafním QRP vysílačem je též kválitní tón. Toho lze mimo jiné dosáhnout odstraněním nežádoucích přechodových jevů - kliků. Je tedy vhodné využít vlastnosti diferenciálního klíčování, jehož podstatou je postupné zapínání a vypínání obvodů VFO, oddělovač, koncový stupeň.

Obvod diferenciálního klíčování vychází ze zapojení WIFB a je doplněn obvodem PTT /šlapka/, který umožňuje tiché ledění, a antenním relé. Tranzistory T1 a T2 pracují jako spínače. Při zaklívání se otevřou. Z kolektoru T1 /bod A/ je napájen VFO a oddělovací stupeň. Z kolektoru T2 je přes diodu D1 nabíjen kondenzátor C4. Napětí na kondenzátoru roste lineárně - T2 pracuje jako zdroj konstantního proudu. Překročí-li napětí na C4 asi 2 V t. j. potenciál přechodu tranzistoru T3, T4 /otevřen po zapnutí tlačítka PTT/ a diody D2, otevřou se tranzistory T3 a T5. Z kolektoru T5 /bod B/ je napájen obvod koncového stupně vysílače. Při odklívání se T1 a T2 uzavřou a kondenzátor C4 se zatne vybíjet přes trimr R3. Při poklesu napětí na C4 pod 2 V se T3 a T5 zavřou a bod B je odpojen od napájení.

Rychlosť vybíjení a tím i zpoždění odpojení napětí pro koncový stupeň lze nastavit trimrem R3. Časové konstanty C1 R1 a C2 R2 zacrouhlují čelo s tým spínacího napětí. Kondenzátor C3 uzemňuje případné vf napětí.

Lit.: OKIČC Klíčování tranzistorových vysílačů /RZ 6/1977/.



Pomoci RP1 nastavime stejný výkon CW signálu na výstupu jednotky při poslechu přes SSB propust jako v případě poslechu přes CW filtr. Obvod s V01, R22, C38 R23; respektive s V02 R21, C39 R24 přivede kladné napěti na emitor VT1 resp. VT2 a způsobi tak uravření obou nf cest. Blokování je ovládáno napětím + Utx s patřičnou časovou konstantou, zamezující "lupnutí" při přechodu Rx->Tx; Tx->Rx. Integrovaný obvod MBA 810DAS pracuje v katalogovém zapojení, pouze jsou upraveny hodnoty součástek tak, aby bylo přenášeno pouze hovorové spektrum. Úroveň připoslechu se nastavuje velikostí C40. Přepínání filtrů se děje stejnosměrným napájecím napětím - zesilovacích stupňů VT3, VT2 (SSB) nebo VT4, VT1 (CW). Hodnoty vazebních C a blokovacích C ve větví SSB filtru jsou voleny tak, aby realizovaly horní propust. (viz příloha)

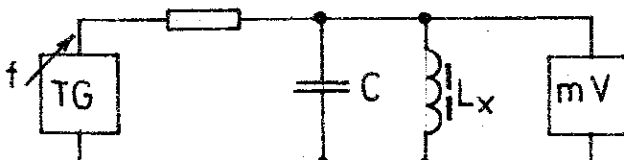
Praktická realizace

Celá jednotka je postavena na plošném spoji o rozměrech 137.5 x 75mm a je umístěna v krabičce z pocípaného plechu, která slouží zároveň jako chladič integrovaného obvodu. Odvod tepla je zajištěn pomocí distančních sloupků. Vývody IN, REPRODUKTOR, PRÍPOSLECH, BLOKOVÁNÍ Ussb, Ucw, +12V jsou vyvedeny přes průchodkové kondenzátory in0. L1+L5 jsou namotány na feritových hrničkových jádřech. Ide je nutné se zastavit u nastavování indukčnosti na jmenovitou hodnotu. Feritová jádra vykazují značný rozptyl v relativní permeabilitě [2]: Hzr Ur = 2200 ± 25%; Hzr Ur = 1200 +30% -20%. Volbou páru se snažíme nastavit indukčnost na jmenovitou hodnotu popřípadě o něco větší. Velice jemným broušením středního sloupu pomocí lapovacího papíru pak indukčnost zmenšujeme na jmenovitou hodnotu. Některé RLC můstky mají poměrně vysokou hodnotu procházejícího proudu a při měření můžeme cívku přesystit a naměříme zcela nesmyslné hodnoty. Tolerance kondenzátorů ve filtroch je ± 5%.

Hodnotu indukčnosti můžeme též měřit rezonanční metodou:

$$Lx = 1/2\pi fC \quad [\text{H}; \text{Hz}; \text{F}]$$

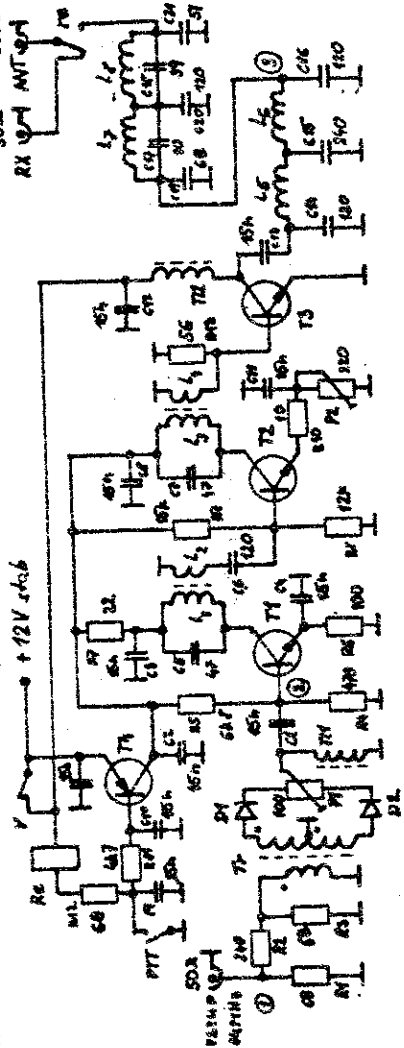
1M



Kondenzátor C přesně změříme. Proladujeme tónovým generátorem až nalezneme rezonanci (max výchylka nf aV metru). Cívky jsou uloženy v upevnovací armatuře s upínací sponkou a slepeny, aby se i nemohla měnit. Lze též použít mosazný šroub přitahující cívku k ploši spoji přes pryž podložky. V tomto případě je nutné měřit hodnotu L přišroubované indukčnosti: tlakem lze jemných mezích dostavit (pozor na prasknutí). Šroub zakápneme barvou a poloviny jáder natřeme lepidlem. Použijeme-li jiné ferit, jádro potom:

$$L = Ar \times H^2 \quad N = f(L/AL) \quad [-; \text{nH}; \text{nH}]$$

Cívky byly nastaveny s přesnosti -3.7% +0%



M2 - M3 - T3 - T4 - RT517

1 - ES 300 ; 1E - K012 ; 1 - E2 - E3 - E4 / modifica strumenti /

D1, D2 - KA221, EA222 / nejmíeps parováte, Sova + Adra NO1 - servend

T13 102 draft # 0.24 GUE teams

卷之三

卷之三

HISTORICAL NOTES

do not work well. The best way to do this is to use a PVA adhesive.

18 FIRST AND LAST NAMES

m2 102 drát 0,3 izolace PVC, torfodl nito p 14 mm

dvouotvorové jádro N1 delší je základní

THEORY AND PRACTICE IN THE CLASSROOM

For more information go to [photofit.com](http://www.photofit.com).

THERMALLY STABILIZED POLY(1,3-PHENYLENE SULFONE) 11

Lit.: OK1DEW - Obvody vysílačů QRP - zdvojovací kmitočtu
/ RZ 4/1985 str.14 /

QRP adókonverter 28 MHz es CW üzemm / Radiotechnika

MLR 1983/8 str 22 přetiskáno z QST 1981/4 /

Sborovní časopis 1987

Telegrafní QRP vysílač na 10,1 MHz

/OKLIDZD/

V třicetimetrovém pásmu můžeme nevezavovat příkna spojení i s malým výkonem. Pokud máme k dispozici solidní přijímač, snadno jej doplníme jednoduchým vysílačem. Vzhledem k úzkému rozsahu tohoto pásmu /10,1 - 10,15 MHz/ lze při konstrukci vysílače jako generátoru kmítotu použít VCO- oscilátoru s rozložením krystalu. Přinosem buď, vedle dobré stability dané použitím krystalu, i jednodušší mechanická konstrukce.

V zapojení vysílače byl použit Colpitsový oscilátor s Darlingtonovým párem. Tato zapojené aktívni prvky /T1, T2/ se vyznačují velkým zazářením a vysokou vstupní impedancí - oscilační obvod je málo zátěžován. Následující oddělovací stupeň /T3, T4/ zajistí minimální závislost vstupní impedance na změně zátěže - sníží se možnost zpětného ovlivňování oscilátoru. Pro získání patřičné úrovně signálu potřebné k vybuzení koncového stupně /T6/, který pracuje ve třídě C, je zazářen leděný zesilovač /T5/, navázaný na oddělovací pět potenciometr /P1/ - nastavení výstupního výkonu. Jednoduchý způsob klíčování zajišťuje obvod tranzistoru T7, který pracuje ve funkci spínače napájecího napětí pro oscilátor, oddělovat a leděný zesilovač. Původní záměr neklíčovat oscilátor, nemohl být realizován z provozních důvodů. Nepodařilo se zabránit pronikání jeho kmítotu na vstup přijímače. /rušení při příjmu/. Tlačítko PTT /šlapka/ ovládá anténní relé a tranzistor T8, který pracuje jako spínač napětí pro koncový stupeň. Není-li tlačítko PTT sepnuto, lze provádět tiché ledění.

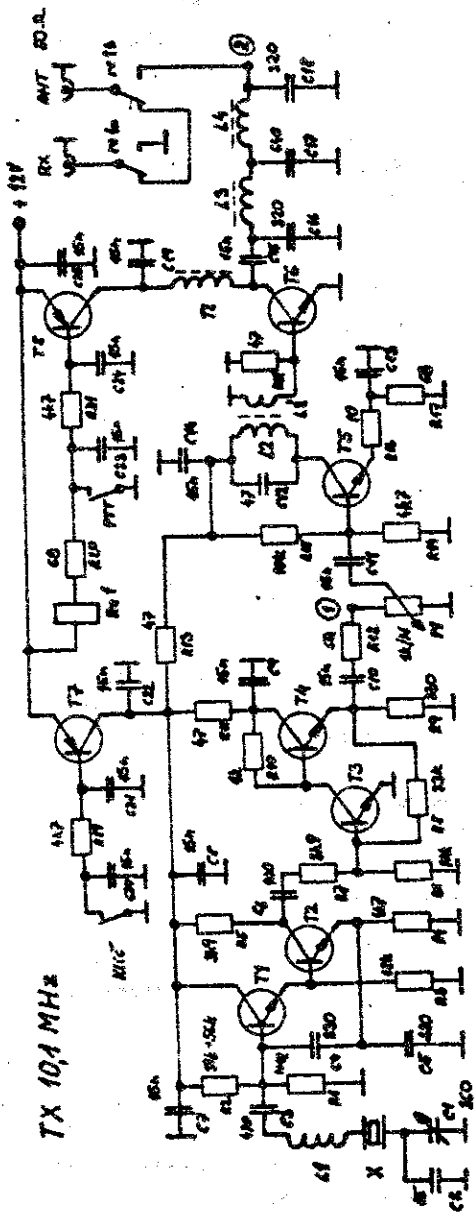
Nastavení vysílače :

- do bodu /1/ připojit dírač nebo přes malou kapacitu /10 pF/ navázat přijímač / rozsah 10 - 10,2 MHz /
- jezdec potenciometru P1 nastavit asi do poloviny dráhy
- zaklíčovat a nalaďovat indukčností L1 docílit potřebné přeladění t. j. 10,1 - 10,15 MHz
- do bodu /2/ připojit umělou zátěž 50 Ω a v řadě sondu případně wattmetr
- sepnout tlačítko PTT a doložit rezonanční obvod kolektoru tranzistoru T5 na maximální výklyku indikátoru v bodě /2/
- potenciometrem P1 nastavit výstupní výkon 1W

Lit.: Ze zahraničních publikací /RZ 1/1984 str. 14/

OKLIDZD - Obvody QRP vysílačů /RZ 4/1985 str. 13/

Petr Novák - Zapojení FM techniky - rozložené krystalové oscilátory /Přednášky z amatérské radiotechniky/



T1 - SP245 , T2,T3,T4 - ES500 , T5 - KST21 , T6 - KST34 , T7,T8 - KP217

X - 30,575 MHz / zábleskový limitotet 10,19165 MHz /

C1 - dual vedenohový 360 + 320 pF - použita sekce 360 pF

L1 60x drát ø 0,1 CuH tříšť na ø 5 mm + flútě jádro N1

L2 15x drát ø 0,3 izolace PVC , toroid N1 - Blutý , ø 10 mm

L3, L4 0,79H ø 2x drát ø 0,8 izolace PVC , toroid N1 - Blutý , ø 10 mm

L5 10x drát ø 0,4 PVC malého průměru ø 4,5 mm

Transistor T5 a T6 je vhodné opatřit chladičem .

SBORNÍK CHENCI M. 1987

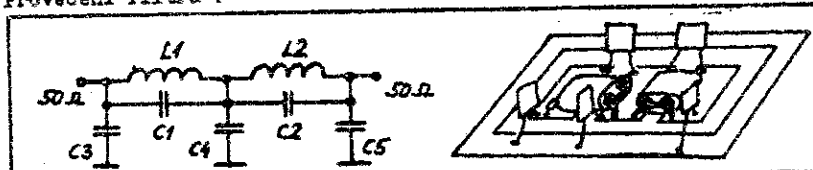
Výstupní filtry pro QRP vysílače

/ OKIDZD /

V [1] byl otištěn článek popisující dolní propust pro vysokofrekvenční širokopásmové nezděně zosilovače. S úspěchem je lze použít i u QRP vysílače a tak zabránit nežádoucímu vyzářování 2. a 3. harmonické. Autor článku uvádí, že filtry vyhovují pro práci v celém rozsahu amatérských pásem a pracují dobré i bez doladení. Malé doladování rezonančních kmitočtů L1 rezonuje na 3. harmonické a L2 na 2. harmonické/ zajistí až 60 dB potlačení 2. a 3. harmonické.

Cívky mohou být vinuty na toroidech nebo vzduchové. K zamezení jejich vzájemné induktivní vazby je třeba orientovat osy cívek vzájemně kolmo. Kondenzátory je třeba volit dle používaných výkonů /keramické, silicové/. Pro QRP vysílače stačí keramické polštářkové kondenzátory /TK 724, TK 725 a pod./

Provedení filtrů :



Pásmo 160 m

L1 = 4,2 µH - 4z, drát # 1 s izolací PVC /zvonkový/, dvouotvoro-vé ferit. jádro /met. NI/ délka 8 mm

L2 = 3,13 µH - 3,5z drát jako u L1, jádro jako u L1, délka 12 mm

C1 = 200 pF C2 = 620 pF C3 = 1 nF C4 = 2 nF C5 = 820 pF

Pásmo 80 m

L1 = 1,9 µH - 2,5z, drát # 1 izolace PVC /zvonkový/, dvouotvoro-vé feritové jádro /met. NI/ délka 12 mm

L2 = 1,46 µH - 2,5 z, drát jako u L1, jádro jako u L1, délka 8 mm

C1 = 100 pF C2 = 300 pF C3 = 560 pF C4 = 910 pF C5 = 390 pF

Pásmo 40 m

L1 = 1,55 µH - 8,5z, drát # 0,3, izolace PVC, modrý toroid, materiál NO5 # 10 mm

L2 = 1,05 µH - 7z, drát jako u L1, toroid jako u L1

C1 = 51 pF C2 = 170 pF C3 = 270 pF C4 = 540 pF C5 = 200 pF

Pásmo 20 m

L1 = 0,57 μ H - 8z drát \leq 0,8 CuE na \leq 12 mm délka vinutí 10 mm
L2 = 0,41 μ H - 6,5z drát \leq 0,8 CuE na \leq 12 mm délka 10 mm
C1 = 24 pF C2 = 75 pF C3 = 150 pF C4 = 250 pF C5 = 100 pF

Pásmo 15 m

L1 = 0,41 μ H - 6,5z drát \leq 0,8 CuE na \leq 12 mm délka vinutí
10 mm
L2 = 0,27 μ H - 5,5z drát \leq 0,8 CuE na \leq 12 mm délka vinutí
10 mm
C1 = 15 pF C2 = 51 pF C3 = 100 pF C4 = 160 pF C5 = 68 pF

Pásmo 10 m

L1 = 0,33 μ H - 6z drát \leq 0,8 CuE na \leq 12 mm délka vinutí
10 mm
L2 = 0,19 μ H - 4z drát \leq 0,8 CuE na \leq 12 mm délka vinutí
10 mm
C1 = 10 pF C2 = 39 pF C3 = 68 pF C4 = 120 pF C5 = 51 pF

/1/ OK3PQ - Dolný filter pre lineárne zosilňovače / RZ 11-12/
1974 str. 11, 12 die Kent Shubert WAGJIK: Lowpass
Filters for Solid-State Linear Amplifier, Ham Radio
3/74 /.

/2/Petr Novák, OK1WPN - Trampkit /AR řada A 6/1961 str. 29/

/3/ Fr. Vorel - Nomogramy pro výpočet cívek /AR 12/1967 str. 366/

-----XXXXXXYYXXXXXXXXX-----

Ladicí kvartál z kondenzátoru RF 11. K. Běhounek OK1AIJ

Úprava spočívá v tom, že prořízneme v polovině držáky statorů, které jsou připájeny k pokoveným ploškám na okrajích keramického nosníku, jehlovým pilníkem se úprava zečistí tak, aby řez zasahoval až do samotné keramiky. Potom se znova nastaví statory, šrouby se zakápnou barvou a ohmetrem se zjistí, zda se desky nedotýkají a připájení nových vývodů je vše hotovo. Potom nasedíme zpět sběrače rotorů, které byly demontovány a změříme kepsciitu. Jedna sekce má 3 - 10 pF, zbylé tři mají 4 - 16 pF.

